

**TESIS**

**DETEKSI PERBEDAAN SHOT ANIMASI 2 DIMENSI MENGGUNAKAN  
ALGORITMA STRUCTURAL SIMILARITY INDEX MEASURE**



Disusun oleh:

Nama : Halim Bayuaji Sumarna  
NIM : 19.52.1220  
Konsentrasi : Animation

**PROGRAM STUDI S2 TEKNIK INFORMATIKA  
PROGRAM PASCASARJANA UNIVERSITAS AMIKOM YOGYAKARTA  
YOGYAKARTA  
2021**

**TESIS**

**DETEKSI PERBEDAAN SHOT ANIMASI 2 DIMENSI MENGGUNAKAN  
ALGORITMA STRUCTURAL SIMILARITY INDEX MEASURE**

**DETECTION OF DIFFERENCE 2 DIMENSION ANIMATION SHOT  
USING STRUCTURAL SIMILARITY INDEX MEASURE ALGORITHM**

Diajukan untuk memenuhi salah satu syarat memperoleh derajat Magister



Disusun oleh:

**Nama : Halim Bayuaji Sumarna**  
**NIM : 19.52.1220**  
**Konsentrasi : Animation**

**PROGRAM STUDI S2 TEKNIK INFORMATIKA  
PROGRAM PASCASARJANA UNIVERSITAS AMIKOM YOGYAKARTA  
YOGYAKARTA  
2021**

## HALAMAN PENGESAHAN

### DETEKSI PERBEDAAN SHOT ANIMASI 2 DIMENSI MENGGUNAKAN ALGORITMA STRUCTURAL SIMILARITY INDEX MEASURE

### DETECTION OF DIFFERENCE 2 DIMENSION ANIMATION SHOT USING STRUCTURAL SIMILARITY INDEX MEASURE ALGORITHM

Dipersiapkan dan Disusun oleh

**Halim Bayuaji Sumarna**

**19.52.1220**

Telah Diujikan dan Dipertahankan dalam Sidang Ujian Tesis  
Program Studi S2 Teknik Informatika  
Program Pascasarjana Universitas AMIKOM Yogyakarta  
pada hari Senin, 1 Februari 2021

Tesis ini telah diterima sebagai salah satu persyaratan  
untuk memperoleh gelar Magister Komputer

Yogyakarta, 1 Februari 2021

**Rektor**

**Prof. Dr. M. Suyanto, M.M.**  
**NIK. 190302001**

## HALAMAN PERSETUJUAN

**DETEKSI PERBEDAAN SHOT ANIMASI 2 DIMENSI MENGGUNAKAN  
ALGORITMA STRUCTURAL SIMILARITY INDEX MEASURE**

**DETECTION OF DIFFERENCE 2 DIMENSION ANIMATION SHOT USING  
STRUCTURAL SIMILARITY INDEX MEASURE ALGORITHM**

Dipersiapkan dan Disusun oleh

**Halim Baynaji Sumarna**

**19.52.1220**

Telah Diujikan dan Dipertahankan dalam Sidang Ujian Tesis

Program Studi S2 Teknik Informatika

Program Pascasarjana Universitas AMIKOM Yogyakarta

pada hari Senin, 1 Februari 2021

Pembimbing Utama

Anggota Tim Pengaji

Prof. Dr. Ema Utami, S.Si., M.Kom.  
NIK. 190302037

Dr. Kusrini, M.Kom.  
NIK. 190302106

Pembimbing Pendamping

Dr. Andi Sunyoto, M.Kom.  
NIK. 190302052

Anggit Dwi Hartanto, M.Kom.  
NIK. 190302163

Prof. Dr. Ema Utami, S.Si., M.Kom.  
NIK. 190302037

Tesis ini telah diterima sebagai salah satu persyaratan  
untuk memperoleh gelar Magister Komputer

Yogyakarta, 1 Februari 2021  
Direktur Program Pascasarjana

Dr. Kusrini, M.Kom.  
NIK. 190302106

## HALAMAN PERNYATAAN KEASLIAN TESIS

Yang bertandatangan di bawah ini,

**Nama mahasiswa** : Halim Bayuaji Sumarna  
**NIM** : 19.52.1220  
**Konsentrasi** : Animation

Menyatakan bahwa Tesis dengan judul berikut:  
**Deteksi Perbedaan Shot Animasi 2 Dimensi Menggunakan Algoritma Structural Similarity Index Measure**

**Dosen Pembimbing Utama** : Prof. Dr. Ema Utami, S.Si., M.Kom.  
**Dosen Pembimbing Pendamping** : Anggit Dwi Hartanto, M.Kom

1. Karya tulis ini adalah benar-benar ASLI dan BELUM PERNAH diajukan untuk mendapatkan gelar akademik, baik di Universitas AMIKOM Yogyakarta maupun di Perguruan Tinggi lainnya.
2. Karya tulis ini merupakan gagasan, rumusan dan penelitian SAYA sendiri, tanpa bantuan pihak lain kecuali arahan dari Tim Dosen Pembimbing.
3. Dalam karya tulis ini tidak terdapat karya atau pendapat orang lain, kecuali secara tertulis dengan jelas dicantumkan sebagai acuan dalam naskah dengan disebutkan nama pengarang dan disebutkan dalam Daftar Pustaka pada karya tulis ini.
4. Perangkat lunak yang digunakan dalam penelitian ini sepenlehnya menjadi tanggung jawab SAYA, bukan tanggung jawab Universitas AMIKOM Yogyakarta.
5. Pernyataan ini SAYA buat dengan sesungguhnya, apabila di kemudian hari terdapat penyimpangan dan ketidakbenaran dalam pernyataan ini, maka SAYA bersedia menerima SANKSI AKADEMIK dengan pencabutan gelar yang sudah diperoleh, serta sanksi lainnya sesuai dengan norma yang berlaku di Perguruan Tinggi.

Yogyakarta, 1 Februari 2021  
Yang Menyatakan,



Halim Bayuaji Sumarna

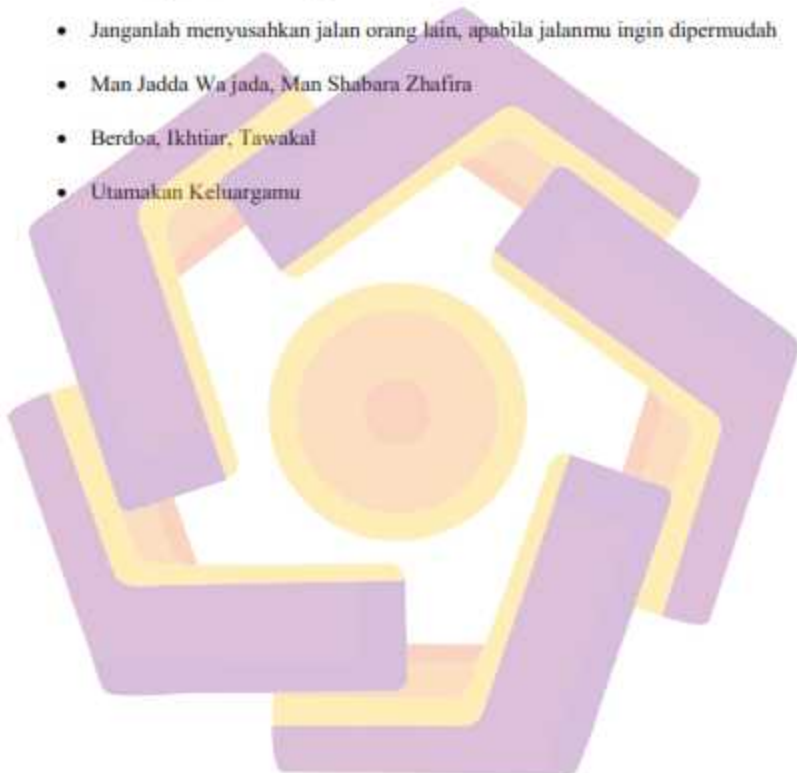
## HALAMAN PERSEMBAHAN

Alhamdulillahirobbil'alamin puji syukur kehadirat Allah SWT dengan berkat rahmat dan karunia-Nya, maka penulis dapat menyelesaikan tesis ini ditengah situasi pandemi covid-19 sebagai salah satu syarat dalam mencapai gelar Magister Komputer. Tesis ini saya persembahkan kepada :

1. Kepada kedua orangtuaku Sutini dan Sumarna, yang selama ini selalu memberikan saya dukungan dan tak henti-hentinya memanjanjatkan doa kepada Allah SWT sehingga terselainya tesis ini.
2. Kepada Istri saya Latifah Susilowati, yang telah memberikan dukungan dan doa, sehingga selesai tesis ini, juga kepada anak-anak saya tercinta, Dzakymèr Narendra Halim dan Albarra Tsaqif Barindra Halim yang menjadi pemberi semangat dalam menyelesaikan studi sampai penyelesaian tesis ini, dan akan menjadi penerus dan pewaris orang tuanya, dengan harapan dapat menempuh studi yang lebih baik lagi serta menjadi anak-anak yang soleh.
3. Kepada Prof. Dr. M. Suyanto, M.M. selaku Rektor Universitas Amikom Yogyakarta dan Ketua Yayasan Amikom Yogyakarta Dr. Muhamad Idris Purwanto, M.M. yang telah memberikan kepercayaan kepada saya dalam melanjutkan studi ini, terima kasih banyak atas beasiswa dan bantuan-bantuan lainnya yang diberikan, semoga saya dapat berguna dan dapat memberikan manfaat bagi perkembangan Kampus Universitas Amikom Yogyakarta dan juga MSV Studio.

## HALAMAN MOTTO

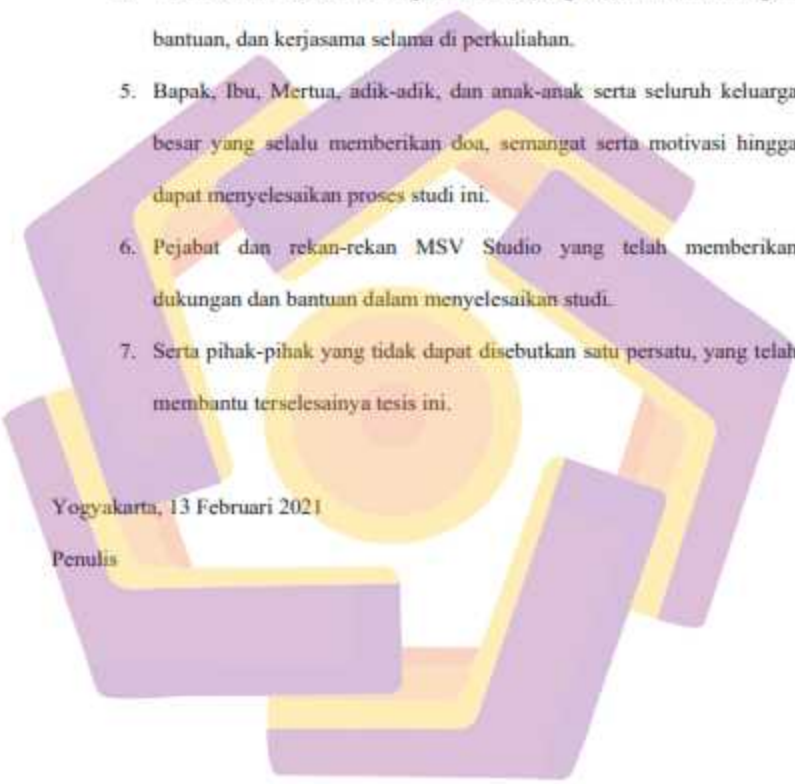
- Kesuksesan merupakan buah dari usaha-usaha kecil yang diulang hari demi hari dengan tekad dan keyakinan
- Janganlah menyusahkan jalan orang lain, apabila jalanmu ingin dipermudah
- **Man Jadda Wa jada, Man Shabara Zhafira**
- Berdoa, Ikhtiar, Tawakal
- Utamakan Keluargamu



## KATA PENGANTAR

Puji syukur kehadirat Allah SWT, karena atas berkat rahmat, taufik serta hidayahnya sehingga dapat diselesaikannya laporan tesis ini di Universitas Amikom Yogyakarta. Shalawat serta salam tak lupa saya panjatkan kepada junjungan Nabi Muhammad SAW, keluarga beliau dan sahabat-sahabat nya, dan para pengikutnya sampai akhir zaman. Laporan Tesis yang berjudul "**Deteksi Perbedaan Shot Animasi 2 Dimensi Menggunakan Algoritma Structural Similarity Index Measure**" diajukan untuk memenuhi salah satu syarat akademik dalam menempuh kelulusan di program magister (S2) teknik informatika dan sebagai syarat dalam memperoleh gelar Magister Komputer di Universitas Amikom Yogyakarta. Ucapan terima kasih yang sebesar-besarnya kepada semua pihak yang telah banyak membantu dalam menyelesaikan laporan ini utamanya kepada yang terhormat :

1. Bapak/ Ibu Pimpinan dan Pembantu Pimpinan di Universitas Amikom Yogyakarta, atas segala dukungan yang sangat menunjang keberhasilan penulis dalam menyelesaikan studi di Universitas Amikom Yogyakarta
2. Prof. Dr. Ema Utami, S.Si., M.Kom. selaku dosen pembimbing I dan Anggit Dwi Hartanto, M.Kom selaku dosen pembimbing II yang selalu membimbing, mengarahkan dan memberikan masukan dalam proses penyusunan tesis ini dengan penuh kesabaran dan memberikan ilmu yang terbaik kepada penulis.

- 
3. Bapak/ Ibu dosen MTI S2 dan Karyawan di Universitas Amikom Yogyakarta, yang telah membantu penulis untuk menyelesaikan pendidikan di Universitas Amikom Yogyakarta.
  4. Teman-teman kelas MTI angkatan 19 B yang memberikan dukungan, bantuan, dan kerjasama selama di perkuliahan.
  5. Bapak, Ibu, Mertua, adik-adik, dan anak-anak serta seluruh keluarga besar yang selalu memberikan doa, semangat serta motivasi hingga dapat menyelesaikan proses studi ini.
  6. Pejabat dan rekan-rekan MSV Studio yang telah memberikan dukungan dan bantuan dalam menyelesaikan studi.
  7. Serta pihak-pihak yang tidak dapat disebutkan satu persatu, yang telah membantu terselesainya tesis ini.

Yogyakarta, 13 Februari 2021

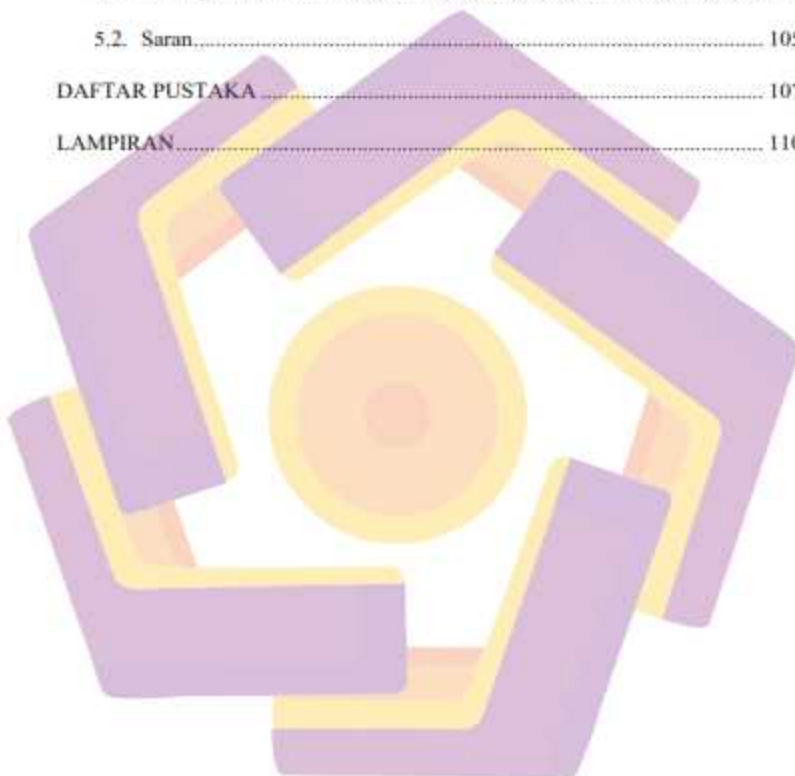
Penulis

## DAFTAR ISI

HALAMAN JUDUL .....	ii
HALAMAN PENGESAHAN .....	iii
HALAMAN PERSETUJUAN .....	iv
HALAMAN PERNYATAAN KEASLIAN TESIS .....	v
HALAMAN PERSEMBAHAN .....	vi
HALAMAN MOTTO .....	vii
KATA PENGANTAR .....	viii
DAFTAR ISI .....	x
DAFTAR TABEL .....	xiii
DAFTAR GAMBAR .....	xv
<i>ABSTRACT</i> .....	xvii
BAB I PENDAHULUAN .....	1
1.1. Latar Belakang Masalah .....	1
1.2. Rumusan Masalah .....	7
1.3. Batasan Masalah .....	7
1.4. Tujuan Penelitian .....	8
1.5. Manfaat Penelitian .....	9
BAB II TINJAUAN PUSTAKA .....	10
2.1. Tinjauan Pustaka .....	10
2.2. Keaslian Penelitian .....	14
2.3. Landasan Teori .....	17

2.3.1	Pengertian Animasi .....	17
2.3.2	Prinsip Animasi .....	17
2.3.3	Teknik Animasi .....	22
2.3.4	Metode deteksi perbedaan image .....	24
2.3.5	Algoritma SSIM .....	24
<b>BAB III METODE PENELITIAN .....</b>		<b>28</b>
3.1.	Jenis, Sifat, dan Pendekatan Penelitian.....	28
3.2.	Metode Pengumpulan Data.....	28
3.3.	Metode Analisis Data.....	29
3.3.1	Grayscale .....	30
3.3.2	Deteksi Perbedaan Shot Animasi 2 Dimensi.....	30
3.3.3	Threshold dan Binarisasi Image .....	31
3.4.	Alur Penelitian .....	33
3.4.1	Persiapan Alat dan Bahan Penelitian.....	34
3.4.2	Modeling Sistem .....	34
3.4.3	Implementasi Sistem Deteksi .....	37
3.4.3.1	Pengujian .....	37
<b>BAB IV HASIL PENELITIAN DAN PEMBAHASAN .....</b>		<b>39</b>
4.1	Gambaran Umum Obyek Penelitian .....	39
4.2	Analisa Algoritma SSIM .....	39
4.3	Analisa Fungsi Google Colab Pemrograman Python dengan Algoritma SSIM .....	41
4.4	Representasi Data SSIM dan Contur.....	47

4.5 Hasil Pengujian .....	49
4.6 Analisis Hasil Pengujian .....	101
BAB V PENUTUP.....	105
5.1. Kesimpulan .....	105
5.2. Saran.....	105
DAFTAR PUSTAKA .....	107
LAMPIRAN.....	110



## **DAFTAR TABEL**

Tabel 2.1 Matriks literatur review dan posisi penelitian.....	14
Tabel 3.1 Rancangan Pengujian.....	38
Tabel 4.1 Hasil Deteksi perbedaan shot video animasi AKT_ANM_SC11_SH07_IB_FU1 dengan AKT_ANM_SC11_SH07_IB_TK1 menggunakan Algoritma SSIM .....	52
Tabel 4.2 Hasil Deteksi perbedaan shot video animasi AKT_ANM_SC11_SH07_IB_TK1 dengan AKT_ANM_SC11_SH07_IB_TK1_FU2 menggunakan Algoritma SSIM .....	56
Tabel 4.3 Hasil deteksi perbedaan shot video animasi AKT_ANM_SC14_SH14_FU2 dengan AKT_ANM_SC14_SH14_FU1 menggunakan algoritma SSIM .....	62
Tabel 4.4 Hasil deteksi perbedaan shot video animasi ANM_SOL_SC14_SH14_FU1 dengan ANM_SOL_SC14_SH14_FU1_FU3 menggunakan algoritma SSIM .....	70
Tabel 4.5 Hasil Deteksi perbedaan shot video animasi AKT_ANM_SC11_SH07_IB_FU1 dengan AKT_ANM_SC14_SH14_FU2 menggunakan algoritma SSIM .....	78
Tabel 4.6 Hasil Deteksi perbedaan shot video animasi AKT_ANM_SC11_SH07_IB_FU1 dengan AKT_ANM_SC11_SH07_IB_TK1 dengan memindah 5 frame di depan ke belakang menggunakan algoritma SSIM .....	83

Tabel 4.7 Hasil deteksi perbedaan shot video animasi AKT_ANM_SC14_SH14_FU2 dengan AKT_ANM_SC14_SH14_FU1 dengan menggeser 10 frame di awal ke akhir menggunakan algoritma SSIM .....	88
Tabel 4.8 Hasil deteksi perbedaan shot video animasi WHALE_ANM_SC01_SH01_FU1 dengan WHALE_ANM_SC01_SH01 .....	96



## DAFTAR GAMBAR

Gambar 2.1 12 Prinsip Animasi .....	21
Gambar 2.2 Diagram Struktur dari Algoritma SSIM.....	25
Gambar 3.1 Alur Penelitian.....	33
Gambar 3.2 Alur Flowchart Deteksi Menggunakan Algoritma SSIM .....	36
Gambar 4.1 Perubahan nilai SSIM pada setiap frame .....	51
Gambar 4.2 Persamaan Nilai Image.....	56
Gambar 4.3 Perubahan nilai SSIM pada setiap frame .....	60
Gambar 4.4 Persamaan Nilai Image.....	69
Gambar 4.5 Perubahan nilai SSIM pada setiap frame .....	77
Gambar 4.6 Perubahan nilai SSIM pada setiap frame .....	82
Gambar 4.7 Perubahan nilai SSIM pada setiap frame .....	87
Gambar 4.8 Pengecekan uji akurasi yang dilakukan oleh animator senior MSV Studio .....	95

## INTISARI

Animator memegang peranan penting dalam proses pembuatan film animasi 2D. Selama proses pembuatan animasi 2D karakter yang telah dibuat oleh animator terkadang ditemui kesalahan karena pembuatan animasi 2D dengan cara digambar *frame by frame* menjadikan gerakan terkesan kurang natural sehingga sering terjadi revisi dalam pengeraannya. Pemanfaatan teknologi dalam mengetahui perbedaan shot animasi 2 dimensi menggunakan algoritma structural similarity index measure diharapkan dapat mendeteksi perbedaan shot animasi sebelum dan sesudah revisi sehingga kualitas animasi semakin baik dan dapat dipertanggungjawabkan.

Hasil penelitian deteksi perbedaan shot animasi 2 dimensi menggunakan algoritma structural similarity index ini berupa nilai dari structural similarity index yang kemudian dikomputasi untuk mendapatkan titik atau lokasi perbedaan selanjutnya akan dicari contur perbedaan agar mendapatkan visual perbedaannya.

Berdasarkan dari hasil penelitian disimpulkan bahwa algoritma structural similarity index measure dapat dijadikan metode dalam mendeteksi perbedaan shot animasi 2 dimensi sebelum revisi dan sesudah revisi dengan akurasi yang baik. Kecepatan hasil deteksi algoritma dalam mendeteksi perbedaan animasi sampai proses menghasilkan visual contur perbedaan dari 593 frame yang dibandingkan mendapatkan rata-rata 9.08 detik per frame.

Kata kunci: *SSIM, perbedaan, gambar, deteksi, animasi 2D*

## **ABSTRACT**

*Animators play an important role in the process of making 2D animated films. During the process of making 2D character animations that have been created by the animator, errors are sometimes encountered because making 2D animation by drawing frame by frame makes the movements seem less natural so that there are frequent revisions in the process. The use of technology in knowing the difference in 2-dimensional animated shots using the structural similarity index measure algorithm is expected to be able to detect differences in animation shots before and after revision so that the animation quality is better and can be accounted for.*

*The results of the research on the detection of differences in 2-dimensional animated shots using the structural similarity index algorithm are in the form of the value of the structural similarity index which is then computed to get the point or location of the difference, then the contours of the differences will be searched in order to get the visual difference.*

*Based on the results of the study, it is concluded that the structural similarity index measure algorithm can be used as a method for detecting differences in 2-dimensional animation shot before revision and after revision with good accuracy. The speed of the detection algorithm in detecting animation differences until the process produces a visual contour difference of 593 frames compared to an average of 9.08 seconds per frame.*

*Keyword:* SSIM, Different, Image, 2D Animation

## BAB I

### PENDAHULUAN

#### 1.1. Latar Belakang Masalah

Animasi paling akrab dengan keseharian kita, biasa juga disebut dengan film kartun. Kartun sendiri berasal dari kata *Cartoon*, yang artinya gambar yang lucu (Rizal,2017). Perkembangan perfilman animasi 2 dimensi (2D) di Indonesia dari waktu ke waktu semakin berkembang dengan berdirinya studio animasi di beberapa kota (sumber: <https://ainaki.or.id>,2020). Semakin bertambahnya studio animasi diikuti pula dengan peningkatan jumlah animator. Animator memegang peranan penting dalam proses pembuatan film animasi 2D karena sebagai sumber daya manusia dalam sebuah studio. Proses pembuatan animasi yang mulanya dikerjakan menggunakan teknik tradisional dan saat ini berkembang menggunakan teknik digital maka ketersediaan alat atau teknologi untuk mendukung pekerjaan animator sangatlah penting dalam sebuah studio. Teknologi tersebut dapat memperlancar pekerjaan animator dan sebagai upaya untuk mencapai target sesuai dengan timeline yang sudah ditentukan.

Selama proses pembuatan animasi 2D karakter yang telah dibuat oleh animator terkadang ditemui beberapa kesalahan karena pembuatan animasi 2D dengan cara digambar *frame by frame* menjadikan gerakan terkesan kurang alami sehingga menyebabkan animasi kurang hidup. Cara menciptakan gerakan alami pada animasi agar terkesan hidup sehingga menciptakan hasil animasi yang menarik, dinamis, dan tidak membosankan yakni menggunakan 12 prinsip

animasi yang dikembangkan oleh animator Disney Ollie Johnston dan Frank Thomas (The Illusion of Life: Disney Animation, 1981). Selain 12 Prinsip animasi, prinsip-prinsip lain yang dapat digunakan sebagai dasar acuan dalam pembuatan animasi pada buku Michael Hampton (Figure Drawing: Design and Invention, 2010).

Kesalahan pembuatan animasi 2D antara lain adalah karakter menjadi out of model atau berubah proporsi, anatomi tubuh, pergerakan kaki dan tangan, berlari, melompat, kurangnya properti yang digambar, pergerakan rambut, penambahan objek garis ataupun pengurangan objek, serta gerakan kecil lainnya. Hal tersebut menjadi kendala tersendiri dalam proses pembuatan film animasi 2D. Penggunaan software toonboom harmony sebenarnya dapat membantu dalam mengurangi kesalahan animator salah satunya ketika menggambar gerakan mulut dikarenakan toonboom harmony sudah mempunyai fitur yakni dapat menggenerate pergerakan mulut ketika mengucapkan kalimat. Akan tetapi ada pergerakan-pergerakan animasi yang belum dapat di generate oleh toonboom harmony seperti yang dijelaskan diatas. Ditambah kemampuan artist yang belum begitu baik maka dapat menambah faktor kesalahan dalam menggambar sebuah shot adegan animasi.

Motion Capture Technology dengan teknik rotoscoping juga dapat mengurangi kesalahan-kesalahan yang dilakukan oleh animator dalam membuat sebuah shot animasi. Terdapat kelebihan dalam efisiensi waktu produksi karena teknik rotoscoping merupakan teknik *tracing* gambar dari video live ( Rahman et al, 2018). Banyak penelitian yang memanfaatkan teknik ini dalam pembuatan

sebuah animasi seperti penelitian yang dilakukan oleh (Amalia,2019), (yuliatyi, 2019), (Anhar, 2019), dan (Nidiansyah, 2019). Akan tetapi teknik rotoscoping mempunyai kekurangan dalam implementasi penggunaannya antara lain :

1. Terdapat batasan karena harus mengikuti gerakan sesuai video yang di tracing
2. Pergerakan akan menjadi realistik dan akan kehilangan salah satu prinsip animasi yaitu *exaggeration*
3. Jika ingin melakukan sesuatu yang berbeda dari video maka harus mengubahnya kembali ke teknik animasi konvensional yaitu *key animasi*
4. Sulit di implementasikan jika karakter selain manusia normal secara anatom

Menurut (Bregler,2007) pada papernya menjelaskan tentang kontroversi penggunaan teknik rotoscoping dalam animasi pada film Snow White and the Seven Dwarfs (1937) dianggap curang dalam dunia animasi. Animasi yang baik dianggap sebagai bentuk seni yang langka dan sulit didapat yang mengikuti prinsip-prinsip animasi yang diciptakan oleh Disney. Teknik rotoscoping dianggap sebagai animasi murah yang kurang ekspresif karena menghilangkan prinsip utama dalam animasi yakni *exaggeration*, yang artinya semuanya harus lebih besar dari kehidupan bukan hanya salinan kehidupan yaitu rotoscoping. Teknik ini kurang hidup pada dunia animasi dikarenakan banyak yang hilang dalam proses pembuatannya. Banyak film Animasi yang box office justru dibuat dengan cara digital konvensional mengandalkan kemampuan animator nya seperti film Your Name (2016), Weathering with You (2019), Klaus (2019) serta karya film-film animasi dari Studio Ghibli (1986-2014).

Dari uraian diatas dalam evaluasi penggunaan Software Toon Boom Harmony dan teknik rotoscoping memang dapat mengurangi atau mencegah kesalahan dalam membuat animasi, akan tetapi masih terdapat banyak kesalahan dalam proses pembuatan shot animasi dikarenakan kurangnya penerapan 12 prinsip animasi. Selain itu selama proses pembuatan film animasi 2D terdapat kendala teknis dalam pengecekan animasi yang telah dibuat. Kendala teknis yang dihadapi adalah ketika mengerjakan proyek animasi dengan shot ribuan seringkali terjadi revisi pada *key animasi*. Selama proses tersebut diperlukan adanya metode untuk mempermudah identifikasi perubahan animasi yang direvisi. Deteksi perubahan adalah ketika dapat mengetahui perubahan visual apa yang sudah dilakukan oleh animator dalam shot animasi yang dibuatnya. Metode deteksi perubahan shot animasi yang dapat digunakan adalah dengan pengolahan citra.

Pengolahan citra merupakan suatu proses memperbaiki suatu citra agar lebih mudah diinterpretasikan oleh pengguna (Sugiarti, 2018). Salah satu pengolahan citra yang dapat digunakan dalam animasi 2D adalah algoritma SSIM (*Structural Similarity Image Measure*). SSIM digunakan untuk mengukur kesamaan dan mendeteksi perbedaan antara dua gambar yang telah mengalami perubahan (Wang, 2004). Adanya SSIM dapat mempercepat proses deteksi bagian animasi yang direvisi dan dapat dipertanggungjawabkan berdasarkan penilaian obyektif, dikarenakan SSIM dipercaya dapat berkorelasi dengan kualitas persepsi Human Visual System (Wang, 2004).

Algoritma SSIM banyak dimanfaatkan dalam berbagai bidang seperti pada kesehatan, keamanan, industri percetakan, dan lain-lain. Dalam penelitian ini,

penulis merujuk pada beberapa penelitian sebelumnya yang membahas tentang topik yang berkaitan dengan penelitian yang akan penulis lakukan. Penelitian tersebut diantaranya yaitu pada bidang kesehatan, algoritma SSIM untuk memverifikasi dosis dan terbukti dapat mendeteksi kesalahan distribusi dosis dalam pemberian dosis radioterapi (Peng et al, 2020).

Penelitian dari Chen et al bertujuan bagaimana algoritma SSIM dapat mendeteksi sebuah pergerakan yang dibandingkan dengan Single Gaussian Model dan terbukti bahwa algoritma SSIM lebih baik dalam mendeteksi objek bergerak (Chen et al, 2015). Penelitian dari mauludy et al bertujuan untuk mendeteksi slot parkir kosong untuk kendaraan roda empat menggunakan algoritma SSIM serta menguji tingkat akurasi nya (Mauludy et al, 2020).

Penelitian dari Liu et al bertujuan untuk mendeteksi shot berupa cut transition dan gradual transition pada video menggunakan algoritma SSIM yang digabungkan dengan ORB feature sebagai titik tracking dan terbukti adanya pengurangan yang signifikan dalam komputasi dengan kinerja yang lebih baik dibandingkan dengan ORM digabung algoritma SSIM (Liu et al,2019). Penelitian dari Jahan et al bertujuan untuk mendeteksi mata yang tidak sehat menggunakan algoritma SSIM. Dari hasil penelitian bahwa algoritma SSIM dapat mendeteksi anomali pada mata dengan margin kesalahan 12%-15% (Jahan et al, 2018)

Salah satu penelitian yang mendekati dengan penelitian yang akan diteliti oleh penulis adalah penelitian yang dilakukan oleh Zhou et al yaitu bagaimana menemukan cacat produksi dalam mencetak gambar pada sebuah kaleng minuman yang dibandingkan dengan gambar cetak printing yang tidak cacat (Zhou et al,

2017). Dari penelitian-penelitian tersebut, penulis akan mencoba menerapkan algoritma SSIM untuk menemukan perbedaan shot animasi 2D yang belum direvisi dengan yang sudah direvisi.

Salah satu studio yang menghasilkan animasi 2D adalah MSV (Mataram Surya Visi) Studio. Proses revisi animasi 2D di studio tersebut saat ini masih menggunakan metode konvensional yaitu menggunakan catatan apabila terdapat revisi dari produser atau supervisor. Catatan revisi tersebut antara lain penambahan objek, karakter anatomi tubuh dan gerakan tidak natural, dan lain sebagainya. Metode tersebut mengharuskan koordinator mengecek dengan detail revisi yang telah dilakukan oleh animator, membandingkan dengan animasi sebelumnya, dan mengidentifikasi bugian yang sudah revisi. Cara ini memerlukan ketelitian dan kecermatan dari koordinator untuk menentukan revisi animasi sudah sesuai dengan catatan atau belum. Apabila dalam sehari terdapat puluhan revisi shot animasi yang harus dicek dan teliti maka peluang terjadinya missing yang dilakukan oleh koordinator semakin tinggi karena bersifat subyektif. Hal ini dapat menurunkan kualitas pengecekan dan waktu yang diperlukan untuk revisi shot animasi semakin bertambah. Semakin lama waktu yang dibutuhkan untuk proses revisi maka biaya yang harus dialokasikan oleh perusahaan atau studio juga semakin meningkat dan besar kemungkinan penyelesaian animasi 2D tersebut tidak sesuai dengan timeline atau target waktu yang sudah direncanakan. Oleh sebab itu, perlu adanya penggunaan teknologi dalam bidang teknik informatika untuk mengatasinya yaitu dengan penggunaan pengolahan citra SSIM (*Structural Similarity Image Measure*) pada saat melakukan pengecekan revisi shot animasi.

## 1.2. Rumusan Masalah

Sebagaimana paparan latar belakang diatas, maka dapat diambil beberapa rumusan masalah yang timbul dalam deteksi perbedaan shot animasi 2 dimensi menggunakan algoritma structural similarity index measure sebagai berikut :

- a. Apakah hasil implementasi algoritma SSIM (Structural Similarity Index Measure) dapat mendeteksi perbedaan shot animasi sebelum dan sesudah direvisi ?
- b. Berapa akurasi dan kecepatan yang dihasilkan oleh algoritma SSIM (Structural Similarity Index Measure) dalam mendeteksi perbedaan shot animasi sebelum dan sesudah revisi ?

## 1.3. Batasan Masalah

Batasan masalah digunakan untuk menghindari penyimpangan atau peleburan pokok masalah agar penelitian lebih terarah sehingga tujuan penelitian akan tercapai. Beberapa batasan masalah dalam penelitian ini adalah sebagai berikut:

- a. Data shot yang diteliti adalah animasi 2 dimensi
- b. Data shot yang akan diteliti adalah shot key animasi yaitu gerakan kunci dalam membuat gerakan model di film animasi
- c. Data shot yang diteliti adalah data shot animasi 2 dimensi yang dianimasikan dengan metode digambar *frame by frame*

- d. Data shot yang akan diteliti adalah data shot animasi sebelum revisi dan sesudah revisi dengan jumlah frame yang sama
- e. Data shot yang diteliti yaitu data shot animasi yang benar – benar mirip dan sekilas sulit diidentifikasi perbedaannya
- f. Data shot yang diteliti adalah data shot yang akan di deteksi apakah berbeda atau sama dalam pergerakan animasinya atau terdapat penambahan object dan character pada shot animasi
- g. Data shot yang akan diteliti adalah data shot animasi yang dikirim ke server data storage oleh artist untuk dideteksi apakah revisi sudah sesuai dengan catatan yang diberikan oleh supervisor animasi ataupun director film animasi
- h. Hanya melakukan analisis shot yang sudah dikonversi ke ekstensi \*.jpg
- i. Tidak menggunakan informasi exif (Exchangable Image File) file pada shot yang akan dianalisis, istilah exif sering digunakan untuk mengetahui informasi penting seperti tanggal, nama, lokasi, ukuran, resolusi dan format pada shot
- j. Pengujian dalam analisa deteksi perbedaan shot ini dilakukan hanya memakai satu algoritma SSIM (Structural Similarity Index Measure)

#### 1.4. Tujuan Penelitian

Tujuan dari penelitian ini adalah:

- a. Mendapatkan hasil deteksi animasi dalam checking shot animasi setelah dilakukan revisi
- b. Mendapatkan keakuratan dalam mengidentifikasi perbedaan shot yang direvisi sebelumnya dalam setiap gerakan animasi

- c. Mengetahui kecepatan algoritma SSIM (Structural Similarity Index Measure) dalam mendeteksi perbedaan shot animasi sebelum revisi dan sesudah di revisi

### 1.5. Manfaat Penelitian

Manfaat yang diharapkan dari penelitian ini adalah:

- a. Mengetahui perbedaan dua shot animasi yang sekilas mirip
- b. Memberikan kemudahan koordinator dalam mengidentifikasi perbedaan 2 shot animasi yang hampir mirip
- c. Membantu proses identifikasi shot yang telah dilakukan revisi sehingga kualitas animasi semakin baik
- d. Produksi pembuatan film animasi semakin efektif
- e. Mengetahui kekurangan dan kelebihan metode Algoritma SSIM (*Structural Similarity Index Measure*) dalam mendeteksi perbedaan shot pada animasi
- f. Dapat diterapkan pada semua studio animasi 2D yang mempunyai kesamaan pipeline produksi film animasi

## BAB II

### TINJAUAN PUSTAKA

#### 2.1. Tinjauan Pustaka

Penelitian yang dilakukan oleh Peng et al (2020) menerapkan algoritma SSIM ke dosis radioterapi untuk mengungkap berbagai kesalahan antara distribusi dua dosis. Metode yang dilakukan dengan merancang tiga pola kesalahan pengujian yaitu kesalahan dosis absolute, dosis gradient dan dosis struktur. Dalam pengujian dosis absolute didapatkan hasil bahwa indeks luminance dalam SSIM memiliki potensi untuk mendeteksi kesalahan dosis. Pada pengujian dosis gradient didapatkan hasil bahwa indeks luminance dan contrast pada SSIM dapat digunakan sebagai indicator dalam mendeteksi perbedaan dosis gradient 2 gambar dan pada pengujian dosis struktur didapatkan hasil bahwa indeks struktur dapat mendeteksi perbedaan antara dua gambar. Dari hasil penelitian ini menyimpulkan bahwa algoritma SSIM dapat mengungkapkan kesalahan dosis absolute, dosis gradient dan dosis struktur serta dapat digunakan bersama dengan analisis gamma untuk melakukan evaluasi kuantitatif distribusi dosis dalam pemberian dosis radioterapi.

Pada penelitian yang dilakukan oleh Mauludy et al (2020) melakukan penelitian dengan merancang dan membangun sebuah aplikasi pencarian slot parkir kosong menggunakan algoritma SSIM. Umumnya tempat parkir hanya menyediakan slot-slot parkir untuk ditempati mobil tanpa ada sistem yang memberikan informasi kepada pengendara mengenai ketersediaan slot parkir

tersebut, sehingga pengendara harus mengelilingi area parkir tersebut memastikan apakah masih terdapat slot parkir yang dapat ditempati. Sistem yang dibuat menggunakan smartphone android sebagai sumber informasi dan ketika aplikasi dibuka maka akan melakukan request ke computer server mengenai ketersediaan slot, selanjutnya server akan mengirim data terakhir mengenai ketersediaan slot dari data cctv terakhir kepada pengguna. Dari hasil penelitian ini mendapatkan tingkat akurasi sebesar 60%, beberapa hal yang berpengaruh terhadap tingkat pendekatan yaitu intensitas cahaya dan posisi kamera.

Penelitian yang dilakukan oleh Liu et al (2019) bertujuan untuk mendekripsi cut transition dan gradual transition pada sebuah video dengan dataset dari Open-video, Youtube, dan YOUTUKE. Dari hasil penelitian menunjukkan bahwa metode SSIM dan pendekatan ORB descriptor mendapatkan hasil skor F1 92,5% dan lima kali kecepatan real-time dengan satu CPU pada 106040 frame dari dataset video.

Selain itu sebuah penelitian yang dilakukan oleh Jahan et al (2018) melakukan penelitian tentang bagaimana mendekripsi mata yang tidak sehat. Kornea, humor lensa aquas, sklera, retina, koroid, saraf optik masing-masing komponen ini sama pentingnya untuk penglihatan. Sedikit cacat pada bagian mana pun dari komponen ini akan sangat berpengaruh pada penglihatan kita. Tujuan utama dari penelitian ini adalah untuk mengidentifikasi semua masalah terkait penglihatan melalui deteksi objek menggunakan algoritma SSIM yang akan mendekripsi perbedaan structural antara mata manusia yang sehat dan tidak sehat atau terinfeksi. Peneliti juga menggunakan algoritma Euclidian Distance

untuk mengukur ukuran IRIS untuk mendeteksi anomali mata seperti myopia dan mata malas. Dari hasil penelitian, sistem yang dibuat menggunakan algoritma SSIM dapat mendeteksi anomaly dan mengukur ukuran kornea pasien menggunakan euclidian distance berdasarkan set referensi gambar dengan margin kesalahan 12% -15%.

Penelitian yang dilakukan oleh Vinay et al (2018) bertujuan untuk mendeteksi wajah menggunakan robot pengintai. Hasil dari SSIM diolah lagi dengan menggunakan Algoritma Spectral Clustering untuk dikelompokan wajah-wajah yang memiliki kemiripan . Menggunakan dataset dari ORL (Olivetti Research Laboratory Cambridge), Caltech dan Faces96. Dari hasil penelitian menunjukkan bahwa SSIM memberikan ukuran kesamaan yang lebih akurat daripada ORB, SIFT atau SURF. Model yang diusulkan juga tidak berubah untuk berpose dan berekspresi (sampai batas tertentu). SSIM melampaui teknik lain seperti MSE dengan mengekstraksi fitur struktural dari gambar. Ini mengarah pada peningkatan kinerja yang signifikan karena manusia juga mengekstraksi informasi struktural dari visual. SSIM menghilangkan efek penerangan dan kemudian menggunakan atribut yang menggambarkan struktur objek untuk mendapatkan informasi struktural yang diinginkan.

Salah satu penelitian yang mendekati tentang deteksi perbedaan gambar yaitu pada penelitian yang dilakukan oleh Zhou et al (2017). Penelitian ini mencari cara bagaimana menemukan cacat produksi dalam mencetak gambar digital pada kaleng minuman ringan. Tujuan dari penelitian ini adalah untuk meningkatkan kualitas produksi dalam mengkontrol cacat gambar digital printing

pada kaleng yang dibandingkan dengan kaleng dengan standar printing yang baik atau tidak ada cacat. Platform sistem hardware yang dipakai adalah menggunakan line scan camera untuk memindai gambar pada kaleng yang diputar menggunakan dinamo motor, sumber lampu coaxial untuk menghindari refleksi dan cahaya sekitar. Kemudian hasil scan diolah menggunakan software algoritma SSIM. Hasil penelitian menunjukkan bahwa algoritma SSIM dapat secara efektif mencapai berbagai deteksi cacat halus, dan mengatasi motor ketidakstabilan kecepatan, gangguan cahaya sekitar dan efek lamanya, dengan ketahanan yang bagus.

Dari tinjauan pustaka, penggunaan algoritma SSIM dimanfaatkan dalam berbagai bidang, kontribusi dari penelitian adalah di bidang animasi dalam memanfaatan algoritma SSIM dalam mengidentifikasi perbedaan gambar yaitu shot animasi yang akan dicek kualitas shot animasi yang dikerjakan oleh Animator apakah semakin baik dengan shot yang dikerjakan sebelumnya sesuai catatan yang diberikan oleh produser dan supervisor pada waktu preview shot animasi dengan membandingkan shot animasi lama dengan shot animasi setelah revisi. Penelitian ini membantu koordinator dalam mendeteksi perbedaan gerakan shot animasi sebelum diserahkan kepada supervisor.

## 2.2. Keaslian Penelitian

**Tabel 2.1. Matriks literatur review dan posisi penelitian  
Deteksi Perbedaan Shot Animasi 2 Dimensi Menggunakan Algoritma Structural Similarity Index Measure**

No	Judul	Peneliti, Media Publikasi, dan Tahun	Tujuan Penelitian	Kesimpulan	Sarun atau Kelemahan	Perbaikan
1	Implementation of the Structural Similarity (SSIM) Index as a Quantitative Evaluation Tool for Dose Distribution Error Detection	Peng, J., Shi, C., Laugeman, E., Hu, W., Zhang, Z., Mutic, S., & Cai, B. (2020). <i>Implementation of the Structural SIMilarity (SSIM) Index as a Quantitative Evaluation Tool for Dose Distribution Error Detection</i> . <i>Medical Physics</i> . doi:10.1002/mp.14010	Implementasi SSIM ke bidang verifikasi dosis radioterapi dan mengevaluasi kemampuannya untuk mengungkap berbagai jenis kesalahan antara distribusi dua dosis	Implementasi SSIM dapat mengungkapkan kesalahan dosis absolute, dosis gradient dan dosis struktur dari dua buah dosis	Hasil penelitian ini bukan sebagai metode utama tetapi masih sebagai pendukung analisis yang lain yaitu analisis gamma dalam mengevaluasi distribusi dosis radioterapi	Penelitian ini untuk mendeteksi kesalahan distribusi dosis dalam pemberian dosis radioterapi sedang pada penelitian yang dilakukan untuk mendeteksi perbedaan gambar shot animasi
2	Rancang bangun aplikasi pencarian slot parkir kosong untuk kendaraan roda empat dengan pendekatan computer vision	Mauludy, A.T., Khirsne, D.C., Siputra, K.O. (2020). Rancang bangun aplikasi pencarian slot parkir kosong untuk kendaraan roda empat dengan pendekatan computer vision. <i>Jurnal SPEKTRUM</i> , [S.I], v. 7, n. 1, p. 36-40, mar. 2020. ISSN 2684-9186. Available at: < <a href="https://ojs.unud.ac.id/index.php/spektrum/article/view/58094">https://ojs.unud.ac.id/index.php/spektrum/article/view/58094</a> >. Date accessed: 30 mar. 2020.	Mendeteksi ketersediaan slot parkir mobil yang kosong menggunakan SSIM guna memberikan informasi kepada pengendara mengenai ketersediaan slot parkir	Penggunaan SSIM dapat memerlukan akurasi lebih dari 60%	Detecti ketersediaan slot parkir ini dipengaruhi oleh intensitas cahaya dan posisi kamera jika intensitas cahaya rendah maka deteksi akan semakin sulit	Penelitian ini mendeteksi slot parkir kosong, Intensitas cahaya dan posisi kamera sangat berpengaruh dalam mendeteksi slot kosong. Sedang penelitian yang akan dilakukan yaitu mendeteksi perbedaan shot animasi tanpa terpengaruh intensitas cahaya

Tabel 2.1. (Lanjutan)

No.	Judul	Peneliti, Media Publikasi, dan Tahun	Tujuan Penelitian	Kesimpulan	Saran atau Kelemahan	Perbaikan
3	A Novel Shot Detection Approach Based on ORB Fused with Structural Similarity	Liu, H., Tan, T.-H., & Kuo, T.-Y. (2019). <i>A Novel Shot Detection Approach Based on ORB Fused with Structural Similarity</i> . IEEE Access, 1–. doi:10.1109/access.2019.2962328	Mendeteksi cut transition dan graduation transition dalam sebuah video	Dalam penelitian ini dapat mendeteksi CT dan GT dengan SSIM	Dalam penelitian ini jika video dalam kondisi blur atau flicker akan sulit mendeteksi peralihan shot, ketika ada shot yang tiba-tiba blur akan dilihat sebagai pergantian transisi	Penelitian ini hanya mendeteksi perbedaan gambar secara luas melalui deteksi CT dan GT sedang dalam penelitian yang diajukan lebih detail lagi dalam mendeteksi perbedaan didalam frame
4	Detecting Anomalies in Human Eyes using Structural Similarity Index Measurement	Jahan, M., Rushi, F.R., Tabassum,S., Ferdous,J. (2018). <i>Detecting Anomalies in Human Eyes using Structural Similarity Index Measurement</i> . Department of Computer Science and Engineering, Brac University. <a href="http://hdl.handle.net/10361/11722">http://hdl.handle.net/10361/11722</a>	Mendeteksi anomali mata yang tidak sehat yang dibandingkan dengan mata sehat	Hasil penelitian menunjukkan SSIM dapat mendeteksi anomali pada mata	Dalam bidang kesehatan margin off error dari masalah kesehatan adalah sebesar 5% sedang pada penelitian ini masih diatas 10%	Penelitian ini mendeteksi perbedaan mata sehat dan tidak sehat, sedang pada penelitian yang diajukan untuk mendeteksi perbedaan shot animasi yang lebih detail
5	Surveillance Robots based on Pose Invariant Face Recognition Using SSIM and Spectral Clustering	A, V., Singh, A., Anand, N., Raj, M., Bharati, A., Murthy, K. N. B., & Natarajan, S. (2018). <i>Surveillance Robots based on Pose Invariant Face Recognition Using SSIM and Spectral Clustering</i> . Procedia Computer Science, 133, 940–951.	Mendeteksi wajah menggunakan robot pengintai	Hasil penelitian bahwa SSIM lebih unggul dalam mengenali wajah dibanding ORB dan SIFT	Penelitian ini akan kurang dalam akurasi ketika di implementasikan ke dalam kamera pengawas langsung karena masih dipengaruhi intensitas cahaya	Penelitian ini untuk deteksi wajah sedang pada penelitian yang diajukan deteksi perbedaan shot yang lebih detail dan tidak terpengaruh intensitas cahaya

Tabel 2.1. (Lanjutan)

No.	Judul	Peneliti, Media Publikasi, dan Tahun	Tujuan Penelitian	Kesimpulan	Saran atau Kelebihan	Perbaikan
6	Defect Detection of Printing Images on Cans Based on SSIM and Chromatism	Zhou, M., Wang, G., Wang, J., Hui, C., & Yang, W. (2017). <i>Defect detection of printing images on cans based on SSIM and chromatism</i> . 2017 3rd IEEE International Conference on Computer and Communications (IICCC). doi:10.1109/compcomm.2017.8322912	Menerangkan cacat produksi dalam mencetak gambar digital pada minuman kaleng	Hasil menunjukkan bahwa SSIM efektif dalam mendeteksi cacat halus pada kaleng	Penelitian ini hanya mendeteksi perbedaan satu gambar saja	Penelitian ini untuk mendeteksi cacat produksi pada gambar sebuah kaleng sebagai objeknya sedang pada penelitian yang diajukan untuk mendeteksi perbedaan shot berupa image sequence animasi sebagai objeknya

### 2.3. Landasan Teori

#### 2.3.1 Pengertian Animasi

Animasi diambil dari bahasa latin, "anima" yang artinya hidup, nyawa, jiwa, dan semangat. Animasi adalah gambar 2 dimensi yang seolah-olah bergerak, karena kemampuan otak untuk selalu menyimpan/mengingat gambar sebelumnya (The Making of Animation, 2004). Animasi merupakan serangkaian gambar cepat yang *continue atau terus menerus* yang memiliki hubungan satu dengan yang lainnya. Animasi yang awalnya hanya berupa rangkaian dari potongan-potongan gambar yang digerakkan sehingga terlihat hidup (Adinda & Adjie, 2011). Sedangkan menurut Vaughan (Multimedia: Making It Work Seventh Edition, 2008) menyatakan "animasi adalah usaha untuk membuat presentasi statis menjadi hidup"

Dari pendapat-pendapat ahli di atas dapat disimpulkan bahwa, animasi merupakan suatu teknik dalam pembuatan karya visual yang sudah disusun gambarnya secara berurutan berdasarkan pengaturan waktu untuk membuat presentasi statis menjadi hidup.

#### 2.3.2 Prinsip Animasi

Frank Thomas dan Ollie Johnston dalam bukunya yang berjudul "Disney Animation – The Illusion of Life", 1981 menganjurkan beberapa prinsip animasi yang dapat dijadikan pedoman para animator untuk mengkreasikan gambar-gambar dalam dalam animasi bergerak natural dan menjadi lebih hidup. Prinsip ini dikenal sebagai 12 prinsip dasar animasi. Prinsip ini secara umum lebih banyak memberikan arahan bagaimana animator mendesain gerakan untuk

menghasilkan kesan gerak yang setara dengan gerakan nyata. Hal ini disebabkan karena esensi dari animasi adalah gerakan itu sendiri, Lamarre (*Coming to life: Cartoon animals and natural philosophy*, 2013). Seperti disampaikan oleh Thomas and Johnston (1981), Animator ketika membuat animasi harus berpedoman pada 12 prinsip dasar animasi yang meliputi:

a. *Squash and stretch*

Prinsip *Squash and stretch* merupakan gerak *flexible* suatu objek. Seperti pada bola, saat bola dihempaskan bola tersebut akan mengalami *stretch* dan saat bola yang dihempaskan tersebut menyentuh *object* lain maka bola tersebut akan mengalami *squash*.

b. *Anticipation*

*Anticipation* merupakan gerakan persiapan sebelum rangkaian gerakan-gerakan utama berikutnya.

c. *Staging*

*Staging* merupakan tahap pengaturan suatu adegan dalam animasi, baik dalam penempatan jauh dekatnya jarak kamera maupun sudut pandang suatu kamera terhadap suatu pose atau *object* agar lebih tersampaikannya inti dari suatu adegan.

d. *Straight Ahead and Pose to Pose*

Prinsip ini berkaitan dengan teknik menggambar dalam setiap *frame* yang dikerjakan oleh animator. *Straight ahead* biasa dipakai untuk menggambar *frame* animasi yang bersifat ekspresif, spontan dan langsung. Prinsip ini merupakan pendekatan menciptakan gerakan animasi secara berkesinambungan

mulai dari awal tanpa banyak perencanaan dari awal frame sampai akhir frame digambar *frame by frame*. Animasi gerakan selembar daun kering yang melayang tertipup angin bisa dikerjakan dengan prinsip *straight ahead*. Sementara itu sebuah gerakan yang dirancang dan lebih terencana bisa dikerjakan dengan berpedoman pada prinsip *pose to pose*. Teknik yang biasa dipakai adalah dengan mengawali membuat beberapa gambar kunci (*key frame* = *key pose*) dan diteruskan dengan membuat gambar pengisi interval antar *key frame* tersebut dengan *in between*.

#### e. Slow in Slow Out

*Slow in slow out* pada hakikatnya juga mengadopsi hukum fisika Newton agar kesan gerak yang dihasilkan tetap natural. Prinsip ini merupakan gerakan perlambatan dan percepatan suatu gerakan yang diterapkan pada awal atau akhir sebuah gerakan animasi. *Slow in* terjadi jika sebuah gerakan diawali secara lambat kemudian menjadi cepat. *Slow out* terjadi jika sebuah gerakan yang relative cepat kemudian melambat.

#### f. Arcs

Dalam animasi, sistem pergerakan objek animasi baik berupa manusia, hewan, atau benda lainnya bergerak mengikuti pola-imajiner yang disebut sebagai *Arcs*. Pola ini cenderung berbentuk lengkung (lingkaran, ellips, ataupun parabola) hal ini disebabkan karena ada tumpuan dan atau poros gerak benda, sehingga membuat gerakan terlihat halus.

#### *g. Secondary Action*

Prinsip ini dikembangkan berdasar asumsi bahwa hampir tidak ada gerakan tunggal ketika seseorang melakukan suatu kegiatan atau aksi. Tujuannya adalah agar gerakan yang muncul terkesan lebih hidup.

#### *h. Timing and Spacing*

*Timing* adalah tentang menentukan waktu kapan sebuah gerakan harus dilakukan, sementara *spacing* adalah tentang menentukan percepatan dan perlambatan dari macam-macam jenis gerak.

#### *i. Follow Through and Overlapping Action*

*Follow through* adalah tentang bagian tubuh tertentu yang tetap bergerak meskipun seseorang telah berhenti bergerak. Misalnya, rambut yang tetap bergerak sesaat setelah berhenti berlari. *Overlapping Action*, secara mudah dapat dianggap sebagai gerakan saling-silang. Maksudnya adalah serangkaian gerakan yang saling mendahului (*Overlapping*). Pergerakan tangan dan kaki ketika berjalan bisa termasuk didalamnya.

#### *j. Exaggeration*

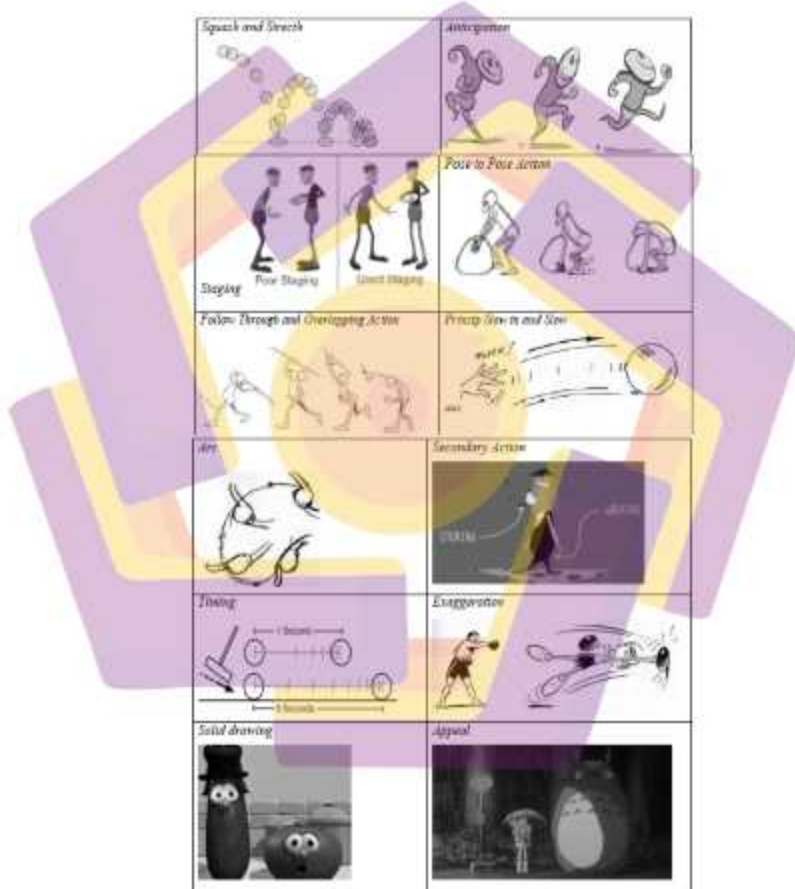
*Exaggeration* adalah upaya untuk mendramatisir atau melebih-lebihkan sebuah tampilan visual dan kesan gerakan dalam animasi yang bersifat hiperbolis. Dibuat untuk menampilkan ekstrimitas ekspresi tertentu, dan lazimnya dibuat secara komediik.

#### *k. Appeal*

*Appeal* berkaitan dengan gaya atau style atau keseluruhan suatu animasi, baik dari desain karakter, gaya visual, dan pergerakannya.

### *1. Solid drawing*

Setiap frame dalam animasi harus dikerjakan sungguh-sungguh dengan skill yang bagus yang mestinya dimiliki oleh animator. Prinsip ini menyatakan bahwa image animasi, apapun tekniknya, mestinya ditampilkan dengan kualitas bagus.



Gambar 2.1.12 Prinsip animasi

### 2.3.3 Teknik Animasi 2 Dimensi

Jenis animasi dapat berbeda tergantung dari teknik yang digunakan. Dalam pembuatan animasi terdapat beberapa teknik yang dapat digunakan yaitu (The Making of Animation, 2004):

a. *Teknik Animasi Hand Draw*

Teknik animasi 2 Dimensi klasik yang mengandalkan kemampuan tangan animator dalam membuat gambar frame per frame secara manual. Baik gambar karakter maupun gambar background digambar menggunakan tangan. Gambar karakter dan background kemudian ditumpuk per layer dalam satu scene, setelah itu dipotret satu-persatu untuk mendapatkan animasi yang utuh dan bergerak.

b. *Teknik Animasi Stop Motion*

Animasi 2 Dimensi dibuat dengan menggerakkan model dari bahan elastic yang terbuat dari clay/tanah liat sintetis. Obyek digerakkan sedikit demi sedikit kemudian dipotret dengan kamera satu per satu. Setelah itu diedit dan disusun kemudian rol film dijalankan, akan memberikan efek seolah-olah model tersebut bergerak.

c. *Teknik Animasi Hand Draw dan Komputer*

Pada teknik ini, gambar sketsa kasar dibuat dengan tangan lalu di scan untuk kemudian diberi warna dan finishing dengan menggunakan computer. Penggabungan gambar foreground dan background frame per frame juga memanfaatkan kemampuan grafis computer.

#### d. Teknik Animasi digital 2D

Teknik ini dilakukan dengan cara menggambar *frame by frame* menggunakan kemampuan tangan dan dilakukan dengan memakai computer, draw tablet dan menggunakan software pembuatan animasi seperti Toon Boom Harmony, OpenToonz, Moho Pro 12, Synfig, Pencil 2D, dll. Sama seperti konsep animasi dasar yang memiliki peran yang penting dalam menentukan proses maupun hasil dari suatu animasi. Animator harus peka terhadap faktor-faktor penting seperti anatomikomposisi, berat, keseimbangan dan lain sebagainya, proses pembuatan teknik animasi digital 2D ini juga meliputi key animasi yang menjadi gerakan kunci dalam membuat gerakan model di film animasi dan In Between animasi yang dibuat diantara gerakan kunci.

Dari beberapa teknik animasi 2 Dimensi yang dijelaskan diatas dapat disimpulkan bahwa animasi 2D dengan teknik menggambar frame by frame baik secara digital maupun tradisional rentan terjadi kesalahan dalam pembuatan animasi mulai dari objek yang digambar ada yang kurang, pergerakan yang tidak sesuai dengan 12 prinsip dasar animasi (*The Illusion of Life Disney Animation*, 1981), ekspresi yang salah dan anatomik pembuatan karakter yang out of frame. Sehingga dalam pembuatan animasi 2D akan banyak terjadi revisi dari director, produser dan supervisor. Sehingga deteksi perbedaan shot animasi setelah revisi dan sebelum revisi ini dapat membantu koordinator animasi dalam mengecek shot animasi sebelum di teruskan kepada supervisor animasi, untuk menjaga kualitas hasil revisi.

#### 2.3.4 Metode deteksi perbedaan image

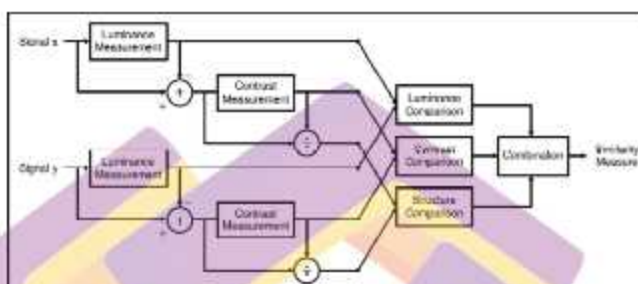
Dalam melihat perbedaan image, ada beberapa algoritma yang digunakan diantaranya *The visible differences predictor* (Daly, 1992), *Structural Similarity Index Measure* (Wang, 2004), *A Feature Similarity Index* (Zhang et al, 2011). Dari ketiga algoritma tersebut Structural Similarity Index Measure adalah yang paling mudah untuk dihitung dan biaya overhead kecil, seperti yang dilaporkan penelitian berjudul *Image Quality Assessment Based on Gradient Similarity* (Liu et all, 2012)

#### 2.3.5 Algoritma SSIM

Algoritma SSIM (Structural Similarity Index Measure) merupakan salah satu metode dalam mengukur kemiripan diantara 2 buah citra gambar dan berkorelasi kuat dengan kualitas persepsi Human Visual System (HVS) (Wang, 2004).

Algoritma SSIM adalah metode membandingkan fitur struktural dari gambar, dan kualitas gambar dijelaskan oleh kesamaan struktural. Sebelum menggunakan SSIM untuk mengukur kualitas gambar, dibutuhkan gambar sebagai referensi. Kemudian meletakkan gambar eksperimen dan gambar referensi untuk melakukan pengukuran kesamaan struktural. Semakin tinggi kesamaan, semakin tinggi kualitas gambar, sedangkan semakin rendah kesamaan, semakin rendah juga kualitas gambar. Gambar adalah distribusi intensitas cahaya yang dipantulkan dari permukaan objek. Oleh karena itu, piksel gambar terkait dengan illuminasi dan refleksi dari permukaan objek. Namun demikian struktur dari objek

tidak tergantung pada luminasi dan algoritma SSIM dapat memisahkan informasi struktur dari gambar (Chen et al, 2015).



Gambar 2.2 Diagram struktur dari algoritma SSIM

Algoritma SSIM memisahkan fitur luminasi, kontras dan struktur dari dua buah signal, kemudian membuat perbandingan fitur-fitur ini dan mendapatkan kesamaan dari kombinasi. Pada akhirnya mendapatkan tiga hasil perbandingan. Pertama, luminasi dari masing-masing gambar akan dibandingkan. Dengan asumsi sinyal diskrit sebagai intensitas rata-rata, fungsi perbandingan cahaya  $L(x,y)$  adalah fungsi dari  $\mu_x$  dan  $\mu_y$  (Wang et al, 2004).

$$\mu_x = \left( \frac{1}{MN} \sum_{i=1}^M X_i \right)$$

Kedua, rata-rata intensitas dari sinyal dihilangkan. Dalam bentuk diskrit, sinyal  $x - \mu_x$  yang dihasilkan sesuai dengan proyeksi vector  $x$  ke hyperplane yang didefinisikan

$$\sum_{i=1}^N X_i = 0$$

Menggunakan standar deviasi sebagai estimasi dari sinyal kontras.

Perkiraan tidak bias dalam diskrit dengan persamaan

$$\sigma_x = \left( \frac{1}{MN-1} \sum_1^N (x_i - \mu_x)^2 \right)$$

Ketiga, sinyal dinormalkan atau dibagi oleh standar deviasi sendiri, sehingga dua sinyal yang dibandingkan memiliki unit standar deviasi. Perbandingan kontras  $C(x, y)$  adalah perbandingan  $\sigma_x$  dan  $\sigma_y$ . Perbandingan struktur  $S(x, y)$  dilakukan pada sinyal yang dinormalisasi atau dibagi  $(x - \mu_x) / \sigma_x$  dan  $(y - \mu_y) / \sigma_y$ . Pada akhirnya, tiga komponen digabungkan untuk menghasilkan ukuran kesamaan secara keseluruhan.

$$S(x, y) = f(l(x, y), c(x, y), s(x, y))$$

Ketiga komponen tersebut relative independen. Misalnya, perubahan luminasi ataupun kontras tidak akan mempengaruhi struktur gambar. Melengkapi definisi ukuran kesamaan yang dihasilkan akan mendefinisikan dari 3 fungsi  $l(x, y)$ ,  $c(x, y)$ ,  $s(x, y)$  serta fungsi kombinasi  $f(\cdot)$ . Ukuran kesamaan harus memiliki kondisi sebagai berikut :

1. Symmetry :  $S(x, y) = S(y, x)$
2. Keterbatasan :  $S(x, y) \leq 1$
3. Maksimum unique :  $S(x, y) = 1$  jika dan hanya jika  $x = y$  ( dalam representasi diskrit,  $x_i = y_i$  untuk semua  $i = 1, 2, \dots, N$ ).

Dari 3 perbandingan didefinisikan sebagai berikut

$$\text{Luminance : } L(x, y) = \frac{2\mu_x\mu_y + C_1}{\mu_x^2 + \mu_y^2 + C_1}$$

$$\text{Contrast : } C(x,y) = \frac{2\sigma_x\sigma_y + C_2}{\sigma_x^2 + \sigma_y^2 + C_2}$$

$$\text{Structure : } S(x,y) = \frac{\sigma_{xy} + C_3}{\sigma_x\sigma_y + C_3}$$

Dimana konstanta  $C_1$ ,  $C_2$ ,  $C_3$  dimasukkan untuk menghindari ketidakstabilan ketika  $\mu_x^2 + \mu_y^2$ ,  $\sigma_x^2 + \sigma_y^2$ ,  $\sigma_x\sigma_y$  mendekati 0 dipilih secara khusus

$$C_1 = (K_1 L)^2, C_2 = (K_2 L)^2, C_3 = C_3/2$$

$L$  adalah *dynamic range* dari data sample dimana nilai pixel (255 untuk gambar grayscale 8-bit) dan  $K_1 \ll 1$  dan  $K_2$  adalah 2 konstanta kecil.  $\mu_x$ ,  $\sigma_x^2$  dan  $\sigma_{xy}$  adalah rata-rata dari  $x$ , varians  $x$ , dan kovarian masing-masing  $x$  dan  $y$ . Dari ketiga kombinasi perbandingan fungsi *luminance*, *Contrast* dan *Structure* persamaan hasil pengukuran SSIM index antara signal  $x$  dan  $y$  didefinisikan

$$\text{SSIM}(x,y) = [l(x,y)]^\alpha [c(x,y)]^\beta [s(x,y)]^\gamma$$

Dimana  $\alpha$ ,  $\beta$ ,  $\gamma$  menentukan bobot yang diberikan untuk masing-masing model yaitu *luminance*, *Contrast*, dan *Struktur*. Hasil akhir spesifik dari SSIM index adalah

$$\text{SSIM}(x,y) = \frac{(2\mu_x\mu_y + C_1)(2\sigma_{xy} + C_2)}{(\mu_x^2 + \mu_y^2 + C_1)(\sigma_x^2 + \sigma_y^2 + C_2)}$$

Dimana  $\mu_x$ ,  $\mu_y$ ,  $\sigma_x$  dan  $\sigma_y$  adalah rata-rata dan standar deviasi dari kedua gambar asli dan referensi masing – masing,  $C_1$  dan  $C_2$  adalah constanta (Wang et al, 2003), (Wang et al, 2004) dan (Wang et al, 2006)

## BAB III

### METODE PENELITIAN

#### 3.1. Jenis, Sifat, dan Pendekatan Penelitian

Metode penelitian yang digunakan adalah eksperimental. Langkah yang akan dilakukan adalah memilih video shot key animasi yang hampir mirip antar kedua video shot key animasi selanjutnya kedua shot video animasi akan dilakukan konversi kedalam image sequence agar dapat dilakukan perbandingan antar image. Berikutnya kedua image sequence tersebut diimplementasikan ke sistem deteksi perbedaan video shot animasi 2 dimensi menggunakan algoritma SSIM dengan 3 skenario percobaan sebagai bentuk uji validitas deteksi yaitu uji shot yang memiliki sedikit perbedaan, shot yang tidak memiliki perbedaan, dan shot animasi yang berbeda sekali baik objek dan karakter didalamnya. Dari komputasi perbandingan algoritma SSIM akan menilai dalam hasil angka. Selanjutnya model sistem ini akan menunjukkan dimana lokasi titik-titik perbedaannya dengan kotak-kotak batasan berwarna biru. Berikutnya yang terakhir modeling sistem ini akan memberikan hasil output berupa image yang berbeda tersebut. Dari hasil akhir output program akan mendapatkan berapa kecepatan komputasi mulai dari awal proses konversi sampe menemukan image perbedaan image.

#### 3.2. Metode Pengumpulan Data

Penelitian dilakukan melalui studi kepustakaan, dengan mengumpulkan bahan referensi yang terkait dengan penelitian, baik melalui buku, artikel, jurnal,

paper dan mengunjungi situs – situs di internet terkait dengan computer vision, citra digital, deteksi image, algoritma image processing, image retrieval khususnya algoritma yang dapat mendeteksi perbedaan objek pada image atau citra digital. Data yang digunakan adalah data shot key animasi pada proyek animasi di MSV Studio yang mempunyai kemiripan antara sesudah revisi dan sebelum revisi.

### 3.3. Metode Analisis Data

Persiapan *tools* yang akan digunakan dalam melakukan analisis deteksi perbedaan image menggunakan google colaboratory sebagai tempat melakukan eksperimen olah data. Bahasa pemrograman yang dipakai sebagai coding environment pada Google Colab adalah Python. Dataset yang akan diproses adalah dua data shot berupa video key atau in between animasi sebelum revisi dan sesudah revisi dengan format MOV yang di ambil dari project milik MSV Studio. Analisis yang dilakukan penulis melalui tiga tahap yaitu membandingkan image sebelum dan sesudah revisi yang akan menghasilkan nilai SSIM, selanjutnya menemukan lokasi atau letak perbedaannya, terakhir menghasilkan visual image perbedaannya. Pada tahapan pengujian data dilakukan 3 kondisi yaitu shot animasi yang memiliki sedikit perbedaan, shot animasi yang tidak memiliki perbedaan, dan shot animasi yang berbeda sekali baik objek atau karakter pada shot. Hal tersebut dilakukan dengan tujuan untuk mengetahui tingkat akurasi deteksi perbedaan video shot animasi 2 dimensi dari hasil yang akan didapatkan. Terdapat 3 fungsi utama dalam analisis deteksi perbedaan shot animasi 2 dimensi ini, antara lain convert grayscale, hitung SSIM dan hitung threshold

### 3.3.1 Grayscale

Persamaan grayscale yang digunakan dalam konversi image color ke grayscale adalah sebagai berikut :

$$I = a \times R + b \times G + c \times B, \text{ dengan } a+b+c=1$$

Dengan R menyatakan nilai Red, G menyatakan nilai Green, B menyatakan nilai Blue. Misal sebuah piksel mempunyai warna RGB sebagai berikut R= 50 G=70 B=60. Jika a,b,c bernilai sama maka untuk mengubah pixel tersebut menjadi grayscale yaitu dengan mencari rata-rata dari nilai ketiga layer tersebut menjadi

$$I = (50+70+60) / 3 = 60$$

### 3.3.2 Deteksi perbedaan shot animasi 2 Dimensi

Dalam proses untuk mendeteksi perbedaan shot animasi 2 dimensi berupa penambahan objek atau karakter, perubahan gerak dalam karakter animasi dalam proses produksi film animasi. Untuk mendeteksi seakurat dan sedekat mungkin dengan inspeksi visual manusia, penulis mengadopsi metode evaluasi kualitas gambar berdasarkan ukuran kesamaan structural. Metode ini secara objectif dapat mencerminkan perubahan informasi struktur image. Metode evaluasi image SSIM terutama membandingkan gambar sebelum revisi dan sesudah revisi yang akan di deteksi dari tiga aspek: kecerahan, kontras, dan kesamaan struktur. Misalkan  $x$  dan  $y$  mewakili shot animasi sebelum revisi dan sesudah revisi. Model didefinisikan sebagai :

$$\text{SSIM}(x,y) = [l(x,y)]^\alpha [c(x,y)]^\beta [s(x,y)]^\gamma$$

$$L(x,y) = \frac{2\mu_x\mu_y + C_1}{\mu_x^2 + \mu_y^2 + C_1}$$

$$C(x,y) = \frac{2\sigma_x\sigma_y + C_2}{\sigma_x^2 + \sigma_y^2 + C_2}$$

$$S(x,y) = \frac{\sigma_{xy} + C_3}{\sigma_x\sigma_y + C_3}$$

Dimana  $\mu_x$  dan  $\mu_y$  adalah nilai rata-rata dari x dan y.  $\sigma_x$  dan  $\sigma_y$  adalah standar deviasi dari x dan y.  $\sigma_{xy}$  adalah kovariansi dari x dan y.  $C_1$ ,  $C_2$ ,  $C_3$  adalah bilangan positif yang sangat kecil untuk mencegah situasi dimana penyebutnya nol karena ketidak stabilan. Untuk dua shot animasi 2 dimensi yang akan diinputkan, SSIM dua gambar dihitung dengan rumus diatas, dan semakin besar SSIM, semakin mirip korespondensi informasi shot animasi. Semakin kecil SSIM, semakin besar perbedaan. Nilai SSIM berisi persamaan dan perbedaan image shot animasi aktual antara kedua gambar dan direpresentasikan sebagai tipe data floating point dalam kisaran (0,1) sehingga harus mengkonversi nilai tersebut menjadi array 8-bit integer dengan rentang (0,255) agar dapat diolah dengan openCV.

### 3.3.3 Threshold dan binarisasi image

Nilai ambang batas atau threshold digunakan untuk mengatur jumlah derajat grayscale yang ada pada image menjadi binary image yang berfungsi untuk mempertegas batas-batas segmentasi pada image. Menurut Patil (2016) dan Ambarwati (2016) Threshold dengan metode otsu merupakan metode paling optimal, efisien dan sederhana dibanding metode threshold yang lain. Formulasi dari metode otsu adalah sebagai berikut :

Nilai ambang yang akan dicari dari suatu image gray level dinyatakan dengan  $k$ . Nilai  $k$  berkisar antara 1 sampai dengan  $L$ , dengan nilai  $L = 255$ . Probabilitas setiap pixel pada level ke  $i$  dapat dinyatakan

$$p_i = n_i / N$$

$n_i$  menyatakan jumlah pixel pada level ke  $i$

$N$  menyatakan total jumlah pixel pada image

Nilai Zeroth cumulative moment, first cumulative moment, dan total nilai mean berturut-turut dapat dinyatakan dengan rumus berikut.

$$\omega(k) = \sum_{i=1}^k p_i$$

$$\mu(k) = \sum_{i=1}^k i \cdot p_i$$

$$\mu_T = \sum_{i=1}^L i \cdot p_i$$

Nilai ambang  $k$  dapat ditentukan dengan memaksimumkan persamaan :

$$\sigma_B^2(k^*) = \max_{1 \leq k < L} \sigma_B^2(k)$$

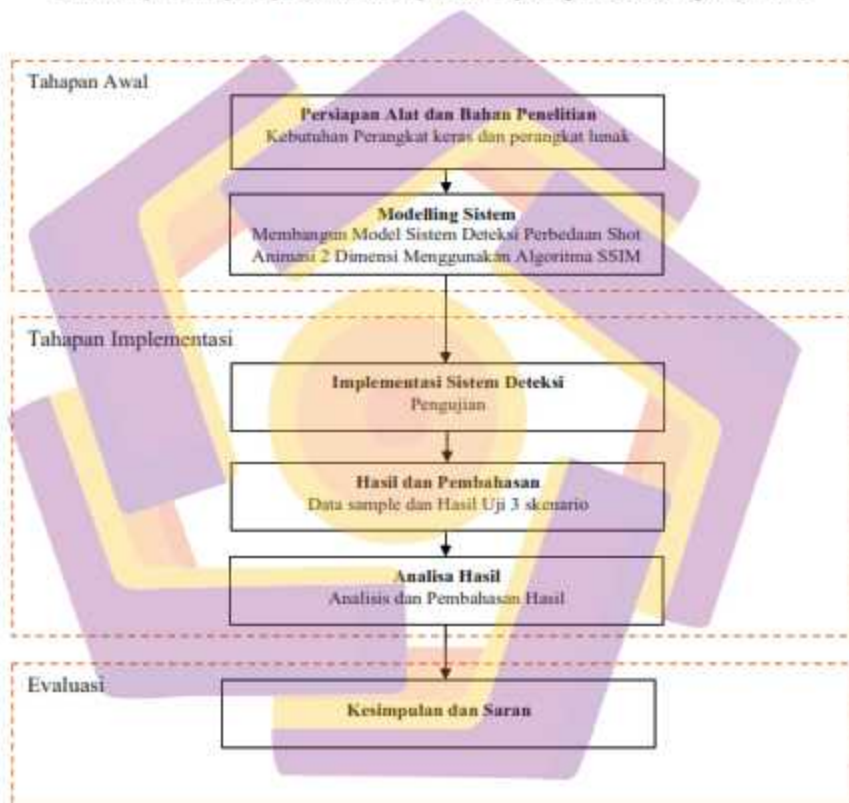
dengan

$$\sigma_B^2(k) = \frac{[\mu_T \varphi(k) - \mu(k)]^2}{\varphi(k)[1 - \varphi(k)]}$$

Setelah didapatkan nilai threshold maka akan didapatkan kontur dari image yang berbeda tersebut menggunakan openCV untuk dapat ditampilkan secara visual perbedaan image.

### 3.4. Alur Penelitian

Dalam melaksanakan penelitian, diperlukan adanya tahapan-tahapan yang diurutkan secara sistematis agar pelaksanaan penelitian dapat berjalan dengan baik. Adapun alur pada penelitian ini dapat dilihat pada gambar 2 sebagai berikut :



Gambar 3.1 Alur Penelitian

Adapun secara garis besar urutan penelitian adalah sebagai berikut:

### 3.4.1 Persiapan Alat dan Bahan Penelitian

Untuk mendukung implementasi dalam penelitian ini diperlukan adanya perangkat keras dan perangkat lunak sebagai alat. Spesifikasi computer yang digunakan dalam melakukan penelitian adalah Lenovo IdeaPad Z360 2.53Ghz Core i3-M380 dengan memory DDR2 6 Gigabyte, Koneksi Internet, Google Chrome sebagai web browser untuk mengakses Google Colaboratory dan Google Drive. Bahan penelitian yang berkaitan dengan penelitian ini yang berupa data video shot key animasi sebelum revisi dan sesudah revisi pada projek animasi di MSV Studio.

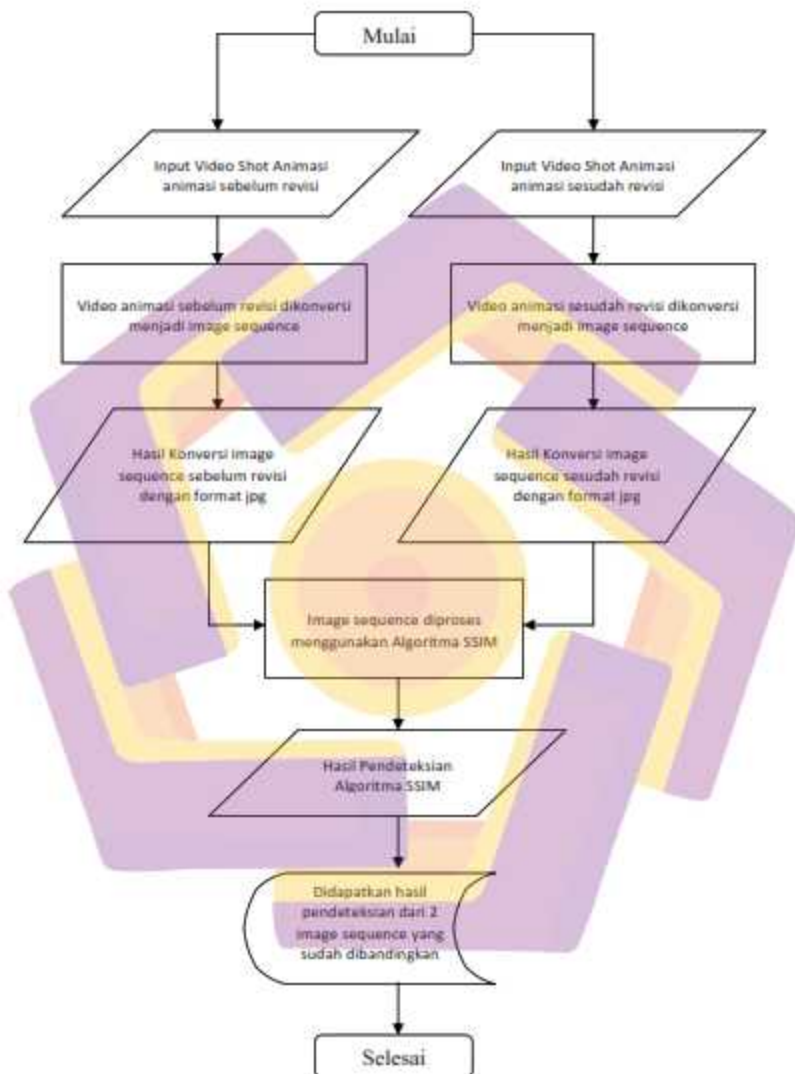
### 3.4.2 Modeling Sistem

Membangun sistem untuk deteksi perbedaan Shot Animasi 2 Dimensi Menggunakan Algoritma SSIM, dengan mencari selisih dari piksel perbedaan yang didapat pada kedua video shot yang akan dianalisis, scenario yang dibuat dengan menyiapkan dua video shot animasi 2 dimensi sebelum direvisi dan sesudah direvisi. Algoritma SSIM yang digunakan adalah fungsi yang dapat membaca dua image, menemukan nilai persamaan dan juga nilai perbedaan SSIM mereka, dan menampilkan pada batasan mana sebuah image mengalami perubahan bentuk ataupun fine animasi yang digambar. Dari nilai SSIM kemudian didapatkan nilai threshold untuk mendapatkan kontur image yang mengalami perubahan. Cara kerja Algoritma SSIM pada coding python di google colab ini adalah, setelah melakukan input dari dua video shot animasi, tahap selanjutnya adalah proses konversi dari video format MOV menjadi image sequence berformat JPG. Pada tahap berikutnya image yang dibandingkan akan di konversi

terlebih dahulu ke warna abu-abu untuk mengurangi kedalaman warna dan mempercepat komputasi. Selanjutnya algoritma SSIM akan mencari nilai persamaan dari dua image yang dibandingkan yang diambil dari 3 aspek yaitu kecerahan, kontras dan kesamaan struktur. Dari nilai SSIM itu kemudian akan dicari posisi pada image dimana perbedaannya menggunakan kotak batasan berwarna biru, selanjutnya dari nilai SSIM akan mendapatkan nilai threshold yang akan diolah untuk mendapatkan letak kontur gambar yang berbeda tersebut.

Pada gambar 3.2 berikut ini diagram alir / flowchart dalam mendekripsi perbedaan shot animasi 2 dimensi menggunakan algoritma SSIM pada kode python di google colaboratory.





Gambar 3.2 Alur Flowchart Deteksi Menggunakan Algoritma SSIM

### 3.4.3 Implementasi Sistem Deteksi

Implementasi adalah proses untuk menggunakan algoritma SSIM sebagai dasar dalam mendeteksi perbedaan shot animasi sebelum revisi dan sesudah revisi, yang diharapkan untuk mempermudah pengguna dalam mengetahui perbedaan shot animasi. Implementasi sistem ini dilakukan menggunakan kode python yang ditulis pada google colaboratory, kode python dibuat menggunakan algoritma SSIM (Structural Similarity Index Measure) mampu mendeteksi perubahan image sequence pada setiap pikselnya. Hasil yang didapatkan dari kedua image sequence tersebut kemudian dilakukan perbandingan untuk mendapatkan perbedaan image sequence sebelum revisi dengan image sesudah revisi, dan akan diketahui dimana letak perbedaan image sequence tersebut.

#### 3.4.3.1 Pengujian

Pengujian dilakukan dengan tujuan untuk mengetahui tingkat akurasi deteksi perbedaan animasi 2 dimensi dengan algoritma SSIM. Pada proses uji akan diskenariokan dengan kondisi video shot animasi revisi berupa penambahan objek atau line yang sudah dilihat seksama secara human visual sistem diketahui dimana letak perbedaannya, kemudian skenario perbandingan shot yang sama, berikutnya shot yang dibandingkan benar-benar berbeda secara human visual system.

Tabel 3.1 Rancangan Pengujian

	Video shot Animasi	Video shot Animasi Revisi
	Video Shot Animasi	Video Shot Animasi Revisi
Konversi	... ... ...	... ... ...
Compare		
Nilai SSIM	F0 = ... F1 = ... F2 = ... dst	F3 = ... F4 = ... F5 = ... dst
	Penjelasan mengenai perbandingan nilai piksel dari hasil SSIM image sequence yang sudah dilakukan proses analisis	
Letak Perbedaan	Image	Image
	Penjelasan mengenai lokasi atau titik perbedaan yang digambarkan dengan kotak batasan dan Penjelasan mengenai visual perbedaan kontur image sequence yang didapatkan dari proses pencarian kontur perbedaan	
Perbedaan Gambar	Image	Image

## **BAB IV**

### **HASIL PENELITIAN DAN PEMBAHASAN**

#### **4.1 Gambaran Umum Obyek Penelitian**

Pada penelitian ini penulis menggunakan obyek penelitian berupa shot animasi sebelum revisi dan sesudah revisi dari project milik MSV Studio. Deteksi perbedaan shot animasi yang akan analisis adalah mempunyai rentang frame yang sama agar dapat dibandingkan dan dianalisis pola perubahan animasi antara shot sebelum dan sesudah revisi, selanjutnya akan ditampilkan secara visual dimana letak perbedaannya dan visual kontur perbedaan image nya. Menggunakan Google Colaboratory sebagai tempat melakukan eksperimen olah data, Google Colab merupakan salah satu produk Google berbasis cloud yang dapat digunakan secara gratis. Bahasa pemrograman yang dipakai sebagai coding environment pada Google Colab adalah Python. Implementasi dataset yang akan diproses adalah dua data shot berupa video key atau in between animasi sebelum revisi dan sesudah revisi dengan format MOV. Dengan melakukan proses beberapa tahapan dan fungsi yang ada di code python pada google colab, dilakukan running dari google colab yang akan menghasilkan nilai SSIM sehingga dapat berfungsi untuk mendeteksi perbedaan struktur gambar pada image yang diuji.

#### **4.2 Analisa Algoritma SSIM**

Persamaan image adalah aspek paling dasar dari banyak masalah dalam computer vision, fitur-fitur ini dapat digunakan untuk mengukur persamaan image terkait kualitas sebuah gambar atau mengukur penurunan kualitas sebuah gambar

(degradasi) yang bisa diakibatkan oleh kompresi data atau kehilangan data pada saat proses render image. SSIM dapat digunakan untuk membandingkan dua image dengan cara melihat hasil dari SSIM selanjutnya dengan binarisasi image dan ambang batas, kita dapat mendeteksi perbedaan image. Berikut ini adalah tahapan-tahapan utama perhitungan yang digunakan untuk menentukan perbedaan image :

1. Membaca image dalam bentuk grayscale : Tahap pertama analisis komputasi yang dilakukan adalah mengubah image yang dibandingkan menjadi grayscale untuk mengurangi kedalaman warna, mempercepat komputasi dan memaksimalkan kualitas structural image yang terdiri dari tiga aspek : kecerahan, kontras, dan kesamaan struktur
2. Menghitung Structural Similarity Index kedua image : dari hasil komputasi grayscale kemudian nilai SSIM dihitung menggunakan rumus algoritma SSIM, dan semakin besar nilai SSIM, semakin mirip informasi persamaan gambar. Semakin kecil nilai SSIM maka semakin besar perbedaannya
3. Menentukan ambang batas perbedaan image : pada tahap ini kedua image akan diubah ditentukan ambang batas untuk menghasilkan image perbedaan yang konsisten
4. Menandai letak perbedaan image : dari nilai ambang batas kemudian mencari kontur dari image untuk memperjelas ROI (Region of Interest) dari image yang telah dilakukan revisi

### 4.3 Analisa Fungsi Google Colab Pemrograman Python dengan Algoritma

#### SSIM

Pada source code python google colab Algoritma SSIM, terdapat tahapan atau fungsi secara lebih detail bagaimana proses dari awal sampai mendapatkan hasil dalam deteksi perbedaan shot video animasi yang dilakukan, diantaranya :

1. Mengkoneksikan coding environment dengan meminta izin akses di google drive sebagai media penyimpanan shot video animasi

```
!apt-get install -y -qq software-properties-common  
python-software-properties module-init-tools  
!add-apt-repository -y ppa:alessandro-strada/ppa  
2>&1 > /dev/null  
!apt-get update -qq 2>&1 > /dev/null  
!apt-get -y install -qq google-drive-ocamlfuse  
fuse  
from google.colab import auth  
auth.authenticate_user()  
from oauth2client.client import GoogleCredentials  
creds =  
GoogleCredentials.get_application_default()  
import getpass  
!google-drive-ocamlfuse -headless -  
id={creds.client_id} -secret={creds.client_secret}  
< /dev/null 2>&1 | grep URL  
vcode = getpass.getpass()
```

- ```
!echo $(vcode) | google-drive-ocamlfuse -headless -  
id={creds.client_id} -secret={creds.client_secret}
```
2. Melakukan mounting ke google drive dan mengubah folder aktif ke google drive

```
!mkdir -p drive  
!google-drive-ocamlfuse drive  
  
import os  
  
os.chdir("/content/drive/THESIS")
```
  3. Import visualisasi data dengan menggunakan library matplotlib

```
from matplotlib import pyplot as plt
```
  4. Import library yang digunakan untuk image processing yaitu melakukan komputasi rata-rata indeks kesamaan structural antara dua gambar

```
from skimage.metrics import structural_similarity
```
  5. Import library untuk fungsi image processing untuk translation, rotasi, resize dan skeletonization

```
import imutils
```
  6. Import library untuk fungsi image processing secara real time

```
import cv2
```
  7. Import modul untuk python berinteraksi langsung dengan sistem operasi

```
import os
```
  8. testVideoPath, setelah import modul-modul yang diperlukan selanjutnya adalah membuat fungsi untuk input file shot animasi sebelum revisi dan sesudah revisi

```
testVideoPath = "/SourceFile/*revisi*.mov"  
testVideo2Path = "/SourceFile/*sebelum revisi*.mov"
```

9. Setelah menginputkan shot video animasi kemudian membuat folder penyimpanan terlebih dahulu untuk menyimpan hasil dari konversi dari video menjadi image sequence

```
image_name_template = os.path.join(image_folder, "frame_{:05}.jpg")
```

10. Setelah terdapat folder penyimpanan proses selanjutnya adalah membuat fungsi untuk memastikan bahwa belum terdapat file image sequence pada folder yang sudah dibuat sebelumnya

```
video1FramesPath = get_image_folder(video1Path)  
  
if not os.path.isdir(video1FramesPath):  
  
    image_folder1 = get_image_folder(video1Path)  
  
    os.makedirs(image_folder1)  
  
    directory1 = os.listdir(video1FramesPath)  
  
    if len(directory1) == 0:
```

11. Proses selanjutnya adalah untuk membuat fungsi konversi data shot berupa video yang sudah diinputkan sebelumnya menjadi image sequence kemudian hasilnya akan disimpan pada folder yang telah dibuat sebelumnya pada nomor 9

```
cam = cv2.VideoCapture(src_mov)
```

12. Kemudian setelah mendapatkan source video menjalankan fungsi untuk membaca file video dalam bentuk frame by frame

```
frame = cam.read()
```

13. Selanjutnya membuat fungsi untuk menyimpan file image yang telah di konversi dari shot video

```
imwrite (name, frame)
```

14. Setelah dilakukan konversi shot video animasi menjadi image sequence adalah mengurutkan file image sequence agar dapat dibandingkan antara image sequence sesudah revisi dan sebelum revisi

```
jml_gambar = 0  
  
for f1BaseName, f2BaseName in  
zip(sorted(os.listdir(video1FramesPath)),  
sorted(os.listdir(video2FramesPath))):
```

15. Proses selanjutnya adalah membaca file image dan format image yang telah diconvert sebelumnya

```
imageA = cv2.imread
```

16. Kemudian menjalankan fungsi untuk mengkonversi file image menjadi grayscale atau keabu-abuan untuk mengurangi kedalaman warna dan mempercepat komputasi

```
grayA = cv2.cvtColor(imageA, cv2.COLOR_BGR2GRAY)
```

```
grayB = cv2.cvtColor(imageB, cv2.COLOR_BGR2GRAY)
```

17. Langkah selanjutnya adalah memanggil fungsi structural\_similarity, fungsi utama dalam penelitian ini untuk mengambil nilai dan perbedaan kedua gambar yang dibandingkan. Diff berisi perbedaan image sesungguhnya antara dua input image yang akan divisualisasikan yang

18. diwakili data bertipe floating point kemudian dikonversi menjadi array 8-bit unsigned integer sebelum diproses lebih lanjut dengan OpenCV

```
score, diff = structural_similarity(grayA, grayB,  
full=True)  
  
diff = (diff * 255).astype("uint8")
```

19. Proses berikutnya memanggil threshold otsu, fungsi untuk menentukan ambang batas perbedaan image yang didapatkan dari nilai perbedaan image

```
thresh = cv2.threshold(diff, 0, 255,  
cv2.THRESH_BINARY_INV | cv2.THRESH_OTSU)[1]
```

20. Kemudian memanggil fungsi findcontour untuk mendapatkan kontur atau struktur dari binary image nilai threshold yang sudah di komputasi sebelumnya dan dilakukan fungsi perulangan untuk menggambar sebuah kotak batasan untuk mengetahui letak perbedaan image

```
cnts = cv2.findContours(thresh.copy(),  
cv2.RETR_EXTERNAL, cv2.CHAIN_APPROX_SIMPLE)  
  
cnts = imutils.grab_contours(cnts)  
  
for c in cnts:  
  
    (x, y, w, h) = cv2.boundingRect(c)  
  
    cv2.rectangle(imageA, (x, y), (x + w, y +  
h), (0, 0, 255), 2)  
  
    cv2.rectangle(imageB, (x, y), (x + w, y +  
h), (0, 0, 255), 2)
```

21. Proses selanjutnya setelah fungsi untuk mendapatkan kontur dan kotak batasan lokasi deteksi, hasil gambar yang sudah dikomputasi sebelumnya akan disimpan untuk mengungkapkan ROI (Region of interest) dari image yang telah dibandingkan untuk validasi apakah sudah dilakukan revisi sesuai arahan dari director

```
simpan1 = cv2.imwrite(H1, cv2.cvtColor(imageA,  
cv2.COLOR_BGR2RGB))  
  
savel = cv2.imwrite(T1, thresh)
```

22. fungsi terakhir yang dijalankan adalah fungsi time yang digunakan untuk membaca waktu berapa lama mulai dari proses konversi video ke image sequence sampai proses menyimpan hasil deteksi perbedaan image, kecepatan proses dari fungsi terakhir ini ditentukan juga oleh bandwith internet yang tersedia

```
import time
```

Pengujian pada algoritma SSIM melakukan deteksi perbedaan shot video animasi sebelum dan sesudah revisi sehingga menghasilkan output image yang sudah diproses oleh kode python di google colab pada algoritma SSIM. Image yang sudah diubah atau belum diubah dari shot video animasi sesudah revisi dapat terlihat dari perhitungan perulangan kontur dengan ditandai kotak berwarna biru pada setiap image dengan fungsi cv2.rectangle pada line atau garis-garis animasi yang berbeda.

#### 4.4 Representasi Data SSIM dan Contur

Data yang akan dihitung adalah dua buah citra 3-bit sebagai berikut :

A

|   |   |
|---|---|
| 6 | 4 |
| 4 | 2 |

B

|   |   |
|---|---|
| 3 | 4 |
| 2 | 3 |

Nilai rata-rata dari seluruh piksel citra (elemen matrik)

$$\mu = \left( \frac{1}{MN} \sum_{i=1}^M \sum_{j=1}^N A_{(i,j)} \right)$$

Dimana  $A_{(i,j)}$  adalah nilai piksel citra A pada baris i dan kolom j, M dan N adalah ukuran baris dan kolom citra

$$\begin{aligned}\mu_A &= \frac{6+4+4+2}{2 \times 2} & \mu_B &= \frac{3+4+2+3}{2 \times 2} \\ &= \frac{16}{4} & &= \frac{12}{4} \\ &= 4 & &= 3\end{aligned}$$

Pada citra, variance digunakan untuk mengukur tingkat variasi dari nilai-nilai piksel pada sebuah citra

$$\begin{aligned}\sigma^2 &= \frac{1}{(MN) - 1} \sum_{i=1}^M \sum_{j=1}^N (A_{(i,j)} - \mu)^2 \\ &= \frac{2^2 + 0^2 + 0^2 + (-2)^2}{4 - 1} \\ &= \frac{4 + 0 + 0 + 4}{3} \\ A &= \frac{8}{3} \\ &= 2,667\end{aligned}$$

$$\sigma_B^2 = \frac{(3-3)^2 + (4-3)^2 + (2-3)^2 + (3-3)^2}{(2 \times 2) - 1}$$

$$B = \frac{0+1+1+0}{4-1}$$

$$= \frac{2}{3}$$

$$= 0,667$$

Covariance adalah ukuran variabilitas gabungan dari dua buah variabel

$$\sigma_{AB} = \frac{1}{(MN)-1} \sum_{i=1}^M \sum_{j=1}^{N^2} (A_{(i,j)} - \mu_A)(B_{(i,j)} - \mu_B)$$

Dimana  $\mu_A$  dan  $\mu_B$  adalah mean dari citra A dan B

$$\begin{aligned}\sigma_{AB} &= \frac{(6-4) \times (3-3) + (4-4) \times (4-3) + \\ &\quad (4-4) \times (2-3) + (2-4) \times (3-3)}{(2 \times 2) - 1} \\ &= \frac{(-2) \times 0 + 0 \times 1 + 0 \times (-1) + (-2) \times 0}{4-1} \\ &= \frac{0+0+0+0}{3} \\ &= 0\end{aligned}$$

C adalah konstanta

$$C_1 = (K_1 L)^2, C_2 = (K_2 L)^2$$

L adalah dynamic range citra ( $2^{80} - 1$ ) dengan nilai default  $K_1 = 0.01$  dan  $K_2 = 0.03$

$$\begin{aligned}c_1 &= (0.01 \times 7)^2 \\ &= 0,005\end{aligned}$$

$$\begin{aligned}c_2 &= (0.03 \times 7)^2 \\ &= 0,044\end{aligned}$$

$$SSIM(A, B) = \frac{(2\mu_A\mu_B + c_1)(2\sigma_{AB} + c_2)}{(\mu_A^2 + \mu_B^2 + c_1)(\sigma_A^2 + \sigma_B^2 + c_2)}$$

$$\begin{aligned}
 SSIM(A, B) &= \frac{(2 \times 4 \times 3 + 0,005) \times (2 \times 0 + 0,044)}{(4^2 + 3^2 + 0,005) \times (2,667 + 0,667 + 0,044)} \\
 &= \frac{24,005 \times 0,044}{25,005 \times 3,378} \\
 &= \frac{1,056}{84,467} \\
 &= 0,013
 \end{aligned}$$

Dalam pencarian kontur ketika sudah mendapatkan nilai persamaan SSIM, akan dicari nilai perbedaan image dari nilai persamaan = 1. Jika rata-rata nilai SSIM = 0.4 maka nilai perbedaannya adalah  $1 - 0.4 = 0.6$  dengan nilai floating point. Dari nilai tersebut kemudian dikonversi ke dalam biner agar dapat diolah oleh openCV.

$$\begin{aligned}
 0.6 \times 2 &= 1.2 \rightarrow 1.2 > 1 \rightarrow 1.2 - 1 = 0.2 \\
 0.2 \times 2 &= 0.4 \rightarrow 0.4 < 1 \rightarrow 0.4 - 0 = 0.4 \\
 0.4 \times 2 &= 0.8 \rightarrow 0.8 < 1 \rightarrow 0.8 - 0 = 0.8 \\
 0.8 \times 2 &= 1.6 \rightarrow 1.6 > 1 \rightarrow 1.6 - 1 = 0.6 \\
 0.6 \times 2 &= 1.2 \rightarrow 1.2 > 1 \rightarrow 1.2 - 1 = 0.2 \\
 \text{Selesai karena sudah looping sehingga} \\
 0.6 &= 0.10011_2
 \end{aligned}$$

Nilai ambang batas (T) pada threshold otsu adalah 0.6. Jika nilai SSIM 0.4 = 0 dan nilai perbedaan image 0.6 = 1 maka jika Nilai = 0 citra berwarna putih dan nilai = 1 maka citra berwarna hitam.

#### 4.5 Hasil Pengujian

Untuk memverifikasi validitas dan akurasi algoritma deteksi perbedaan shot video, peneliti melakukan percobaan pengujian menggunakan data test. Data test yang digunakan adalah data shot video animasi revisi berupa penambahan objek atau line yang sudah dilihat seksama secara human visual sistem diketahui dimana letak perbedaannya. Apabila nilai SSIM sama dengan satu berarti dua

image yang dibandingkan tersebut tidak mempunyai perbedaan atau dua image tersebut sama baik dari aspek kecerahan, kontras dan kesamaan struktur. Apabila nilai SSIM kurang dari satu maka dipastikan terdapat perbedaan nilai dari ketiga aspek tersebut. Pada tabel 4.1, 4.2, 4.3, 4.4, 4.5, 4.6 dan 4.7 berikut ini adalah sampel data video shot animasi berformat MOV codec Animation dengan resolusi 2048 x 872 frame rate 24 fps yang sudah dikonversi ke image sequence dengan format JPG/JPEG. Pada tabel 4.1 terdapat 36 image yang akan dibandingkan dan pada tabel 4.3 terdapat 96 image yang akan dibandingkan. Kemudian pada tabel 4.5 dilakukan percobaan dengan kondisi apabila shot yang dibandingkan benar-benar berbeda secara human visual system. Selanjutnya pada tabel 4.6 dan 4.7 dilakukan percobaan dengan melakukan perubahan pada shot dengan masing masing pengujian pada tabel 4.6 5 frame diawal dipindah ke akhir frame dan pada tabel 4.7, 10 frame awal dipindahkan ke akhir frame untuk mendapatkan hasil SSIM agar dapat dianalisis. tabel Pada Gambar 4.1, 4.2, 4.3, 4.4, 4.5, 4.6 dan 4.7 menunjukkan perubahan nilai SSIM yang dapat dianalisis dalam mengetahui pola perubahan anomali setiap shot animasi yang akan dilakukan pengujian.

Pada penelitian ini pengujian akurasi algoritma deteksi perbedaan shot animasi juga dilakukan oleh salah satu animator senior MSV Studio bernama Afifiuddin Ahmadi agar memperoleh kesesuaian antara hasil deteksi perubahan yang ditunjukkan oleh tools deteksi perbedaan shot animasi ini dengan apa yang sudah dilakukan oleh animator yang akan ditunjukkan pada tabel 4.8



Gambar 4.1 Perubahan nilai SSIM pada setiap frame

Pada Gambar 4.1 terlihat bahwa terdapat perubahan nilai SSIM pada setiap frame dengan rentang 0,998-0,997, terlihat juga nilai SSIM dari frame 0 sampai frame 35 mengalami tren penurunan. Artinya bahwa perubahan gambar pada shot animasi yang dibandingkan antara frame 0 sampai frame 35 semakin besar. Pada frame 26 dan frame 27 terlihat adanya peningkatan nilai SSIM, sehingga dapat dianalisis bahwa terdapat perubahan animasi lebih sedikit daripada frame sebelumnya dan perubahan frame 26 dan 27 nilainya hampir sama dengan frame 20 dan 21 sehingga dapat dijelaskan bahwa pada frame tersebut perubahan pergerakan animasinya hampir sama. Kemudian pada frame 28 perubahan nilai stabil sampai dengan frame 31 dan tren penurunan nilai tetap stabil. Pada frame 32 sampai frame 35 terlihat pada kurva bahwa nilai SSIM sama, ini menunjukkan bahwa memang terdapat perbedaan gerakan animasi dari animasi sebelum revisi dan sesudah revisi akan tetapi pada frame tersebut tidak ada pergerakan animasi. Pada kurva juga terlihat bahwa setiap 2 frame nilai SSIM nya sama, ini dapat

menunjukkan bahwa pada shot animasi yang dibandingkan menerapkan teknik animasi on two yaitu dalam setiap 2 frame image terdapat 1 pergerakan animasi yang sama. Nilai persamaan image merupakan nilai standar jika image pada shot animasi yang dibandingkan adalah sama.

Tabel 4.1 Hasil deteksi perbedaan shot video animasi

AKT\_ANM\_SC11\_SH07\_IB\_FU1 dengan AKT\_ANM\_SC11\_SH07\_IB\_TK1  
menggunakan algoritma SSIM

|            | Video shot Animasi                                                                                                                                                                                                                                                                                                                                                                                                                                                                                         | Video shot Animasi Revisi                                                                                                                                                                                                                                                                                                                                                                                                                                                                                            |
|------------|------------------------------------------------------------------------------------------------------------------------------------------------------------------------------------------------------------------------------------------------------------------------------------------------------------------------------------------------------------------------------------------------------------------------------------------------------------------------------------------------------------|----------------------------------------------------------------------------------------------------------------------------------------------------------------------------------------------------------------------------------------------------------------------------------------------------------------------------------------------------------------------------------------------------------------------------------------------------------------------------------------------------------------------|
|            | <br>AKT_ANM_SC11_SH07_IB_FU1.jpg                                                                                                                                                                                                                                                                                                                                                                                          | <br>AKT_ANM_SC11_SH07_IB_TK1.jpg                                                                                                                                                                                                                                                                                                                                                                                                    |
| Konversi   | Creating.../content/...AKT_ANM_SC11_SH07_IB_FU1/frame_00000.jpg - frame_00035.jpg                                                                                                                                                                                                                                                                                                                                                                                                                          | Creating.../content/...AKT_ANM_SC11_SH07_IB_TK1/frame_00000.jpg - frame_00035.jpg                                                                                                                                                                                                                                                                                                                                                                                                                                    |
| Nilai SSIM | F0 = 0.9980035127067739<br>F1 = 0.9980035127067739<br>F2 = 0.9978648536469681<br>F3 = 0.9978648536469681<br>F4 = 0.9977301313821479<br>F5 = 0.9977301313821479<br>F6 = 0.9976584366021983<br>F7 = 0.9976584366021983<br>F8 = 0.9976765077095374<br>F9 = 0.9976765077095374<br>F10 = 0.9976072235960287<br>F11 = 0.9976072235960287<br>F12 = 0.9975399987310496<br>F13 = 0.9975399987310496<br>F14 = 0.9974373630064908<br>F15 = 0.9974373630064908<br>F16 = 0.9973644659619589<br>F17 = 0.9973644659619589 | F18 = 0.9973861481950206<br>F19 = 0.9973861481950206<br>F20 = 0.9974226934768606<br>F21 = 0.9974226934768606<br>F22 = 0.9973086085700118<br>F23 = 0.9973086085700118<br>F24 = 0.9972631226128572<br>F25 = 0.9972631226128572<br>F26 = 0.9974652178189926<br>F27 = 0.9974652178189926<br>F28 = 0.9970780540897656<br>F29 = 0.9970780540897656<br>F30 = 0.9970300553668227<br>F31 = 0.9970300553668227<br>F32 = 0.9971248799418967<br>F33 = 0.9971248799418967<br>F34 = 0.9971248799418967<br>F35 = 0.9971248799418967 |

Tabel 4.1 Hasil deteksi perbedaan shot video animasi

AKT\_ANM\_SC11\_SH07\_IB\_FU1 dengan AKT\_ANM\_SC11\_SH07\_IB\_TK1

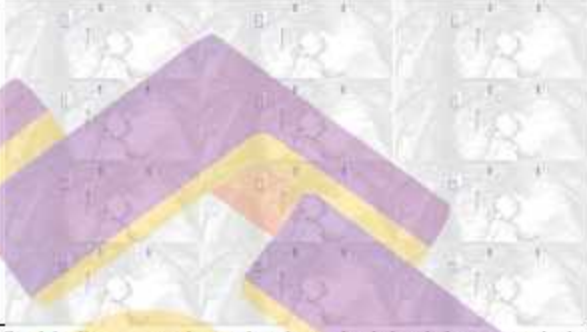
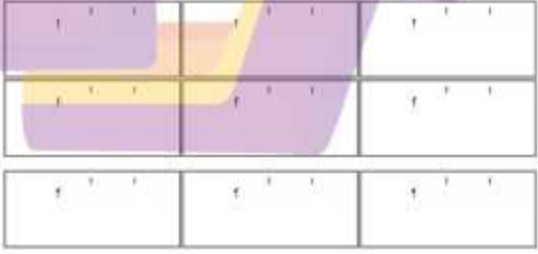
menggunakan algoritma SSIM (lanjutan)

|                 |                                                                                                                                                                                                                                                                                                                                                                                                                                                                                                                                          |
|-----------------|------------------------------------------------------------------------------------------------------------------------------------------------------------------------------------------------------------------------------------------------------------------------------------------------------------------------------------------------------------------------------------------------------------------------------------------------------------------------------------------------------------------------------------------|
|                 | Pada nilai SSIM terlihat tidak ada nilai 1 pada frame 0 sampai dengan frame 35, terlihat nilai SSIM antara 0.997-0.998 artinya dari nilai SSIM tersebut dapat dijadikan acuan sebagai parameter awal bahwa terdapat perbedaan yang sangat kecil pada 2 image yang dibandingkan, dari nilai tersebut dapat dianalisis lebih lanjut pada frame yang dibandingkan sehingga perbedaan video shot animasi dengan video shot animasi revisi dapat dibuktikan pada proses selanjutnya untuk mendeteksi dimanakah letak atau posisi perbedaannya |
| Letak Perbedaan |                                                                                                                                                                                                                                                                                                                                                                                                                                                                                                                                          |

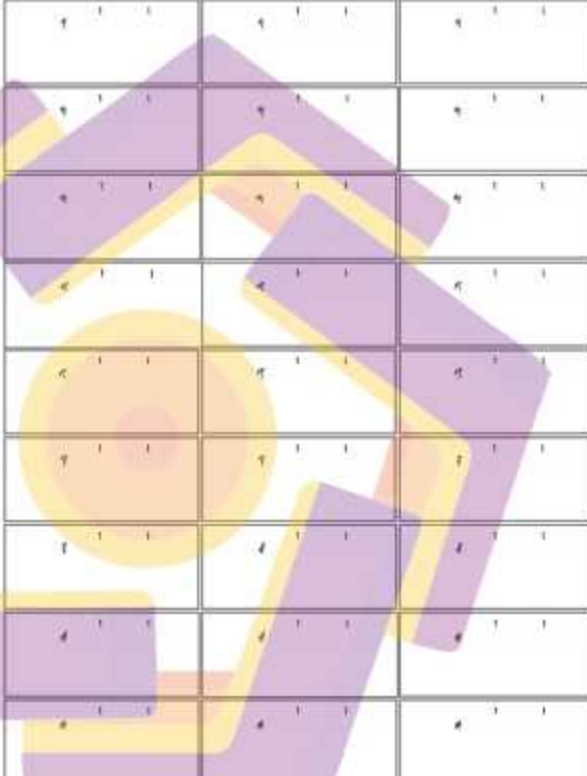
Tabel 4.1 Hasil deteksi perbedaan shot video animasi

AKT\_ANM\_SC11\_SH07\_IB\_FU1 dengan AKT\_ANM\_SC11\_SH07\_IB\_TK1

menggunakan algoritma SSIM (lanjutan)

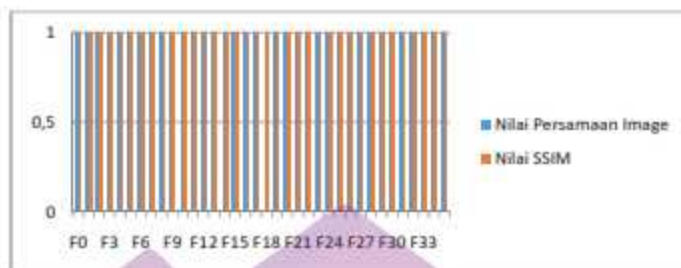
|  |                                                                                                                                                                                                                                                                                                                                                                                                                                                                                                                                                                                                                                                          |
|--|----------------------------------------------------------------------------------------------------------------------------------------------------------------------------------------------------------------------------------------------------------------------------------------------------------------------------------------------------------------------------------------------------------------------------------------------------------------------------------------------------------------------------------------------------------------------------------------------------------------------------------------------------------|
|  |                                                                                                                                                                                                                                                                                                                                                                                                                                                                                                                                                                        |
|  | <p>Setelah diproses untuk mendapatkan sebuah kotak batasan perbedaan gambar terdeteksi bahwa terdapat perbedaan gambar antara video shot animasi dengan video shot animasi revisi yang digambarkan dengan kotak batasan berwarna biru. Kemudian dari nilai SSIM diproses kembali untuk mengetahui secara visual secara lebih jelas lagi pada bagian mana pada image yang memiliki perbedaan kontur tersebut berada dengan memberikan kontur pada image yang berbeda yaitu melakukan penulangan pada kontur untuk mendapatkan visual gambar yang berbeda tersebut</p>  |

Tabel 4.1 Hasil deteksi perbedaan shot video animasi  
**AKT\_ANM\_SC11\_SH07\_IB\_FU1** dengan **AKT\_ANM\_SC11\_SH07\_IB\_TK1**  
menggunakan algoritma SSIM (lanjutan)

|                  |                                                                                     |   |   |
|------------------|-------------------------------------------------------------------------------------|---|---|
| Perbedaan Gambar |  |   |   |
|                  | 1                                                                                   | 1 | 1 |
|                  | 1                                                                                   | 1 | 1 |
|                  | 1                                                                                   | 1 | 1 |
|                  | 1                                                                                   | 1 | 1 |
|                  | 1                                                                                   | 1 | 1 |
|                  | 1                                                                                   | 1 | 1 |
|                  | 1                                                                                   | 1 | 1 |

Pada visual kontur terlihat bahwa terdapat perubahan gerak ekor dan penambahan tali pada shot ini sehingga dapat dijadikan validasi apakah sudah benar hasil revisi yang sudah dikerjakan dengan catatan director ataupun supervisor

Pada video shot animasi berikut dilakukan pengujian kembali untuk persamaan shot jika shot animasi yang dibandingkan sama.



Gambar 4.2 Persamaan nilai image

Pada gambar 4.2 terlihat bahwa nilai standar persamaan image dengan nilai hasil pengujian mendapatkan jumlah yang sama, artinya shot yang dibandingkan tidak ada perubahan pergerakan objek atau karakter animasi.

Tabel 4.2 Hasil deteksi perbedaan shot video animasi

AKT\_ANM\_SC11\_SH07\_IB\_TK1 dengan

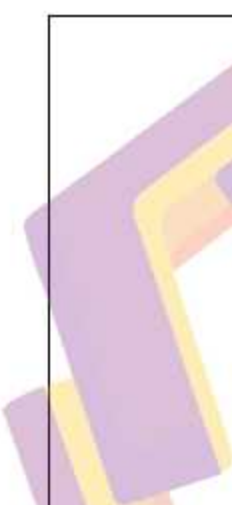
AKT\_ANM\_SC11\_SH07\_IB\_TK1\_FU2 menggunakan algoritma SSIM

|            | Video shot Animasi                                                                           | Video shot Animasi Revisi                                                                            |
|------------|----------------------------------------------------------------------------------------------|------------------------------------------------------------------------------------------------------|
|            |                                                                                              |                                                                                                      |
| Konversi   | Creating.../content/...AKT_ANM_SC11_SH07_IB_TK1/frame_00000.jpg - frame_00035.jpg            | Creating.../content/...AKT_ANM_SC11_SH07_IB_TK1_FU2/frame_00000.jpg - frame_00035.jpg                |
| Compare    |                                                                                              |                                                                                                      |
| Nilai SSIM | F0 = 1.0<br>F1 = 1.0<br>F2 = 1.0<br>F3 = 1.0<br>F4 = 1.0<br>F5 = 1.0<br>F6 = 1.0<br>F7 = 1.0 | F18 = 1.0<br>F19 = 1.0<br>F20 = 1.0<br>F21 = 1.0<br>F22 = 1.0<br>F23 = 1.0<br>F24 = 1.0<br>F25 = 1.0 |

Tabel 4.2 Hasil deteksi perbedaan shot video animasi  
**AKT\_ANM\_SC11\_SH07\_IB\_TK1 dengan**  
**AKT\_ANM\_SC11\_SH07\_IB\_TK1\_FU2 menggunakan algoritma SSIM**  
(Lanjutan)

|                 |                                                                                                                                                                                                                                                                                                                                                                                                                       |           |
|-----------------|-----------------------------------------------------------------------------------------------------------------------------------------------------------------------------------------------------------------------------------------------------------------------------------------------------------------------------------------------------------------------------------------------------------------------|-----------|
|                 | F8 = 1.0                                                                                                                                                                                                                                                                                                                                                                                                              | F26 = 1.0 |
|                 | F9 = 1.0                                                                                                                                                                                                                                                                                                                                                                                                              | F27 = 1.0 |
|                 | F10 = 1.0                                                                                                                                                                                                                                                                                                                                                                                                             | F28 = 1.0 |
|                 | F11 = 1.0                                                                                                                                                                                                                                                                                                                                                                                                             | F29 = 1.0 |
|                 | F12 = 1.0                                                                                                                                                                                                                                                                                                                                                                                                             | F30 = 1.0 |
|                 | F13 = 1.0                                                                                                                                                                                                                                                                                                                                                                                                             | F31 = 1.0 |
|                 | F14 = 1.0                                                                                                                                                                                                                                                                                                                                                                                                             | F32 = 1.0 |
|                 | F15 = 1.0                                                                                                                                                                                                                                                                                                                                                                                                             | F33 = 1.0 |
|                 | F16 = 1.0                                                                                                                                                                                                                                                                                                                                                                                                             | F34 = 1.0 |
|                 | F17 = 1.0                                                                                                                                                                                                                                                                                                                                                                                                             | F35 = 1.0 |
| Letak Perbedaan | <p>Pada nilai SSIM menunjukkan nilai 1 pada frame 0 sampai dengan frame 35, artinya tidak ada perubahan image antara shot sebelum revisi dan sesudah revisi. Karena image sama antara sebelum dan sesudah revisi maka letak perbedaan tidak dapat dibuktikan, terlihat pada hasil visual yang ditunjukkan pada tabel di bawah</p>  |           |

Tabel 4.2 Hasil deteksi perbedaan shot video animasi  
AKT\_ANM\_SC11\_SH07\_IB\_TK1 dengan  
AKT\_ANM\_SC11\_SH07\_IB\_TK1\_FU2 menggunakan algoritma SSIM  
(Lanjutan)

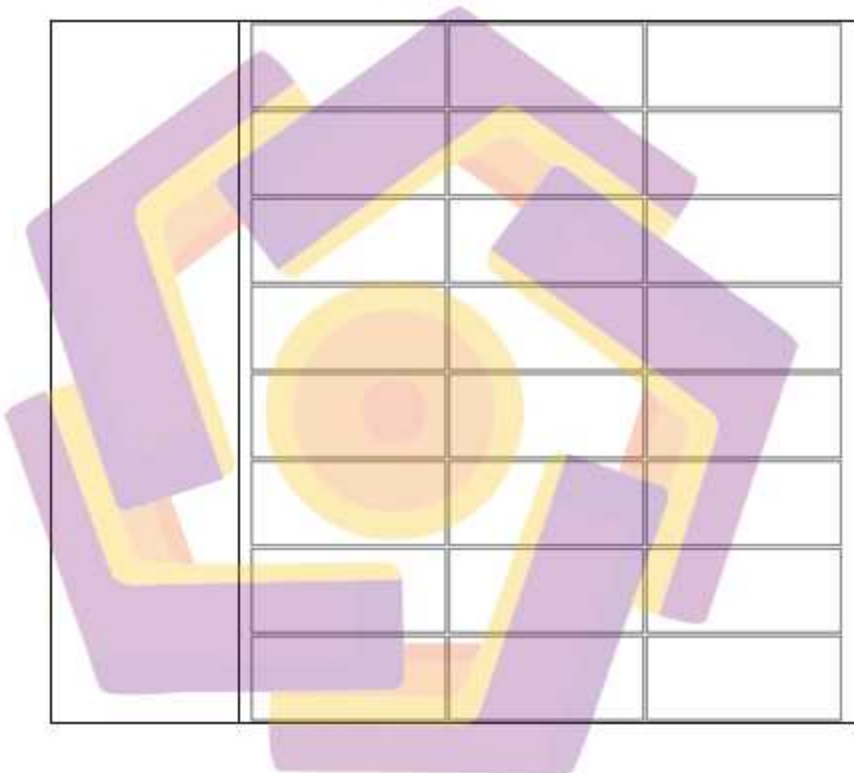
|                  |                                                                                   |                                                                                                                              |
|------------------|-----------------------------------------------------------------------------------|------------------------------------------------------------------------------------------------------------------------------|
|                  |  |                                            |
|                  |                                                                                   | Karena shot sebelum dan sesudah direvisi mempunyai nilai SSIM = 1 maka kontur perbedaannya tidak akan terlihat secara visual |
| Perbedaan Gambar |                                                                                   |                                           |

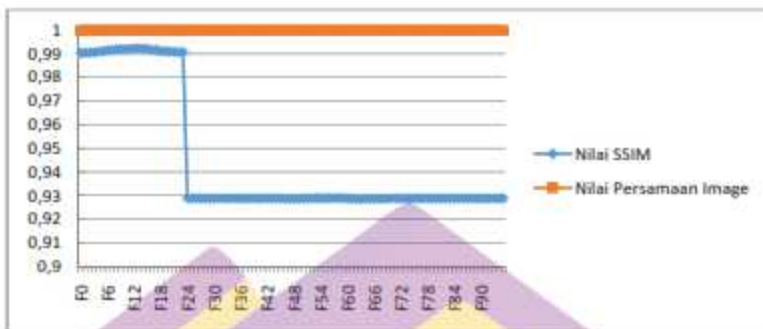
Tabel 4.2 Hasil deteksi perbedaan shot video animasi

AKT\_ANM\_SC11\_SH07\_IB\_TK1 dengan

AKT\_ANM\_SC11\_SH07\_IB\_TK1\_FU2 menggunakan algoritma SSIM

(Lanjutan)





Gambar 4.3 Perubahan nilai SSIM pada setiap frame

Pada Gambar 4.3 dilakukan pengujian dengan shot animasi antara AKT\_ANM\_SC14\_SH14\_FU2 dengan AKT\_ANM\_SC14\_SH14\_FU1 dan pada hasil visual image yang disajikan pada tabel 4.3 terdapat penambahan character diam pada 3 tempat dan mulai frame 24 terdapat perubahan pergerakan character animasi foreground. Nilai SSIM menunjukkan perubahan pada frame 0 sampai frame 95. Pada frame 0 sampai frame 23 menunjukkan nilai antara 0.990-0.992 artinya ada perubahan kecil pada rentang frame tersebut atau dapat dikatakan juga direntang frame ini terdapat perubahan gerakan animasi atau ada penambahan character pada shot animasi, hal ini dapat dibuktikan nantinya setelah di komputasi lagi untuk mengetahui dimanakah letak posisi perbedaan pada shot animasi ini berdasarkan nilai SSIM. Pada keseluruhan frame shot ini juga menerapkan teknik on two animasi pada gerakannya, terlihat pada nilai SSIM setiap 2 frame mempunyai nilai yang sama. Batas toleransi pergerakan animasi pada nilai SSIM sebanyak 8 angka dibelakang koma, terlihat pada frame 0 sama dengan 0.990443082571903 dan frame 1 sama dengan 0.990443086015506, setelah angka 8 terdapat perubahan nilai tetapi pada image tidak terdapat

perubahan pergerakan animasi. Pada Frame 1 sampai 23 terlihat juga perubahan nilai SSIM, walaupun pada image, character yang bergerak tidak terdapat perubahan pergerakan animasi, akan tetapi character animasi yang bergerak melintasi character animasi yang diam sehingga menyebabkan adanya perubahan pada nilai SSIM. Pada frame 24 sampai frame 96 terdapat loncatan perubahan nilai yang signifikan sehingga dapat dikatakan pada frame tersebut terdapat perubahan pergerakan animasi yang banyak, kemudian juga terlihat tren yang stabil antara 0.9285-0.9288 setelah loncatan nilai yang signifikan sehingga dapat disimpulkan setelah perubahan image yang signifikan tersebut memang masih terdapat perubahan akan tetapi pola perubahan pergerakan cenderung sama dan stabil. Pada tabel 4.3 di visual image frame 64 sampai frame 71 terlihat tidak ada perubahan pergerakan animasi, akan tetapi pada image animasi yang dibandingkan masih terdapat pergerakan animasi character berlari sehingga pada rentang frame tersebut masih terdapat perubahan nilai SSIM. Pada frame 71 sampai 95 terlihat nilai SSIM sama tetapi tidak ada nilai SSIM yang bernilai 1 sehingga dapat dijelaskan bahwa memang terdapat perbedaan animasi pada rentang frame tersebut dengan image animasi yang dibandingkan akan tetapi nilai SSIM yang sama tersebut menunjukkan tidak adanya pergerakan animasi pada rentang frame image animasi ini.

Tabel 4.3 Hasil deteksi perbedaan shot video animasi  
**AKT\_ANM\_SC14\_SH14\_FU2** dengan **AKT\_ANM\_SC14\_SH14\_FU1**  
menggunakan algoritma SSIM

|            | Video shot Animasi                                                                                                                                                                                                                                                                                                                                                                                                                                                                                                                                                                                                                                        | Video shot Animasi Revisi                                                                                                                                                                                                                                                                                                                                                                                                                                                                                                                                                                                                                                            |
|------------|-----------------------------------------------------------------------------------------------------------------------------------------------------------------------------------------------------------------------------------------------------------------------------------------------------------------------------------------------------------------------------------------------------------------------------------------------------------------------------------------------------------------------------------------------------------------------------------------------------------------------------------------------------------|----------------------------------------------------------------------------------------------------------------------------------------------------------------------------------------------------------------------------------------------------------------------------------------------------------------------------------------------------------------------------------------------------------------------------------------------------------------------------------------------------------------------------------------------------------------------------------------------------------------------------------------------------------------------|
|            |                                                                                                                                                                                                                                                                                                                                                                                                                                                                                                                                                                                                                                                           |                                                                                                                                                                                                                                                                                                                                                                                                                                                                                                                                                                                                                                                                      |
| Konversi   | Creating ../content/...ANM_S<br>OL_SC14_SH14_FU2/frame_00000.jpg - frame_00095.jpg                                                                                                                                                                                                                                                                                                                                                                                                                                                                                                                                                                        | Creating ../content/...ANM_SOL_SC<br>14_SH14_FU1/frame_00000.jpg - frame_00095.jpg                                                                                                                                                                                                                                                                                                                                                                                                                                                                                                                                                                                   |
| Compare    |                                                                                                                                                                                                                                                                                                                                                                                                                                                                                                                                                                                                                                                           |                                                                                                                                                                                                                                                                                                                                                                                                                                                                                                                                                                                                                                                                      |
| Nilai SSIM | F0 = 0.990443082571903<br>F1 = 0.990443086015506<br>F2 = 0.990561165951146<br>F3 = 0.990561165951146<br>F4 = 0.991035196507379<br>F5 = 0.99103519650738<br>F6 = 0.991586188155875<br>F7 = 0.991586188155876<br>F8 = 0.991932069297444<br>F9 = 0.991932069297445<br>F10 = 0.992033939811282<br>F11 = 0.9920339398112819<br>F12 = 0.992319908165728<br>F13 = 0.992319908165727<br>F14 = 0.992213049694603<br>F15 = 0.992213049694602<br>F16 = 0.991636614736893<br>F17 = 0.991636614736893<br>F18 = 0.991167504810078<br>F19 = 0.991167504810078<br>F20 = 0.990932553330511<br>F21 = 0.99093255333051<br>F22 = 0.990780578717776<br>F23 = 0.990780578717777 | F48 = 0.928698352315029<br>F49 = 0.928698352315029<br>F50 = 0.928800255693358<br>F51 = 0.928800255693358<br>F52 = 0.928850713371569<br>F53 = 0.928850713371569<br>F54 = 0.928869942913794<br>F55 = 0.928869942913794<br>F56 = 0.928914220699829<br>F57 = 0.928914220699829<br>F58 = 0.928938871116102<br>F59 = 0.928938871116102<br>F60 = 0.928758172936770<br>F61 = 0.928758172936770<br>F62 = 0.928568139056129<br>F63 = 0.928568139056129<br>F64 = 0.928660526675367<br>F65 = 0.928660526675367<br>F66 = 0.928712741144823<br>F67 = 0.928712741144823<br>F68 = 0.928743292308225<br>F69 = 0.928743292308225<br>F70 = 0.928806460724449<br>F71 = 0.928806460724449 |

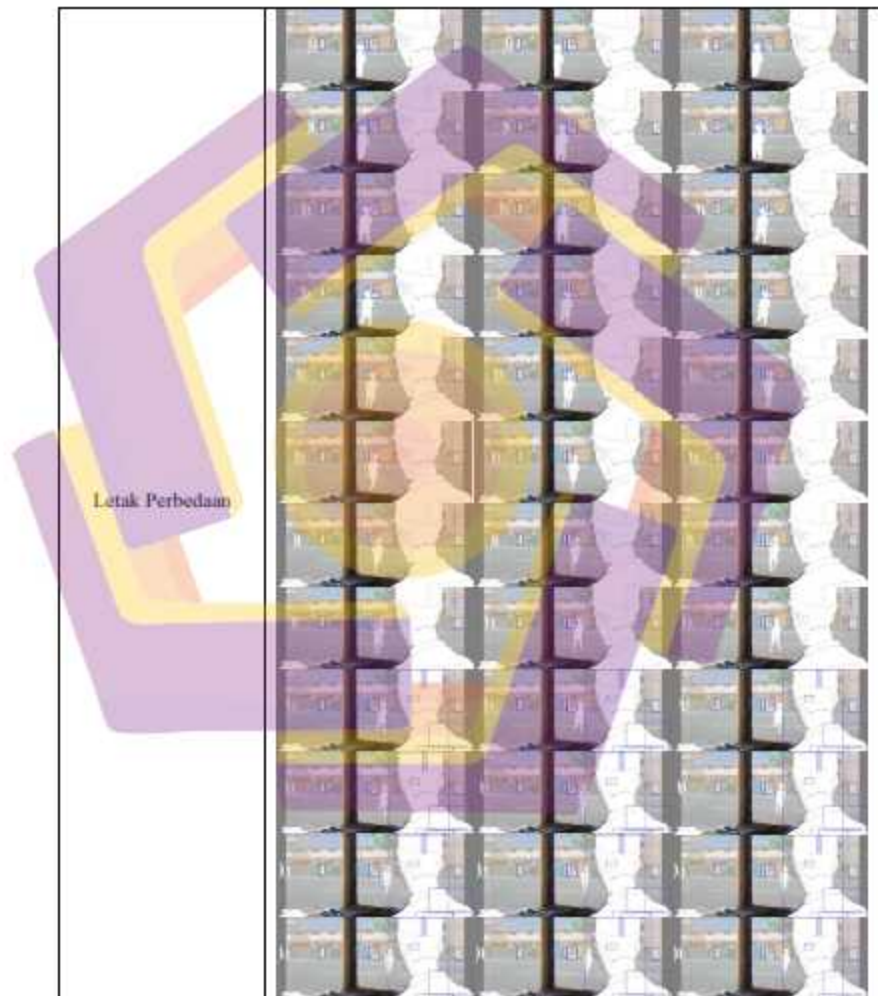
Tabel 4.3 Hasil deteksi perbedaan shot video animasi  
**AKT\_ANM\_SC14\_SH14\_FU2 dengan AKT\_ANM\_SC14\_SH14\_FU1**  
menggunakan algoritma SSIM (Lanjutan)

|                                                                                                                                                                                                                                                                                                                                                                                                                                                                                                                                                     |                         |
|-----------------------------------------------------------------------------------------------------------------------------------------------------------------------------------------------------------------------------------------------------------------------------------------------------------------------------------------------------------------------------------------------------------------------------------------------------------------------------------------------------------------------------------------------------|-------------------------|
| F24 = 0.928890353812696                                                                                                                                                                                                                                                                                                                                                                                                                                                                                                                             | F72 = 0.928816777287685 |
| F25 = 0.928890353812695                                                                                                                                                                                                                                                                                                                                                                                                                                                                                                                             | F73 = 0.928816777287685 |
| F26 = 0.928823688245382                                                                                                                                                                                                                                                                                                                                                                                                                                                                                                                             | F74 = 0.928816777287685 |
| F27 = 0.928823688245381                                                                                                                                                                                                                                                                                                                                                                                                                                                                                                                             | F75 = 0.928816777287685 |
| F28 = 0.92882364009606                                                                                                                                                                                                                                                                                                                                                                                                                                                                                                                              | F76 = 0.928816777287685 |
| F29 = 0.92882364009605                                                                                                                                                                                                                                                                                                                                                                                                                                                                                                                              | F77 = 0.928816777287685 |
| F30 = 0.92882364009606                                                                                                                                                                                                                                                                                                                                                                                                                                                                                                                              | F78 = 0.928816777287685 |
| F31 = 0.928823640096059                                                                                                                                                                                                                                                                                                                                                                                                                                                                                                                             | F79 = 0.928816777287685 |
| F32 = 0.928823640096058                                                                                                                                                                                                                                                                                                                                                                                                                                                                                                                             | F80 = 0.928816777287685 |
| F33 = 0.928823640096057                                                                                                                                                                                                                                                                                                                                                                                                                                                                                                                             | F81 = 0.928816777287685 |
| F34 = 0.928823640096058                                                                                                                                                                                                                                                                                                                                                                                                                                                                                                                             | F82 = 0.928816777287685 |
| F35 = 0.928823640096058                                                                                                                                                                                                                                                                                                                                                                                                                                                                                                                             | F83 = 0.928816777287685 |
| F36 = 0.928823640096057                                                                                                                                                                                                                                                                                                                                                                                                                                                                                                                             | F84 = 0.928816777287685 |
| F37 = 0.928823640096058                                                                                                                                                                                                                                                                                                                                                                                                                                                                                                                             | F85 = 0.928816777287685 |
| F38 = 0.928823640096057                                                                                                                                                                                                                                                                                                                                                                                                                                                                                                                             | F86 = 0.928816777287685 |
| F39 = 0.928823640096058                                                                                                                                                                                                                                                                                                                                                                                                                                                                                                                             | F87 = 0.928816777287685 |
| F40 = 0.928823640096058                                                                                                                                                                                                                                                                                                                                                                                                                                                                                                                             | F88 = 0.928816777287685 |
| F41 = 0.928823640096059                                                                                                                                                                                                                                                                                                                                                                                                                                                                                                                             | F89 = 0.928816777287685 |
| F42 = 0.928823650092018                                                                                                                                                                                                                                                                                                                                                                                                                                                                                                                             | F90 = 0.928816777287685 |
| F43 = 0.928823650092018                                                                                                                                                                                                                                                                                                                                                                                                                                                                                                                             | F91 = 0.928816777287685 |
| F44 = 0.928877508122762                                                                                                                                                                                                                                                                                                                                                                                                                                                                                                                             | F92 = 0.928816777287685 |
| F45 = 0.928877508122763                                                                                                                                                                                                                                                                                                                                                                                                                                                                                                                             | F93 = 0.928816777287685 |
| F46 = 0.928712469877434                                                                                                                                                                                                                                                                                                                                                                                                                                                                                                                             | F94 = 0.928816777287685 |
| F47 = 0.928712469877434                                                                                                                                                                                                                                                                                                                                                                                                                                                                                                                             | F95 = 0.928816777287685 |
| Pada nilai SSIM terlihat tidak ada nilai 1 pada frame 0 sampai dengan frame 95, terlihat nilai SSIM antara 0.928, 0.990 dan 0.991 artinya dari nilai SSIM tersebut dapat dijadikan acuan sebagai parameter awal bahwa terdapat perbedaan yang sangat kecil pada 2 image yang dibandingkan, dari nilai tersebut dapat dianalisis lebih lanjut pada frame yang dibandingkan sehingga perbedaan video shot animasi dengan video shot animasi revisi dapat dibuktikan pada proses selanjutnya untuk mendeteksi dimanakah letak atau posisi perbedaannya |                         |

Tabel 4.3 Hasil deteksi perbedaan shot video animasi

AKT\_ANM\_SC14\_SH14\_FU2 dengan AKT\_ANM\_SC14\_SH14\_FU1

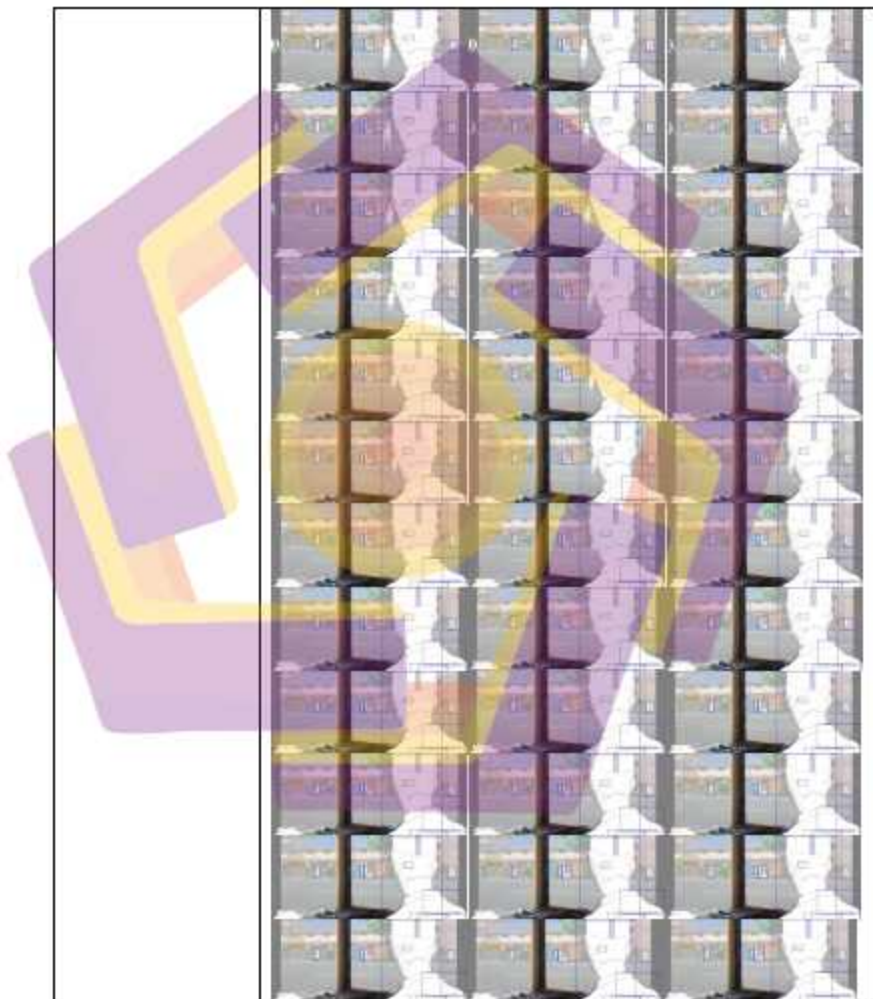
menggunakan algoritma SSIM (Lanjutan)



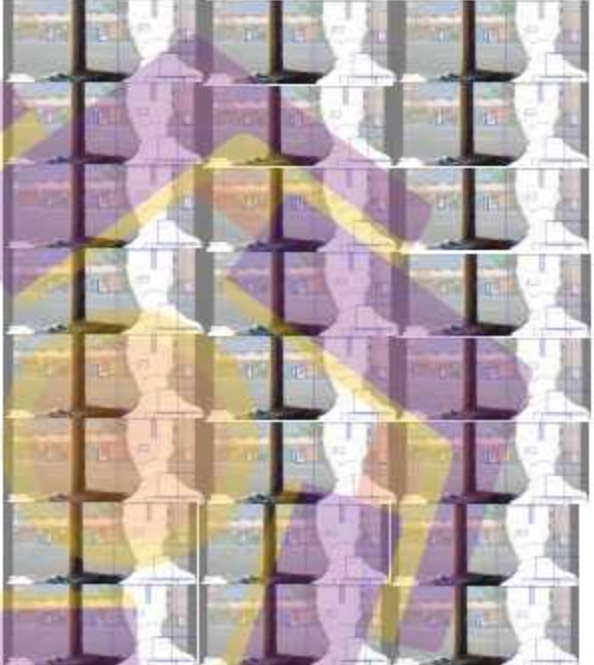
Tabel 4.3 Hasil deteksi perbedaan shot video animasi

AKT\_ANM\_SC14\_SH14\_FU2 dengan AKT\_ANM\_SC14\_SH14\_FU1

menggunakan algoritma SSIM (Lanjutan)



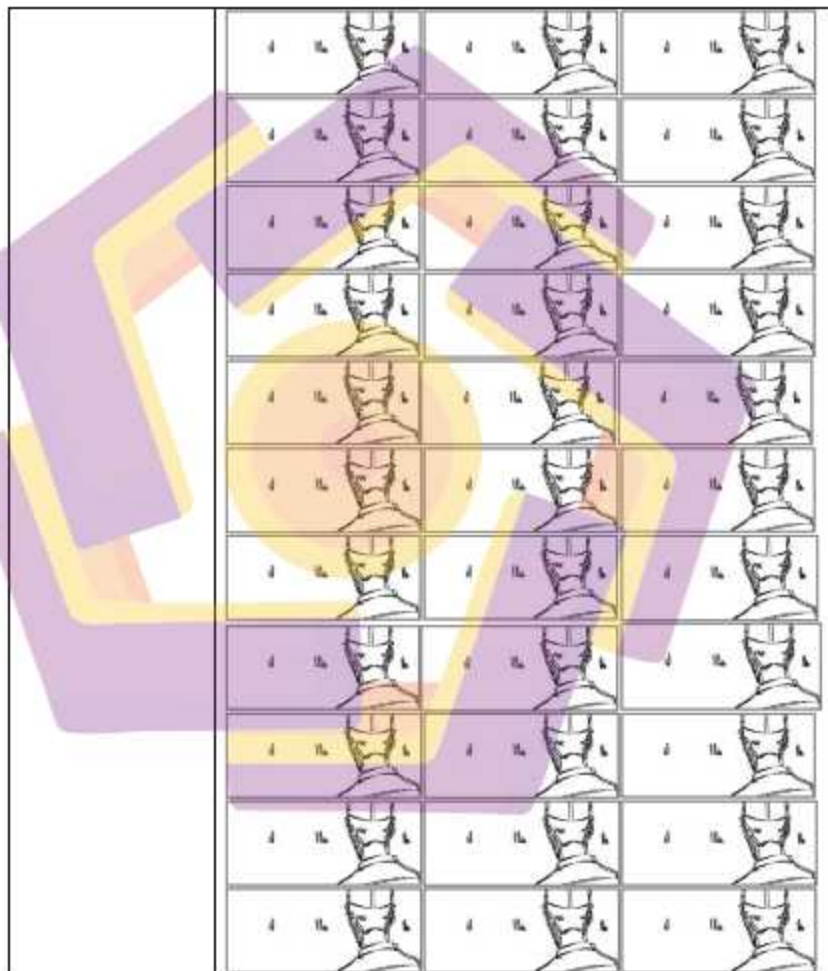
Tabel 4.3 Hasil deteksi perbedaan shot video animasi  
 AKT\_ANM\_SC14\_SH14\_FU2 dengan AKT\_ANM\_SC14\_SH14\_FU1  
 menggunakan algoritma SSIM (Lanjutan)

|   |                                                                                                                                                                                                                                                                                                                  |   |   |   |   |   |   |   |   |   |   |   |   |   |   |   |   |   |   |
|---|------------------------------------------------------------------------------------------------------------------------------------------------------------------------------------------------------------------------------------------------------------------------------------------------------------------|---|---|---|---|---|---|---|---|---|---|---|---|---|---|---|---|---|---|
|   |                                                                                                                                                                                                                               |   |   |   |   |   |   |   |   |   |   |   |   |   |   |   |   |   |   |
|   | Dari nilai SSIM diproses kembali untuk mengetahui secara visual secara lebih jelas lagi pada bagian mana pada image yang memiliki perbedaan kontur tersebut berada dengan memberikan kontur pada image yang berbeda yaitu melakukan perulangan pada kontur untuk mendapatkan visual gambar yang berbeda tersebut |   |   |   |   |   |   |   |   |   |   |   |   |   |   |   |   |   |   |
|   | <table border="1" data-bbox="477 1227 1071 1386"> <tbody> <tr> <td>d</td><td>b</td><td>b</td><td>d</td><td>b</td><td>b</td><td>d</td><td>b</td><td>b</td> </tr> <tr> <td>d</td><td>b</td><td>b</td><td>d</td><td>b</td><td>b</td><td>d</td><td>b</td><td>b</td> </tr> </tbody> </table>                          | d | b | b | d | b | b | d | b | b | d | b | b | d | b | b | d | b | b |
| d | b                                                                                                                                                                                                                                                                                                                | b | d | b | b | d | b | b |   |   |   |   |   |   |   |   |   |   |   |
| d | b                                                                                                                                                                                                                                                                                                                | b | d | b | b | d | b | b |   |   |   |   |   |   |   |   |   |   |   |

Tabel 4.3 Hasil deteksi perbedaan shot video animasi  
 AKT\_ANM\_SC14\_SH14\_FU2 dengan AKT\_ANM\_SC14\_SH14\_FU1  
 menggunakan algoritma SSIM (Lanjutan)

The image shows a 10x10 grid of 100 knight chess pieces, each labeled with a number from 1 to 100 representing a step in a knight's tour. The pieces are arranged in a specific sequence that forms a continuous path across the board. A prominent feature is a large, stylized ribbon graphic in purple and yellow that sweeps across the top-left section of the grid, partially obscuring some of the pieces. The background is white, and the grid lines are clearly defined.

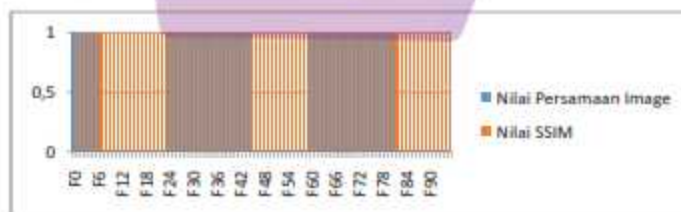
Tabel 4.3 Hasil deteksi perbedaan shot video animasi  
AKT\_ANM\_SC14\_SH14\_FU2 dengan AKT\_ANM\_SC14\_SH14\_FU1  
menggunakan algoritma SSIM (Lanjutan)



Tabel 4.3 Hasil deteksi perbedaan shot video animasi  
**AKT\_ANM\_SC14\_SH14\_FU2** dengan **AKT\_ANM\_SC14\_SH14\_FU1**  
menggunakan algoritma SSIM (Lanjutan)



Pada video shot animasi berikut dilakukan pengujian kembali untuk persamaan shot jika shot animasi yang dibandingkan sama.



Gambar 4.4 Persamaan nilai image

Pada gambar 4.4 terlihat bahwa nilai standar persamaan image dengan nilai hasil pengujian mendapatkan jumlah yang sama dari frame 0 sampai frame 95, artinya shot yang dibandingkan tidak ada perubahan pergerakan objek atau karakter animasi.

Tabel 4.4 Hasil deteksi perbedaan shot video animasi

**ANM\_SOL\_SC14\_SH14\_FU1 dengan ANM\_SOL\_SC14\_SH14\_FU1\_FU3  
menggunakan algoritma SSIM**

|            | Video shot Animasi                                                                                                                                                                                                                        | Video shot Animasi Revisi                                                                                                                                                                                                                           |
|------------|-------------------------------------------------------------------------------------------------------------------------------------------------------------------------------------------------------------------------------------------|-----------------------------------------------------------------------------------------------------------------------------------------------------------------------------------------------------------------------------------------------------|
|            |                                                                                                                                                          |                                                                                                                                                                    |
| Konversi   | Creating.../content/...ANM_SO<br>L_SC14_SH14_FU1/frame_000<br>00.jpg- frame_00095.jpg                                                                                                                                                     | Creating.../content/...ANM_SOL_S<br>C14_SH14_FU1_FU3/frame_00000.<br>jpg- frame_00095.jpg                                                                                                                                                           |
| Compare    |                                                                                                                                                                                                                                           |                                                                                                                                                                                                                                                     |
| Nilai SSIM | F0 = 1,0<br>F1 = 1,0<br>F2 = 1,0<br>F3 = 1,0<br>F4 = 1,0<br>F5 = 1,0<br>F6 = 1,0<br>F7 = 1,0<br>F8 = 1,0<br>F9 = 1,0<br>F10 = 1,0<br>F11 = 1,0<br>F12 = 1,0<br>F13 = 1,0<br>F14 = 1,0<br>F15 = 1,0<br>F16 = 1,0<br>F17 = 1,0<br>F18 = 1,0 | F48 = 1,0<br>F49 = 1,0<br>F50 = 1,0<br>F51 = 1,0<br>F52 = 1,0<br>F53 = 1,0<br>F54 = 1,0<br>F55 = 1,0<br>F56 = 1,0<br>F57 = 1,0<br>F58 = 1,0<br>F59 = 1,0<br>F60 = 1,0<br>F61 = 1,0<br>F62 = 1,0<br>F63 = 1,0<br>F64 = 1,0<br>F65 = 1,0<br>F66 = 1,0 |

Tabel 4.4 Hasil deteksi perbedaan shot video animasi

ANM\_SOL\_SC14\_SH14\_FU1 dengan ANM\_SOL\_SC14\_SH14\_FU1\_FU3

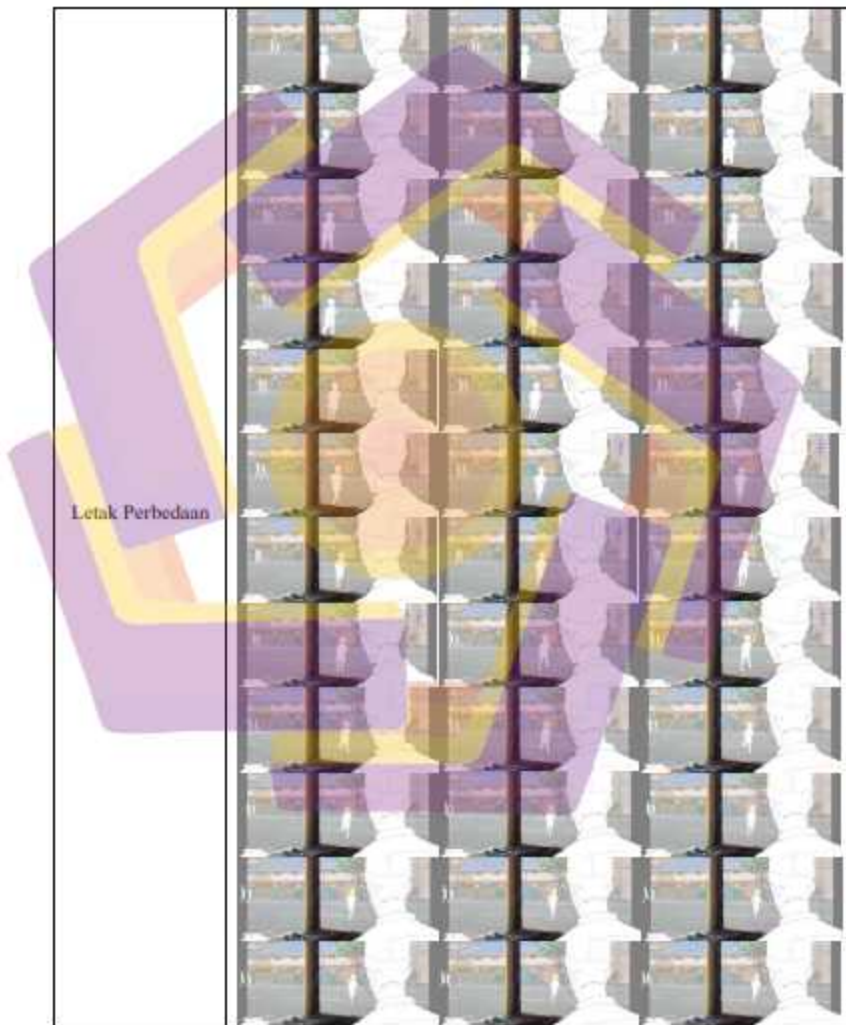
menggunakan algoritma SSIM (Lanjutan)

|  |                                                                                                                                                                                                                                                                                                             |           |
|--|-------------------------------------------------------------------------------------------------------------------------------------------------------------------------------------------------------------------------------------------------------------------------------------------------------------|-----------|
|  | F19 = 1.0                                                                                                                                                                                                                                                                                                   | F67 = 1.0 |
|  | F20 = 1.0                                                                                                                                                                                                                                                                                                   | F68 = 1.0 |
|  | F21 = 1.0                                                                                                                                                                                                                                                                                                   | F69 = 1.0 |
|  | F22 = 1.0                                                                                                                                                                                                                                                                                                   | F70 = 1.0 |
|  | F23 = 1.0                                                                                                                                                                                                                                                                                                   | F71 = 1.0 |
|  | F24 = 1.0                                                                                                                                                                                                                                                                                                   | F72 = 1.0 |
|  | F25 = 1.0                                                                                                                                                                                                                                                                                                   | F73 = 1.0 |
|  | F26 = 1.0                                                                                                                                                                                                                                                                                                   | F74 = 1.0 |
|  | F27 = 1.0                                                                                                                                                                                                                                                                                                   | F75 = 1.0 |
|  | F28 = 1.0                                                                                                                                                                                                                                                                                                   | F76 = 1.0 |
|  | F29 = 1.0                                                                                                                                                                                                                                                                                                   | F77 = 1.0 |
|  | F30 = 1.0                                                                                                                                                                                                                                                                                                   | F78 = 1.0 |
|  | F31 = 1.0                                                                                                                                                                                                                                                                                                   | F79 = 1.0 |
|  | F32 = 1.0                                                                                                                                                                                                                                                                                                   | F80 = 1.0 |
|  | F33 = 1.0                                                                                                                                                                                                                                                                                                   | F81 = 1.0 |
|  | F34 = 1.0                                                                                                                                                                                                                                                                                                   | F82 = 1.0 |
|  | F35 = 1.0                                                                                                                                                                                                                                                                                                   | F83 = 1.0 |
|  | F36 = 1.0                                                                                                                                                                                                                                                                                                   | F84 = 1.0 |
|  | F37 = 1.0                                                                                                                                                                                                                                                                                                   | F85 = 1.0 |
|  | F38 = 1.0                                                                                                                                                                                                                                                                                                   | F86 = 1.0 |
|  | F39 = 1.0                                                                                                                                                                                                                                                                                                   | F87 = 1.0 |
|  | F40 = 1.0                                                                                                                                                                                                                                                                                                   | F88 = 1.0 |
|  | F41 = 1.0                                                                                                                                                                                                                                                                                                   | F89 = 1.0 |
|  | F42 = 1.0                                                                                                                                                                                                                                                                                                   | F90 = 1.0 |
|  | F43 = 1.0                                                                                                                                                                                                                                                                                                   | F91 = 1.0 |
|  | F44 = 1.0                                                                                                                                                                                                                                                                                                   | F92 = 1.0 |
|  | F45 = 1.0                                                                                                                                                                                                                                                                                                   | F93 = 1.0 |
|  | F46 = 1.0                                                                                                                                                                                                                                                                                                   | F94 = 1.0 |
|  | F47 = 1.0                                                                                                                                                                                                                                                                                                   | F95 = 1.0 |
|  | Pada nilai SSIM menunjukkan nilai 1 pada frame 0 sampai dengan frame 95, artinya tidak ada perubahan image antara shot sebelum revisi dan sesudah revisi. Karena image sama antar sebelum dan sesudah revisi maka letak perbedaan tidak akan terlihat pada hasil visual yang ditunjukkan pada tabel dibawah |           |

Tabel 4.4 Hasil deteksi perbedaan shot video animasi

ANM\_SOL\_SC14\_SH14\_FU1 dengan ANM\_SOL\_SC14\_SH14\_FU1\_FU3

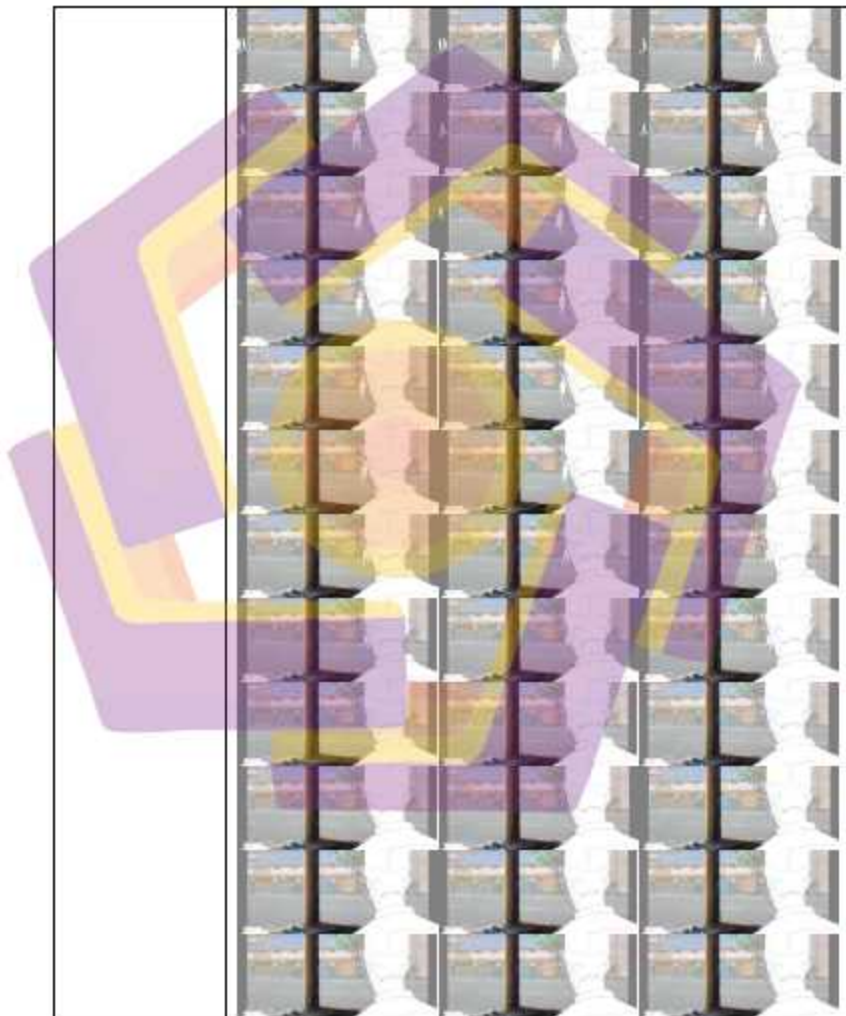
menggunakan algoritma SSIM (Lanjutan)



Tabel 4.4 Hasil deteksi perbedaan shot video animasi

ANM\_SOL\_SC14\_SH14\_FU1 dengan ANM\_SOL\_SC14\_SH14\_FU1\_FU3

menggunakan algoritma SSIM (Lanjutan)



Tabel 4.4 Hasil deteksi perbedaan shot video animasi

ANM\_SOL\_SC14\_SH14\_FU1 dengan ANM\_SOL\_SC14\_SH14\_FU1\_FU3

menggunakan algoritma SSIM (Lanjutan)

|  |                                                                                                                               |
|--|-------------------------------------------------------------------------------------------------------------------------------|
|  |                                                                                                                               |
|  | Karena shot sebelum dan sesudah direvisi mempunyai nilai SSIM = 1 maka kontur perbedaannya tidak akan terlihat secara visual. |
|  |                                                                                                                               |
|  |                                                                                                                               |

Tabel 4.4 Hasil deteksi perbedaan shot video animasi

ANM SOL SC14 SH14 FU1 dengan ANM SOL SC14 SH14 FU1 FU3

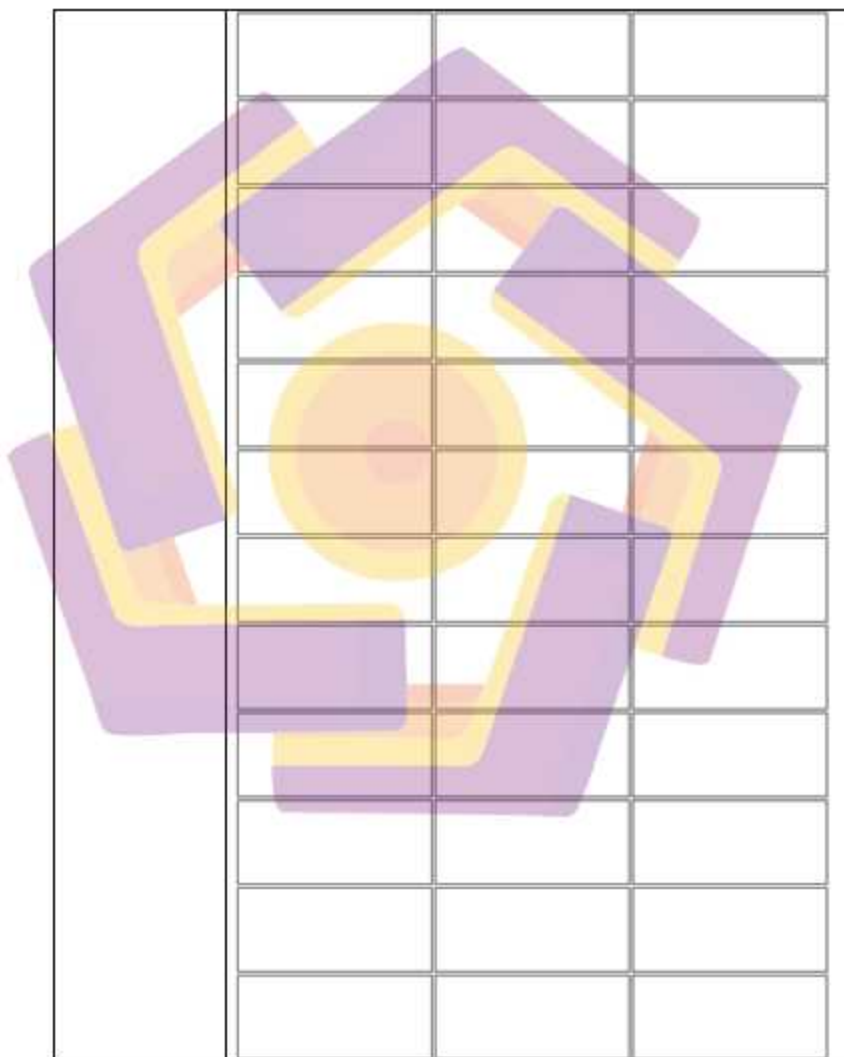
menggunakan algoritma SSIM (Lanjutan)

The image features a large, abstract graphic design composed of overlapping purple and yellow shapes. It includes a central yellow circle with a pink center, surrounded by a yellow ring and a purple square. The design is set against a background of a 10x10 grid of empty white boxes.

Tabel 4.4 Hasil deteksi perbedaan shot video animasi

ANM\_SOL\_SC14\_SH14\_FU1 dengan ANM\_SOL\_SC14\_SH14\_FU1\_FU3

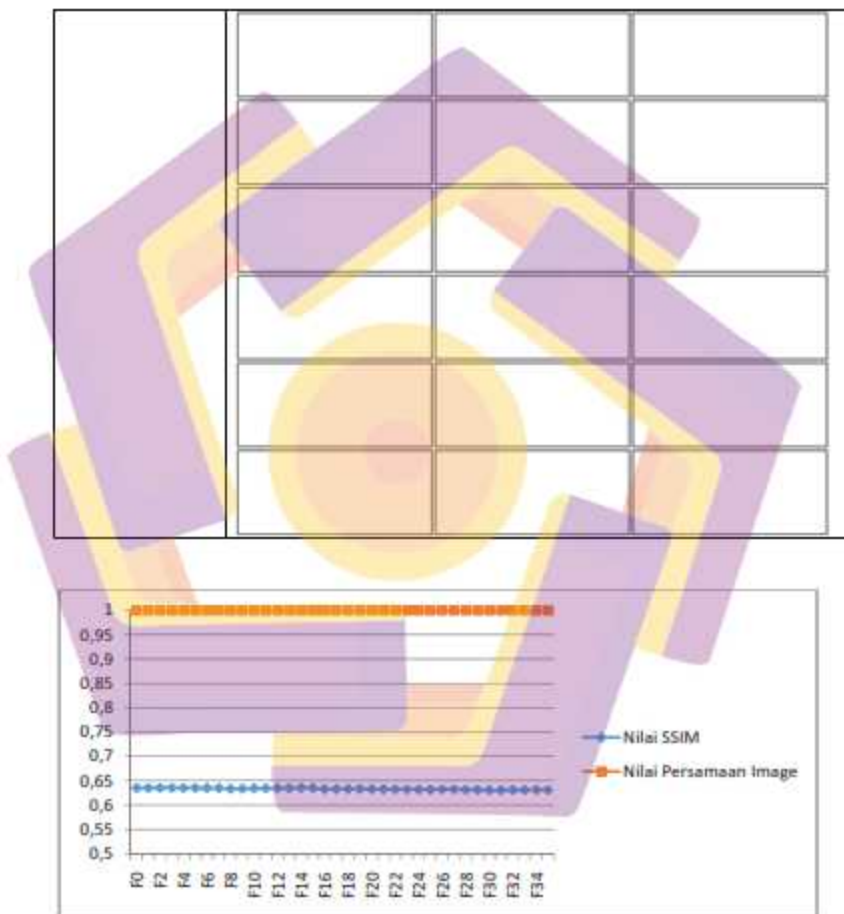
menggunakan algoritma SSIM (Lanjutan)



Tabel 4.4 Hasil deteksi perbedaan shot video animasi

ANM\_SOL\_SC14\_SH14\_FU1 dengan ANM\_SOL\_SC14\_SH14\_FU1\_FU3

menggunakan algoritma SSIM (Lanjutan)



Gambar 4.5 Perubahan nilai SSIM pada setiap frame

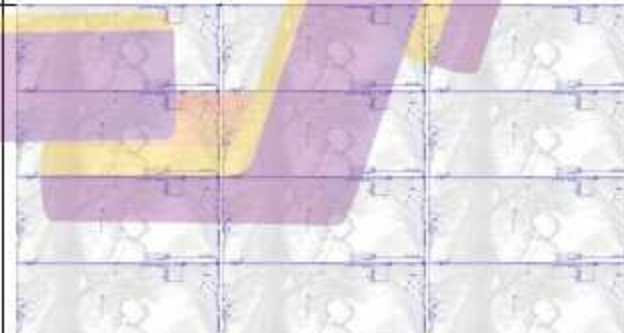
Pada Gambar 4.5 dilakukan pengujian dengan shot animasi antara AKT\_ANM\_SC11\_SH07\_IB\_FU1 dengan AKT\_ANM\_SC14\_SH14\_FU2 dan terlihat mulai frame 0 sampai frame 35 rentang nilai stabil 0.630-0.635 artinya memang ada perubahan animasi pada shot tersebut akan tetapi nilai SSIM nya terdapat perubahan perbedaan yang jauh dengan pengujian sebelumnya yang biasanya direntang 0.9 sehingga dapat dikatakan terdapat perubahan animasi yang sangat banyak pada shot animasi sebelum revisi dan sesudah revisi atau shot yang dibandingkan tersebut berbeda.

Tabel 4.5 Hasil Deteksi perbedaan shot video animasi

AKT\_ANM\_SC11\_SH07\_IB\_FU1 dengan AKT\_ANM\_SC14\_SH14\_FU2  
menggunakan algoritma SSIM

|            | Video shot Animasi                                                                                                                                                                                                                              | Video shot Animasi Revisi                                                                                                                                                                                                                                |
|------------|-------------------------------------------------------------------------------------------------------------------------------------------------------------------------------------------------------------------------------------------------|----------------------------------------------------------------------------------------------------------------------------------------------------------------------------------------------------------------------------------------------------------|
| Konversi   | <br>Creating.../content/...AKT_ANM_SC11_SH07_IB_FU1/frame_00000.jpg – frame_00035                                                                              | <br>Creating.../content/...ANM_SOL_SC14_SH14_FU2/frame_00000.jpg – frame_00035.jpg                                                                                      |
| Compare    |                                                                                                                                                                                                                                                 |                                                                                                                                                                                                                                                          |
| Nilai SSIM | F0 = 0.6351335748283785<br>F1 = 0.6351404900433111<br>F2 = 0.6352944502550578<br>F3 = 0.6352949206120321<br>F4 = 0.6352886399580421<br>F5 = 0.6352872386535277<br>F6 = 0.6350189475496855<br>F7 = 0.6350221807399614<br>F8 = 0.6336715896111724 | F18 = 0.6334846695306529<br>F19 = 0.6334891527620763<br>F20 = 0.6328426126334484<br>F21 = 0.6328390952707815<br>F22 = 0.6323697307935994<br>F23 = 0.6323693570087014<br>F24 = 0.6316535264847095<br>F25 = 0.6316571969144998<br>F26 = 0.6320628876810246 |

Tabel 4.5 Hasil Deteksi perbedaan shot video animasi  
**AKT\_ANM\_SC11\_SH07\_IB\_FU1 dengan AKT\_ANM\_SC14\_SH14\_FU2**  
menggunakan algoritma SSIM (Lanjutan)

|  |                                                                                                                                                                                                                                                                                                                                                                                                                                                                                                                                                                                                                               |                                                                                     |
|--|-------------------------------------------------------------------------------------------------------------------------------------------------------------------------------------------------------------------------------------------------------------------------------------------------------------------------------------------------------------------------------------------------------------------------------------------------------------------------------------------------------------------------------------------------------------------------------------------------------------------------------|-------------------------------------------------------------------------------------|
|  | F9 = 0.6336753215319486                                                                                                                                                                                                                                                                                                                                                                                                                                                                                                                                                                                                       | F27 = 0.6320613774398857                                                            |
|  | F10 = 0.6345283044587152                                                                                                                                                                                                                                                                                                                                                                                                                                                                                                                                                                                                      | F28 = 0.6313814255352421                                                            |
|  | F11 = 0.6345251804768132                                                                                                                                                                                                                                                                                                                                                                                                                                                                                                                                                                                                      | F29 = 0.6313885920322299                                                            |
|  | F12 = 0.6347751360419481                                                                                                                                                                                                                                                                                                                                                                                                                                                                                                                                                                                                      | F30 = 0.6305363180096901                                                            |
|  | F13 = 0.6347722345511223                                                                                                                                                                                                                                                                                                                                                                                                                                                                                                                                                                                                      | F31 = 0.6305390209644411                                                            |
|  | F14 = 0.6354436583422223                                                                                                                                                                                                                                                                                                                                                                                                                                                                                                                                                                                                      | F32 = 0.6309070341535981                                                            |
|  | F15 = 0.635445741986632                                                                                                                                                                                                                                                                                                                                                                                                                                                                                                                                                                                                       | F33 = 0.6309087340446816                                                            |
|  | F16 = 0.6329354800326434                                                                                                                                                                                                                                                                                                                                                                                                                                                                                                                                                                                                      | F34 = 0.6311581756837735                                                            |
|  | F17 = 0.6329389637726093                                                                                                                                                                                                                                                                                                                                                                                                                                                                                                                                                                                                      | F35 = 0.6311494799722086                                                            |
|  | Pada nilai SSIM terlihat tidak ada nilai 1 pada frame 0 sampai dengan frame 35, terlihat nilai SSIM terjadi perubahan yang sangat signifikan dibandingkan dengan hasil test yang terdapat pada tabel 4.1 dan 4.2 dikisaran 0,9. Pada nilai SSIM disini terlihat antara 0,630 sampai 0,635 artinya dari nilai SSIM tersebut dapat dianalisis bahwa terdapat perbedaan yang sangat banyak antara dua image yang dibandingkan sehingga perbedaan video shot animasi dengan video shot animasi revisi dapat dibuktikan pada proses selanjutnya untuk mendeteksi dimanakah letak atau posisi perbedaan yang signifikan itu berada. |                                                                                     |
|  |                                                                                                                                                                                                                                                                                                                                                                                                                                                                                                                                                                                                                               |  |

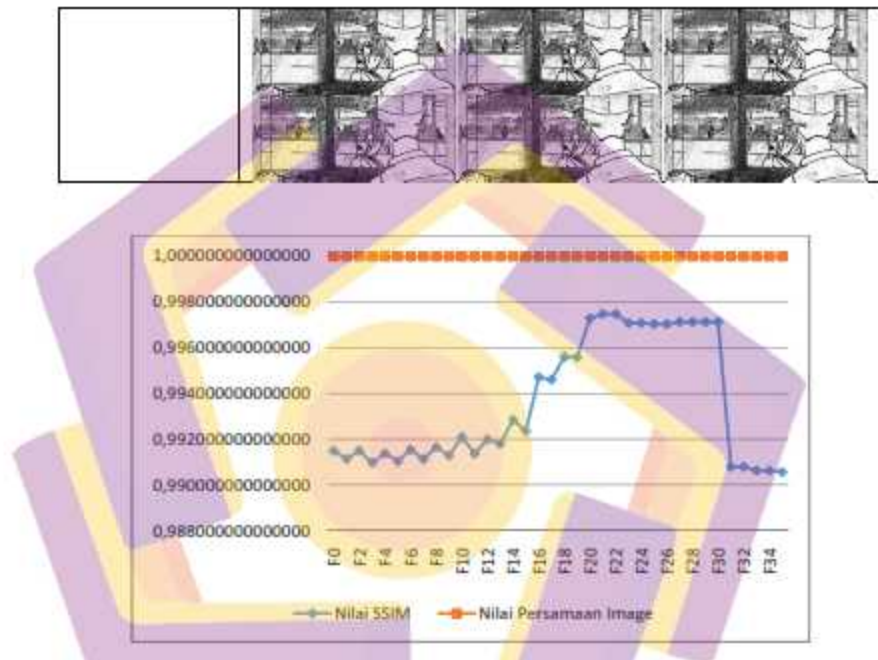
Tabel 4.5 Hasil Deteksi perbedaan shot video animasi  
**AKT\_ANM\_SC11\_SH07\_IB\_FU1 dengan AKT\_ANM\_SC14\_SH14\_FU2**  
menggunakan algoritma SSIM (Lanjutan)

|                 |                                                                                                                                                                                                                                                                                                                                                                                                                                                                                                                                                                                                                                                                                                            |
|-----------------|------------------------------------------------------------------------------------------------------------------------------------------------------------------------------------------------------------------------------------------------------------------------------------------------------------------------------------------------------------------------------------------------------------------------------------------------------------------------------------------------------------------------------------------------------------------------------------------------------------------------------------------------------------------------------------------------------------|
| Letak Perbedaan |                                                                                                                                                                                                                                                                                                                                                                                                                                                                                                                                                                                                                         |
|                 | <p>Setelah diproses untuk mendapatkan sebuah kotak batasan, perbedaan gambar terlihat bahwa semua image mendapatkan kotak batasan yang sangat banyak dan juga terdapat full blok kotak batasan berwarna biru pada frame image sehingga dapat diambil kesimpulan bahwa pada keseluruhan image yang dibandingkan itu berbeda sekali. Kemudian dari nilai SSIM diproses kembali untuk mengetahui secara visual dimanakah letak atau posisi perbedaan video shot animasi tersebut berada dengan memberikan kontur pada image yang berbeda yaitu melakukan perulangan pada kontur untuk mendapatkan visual gambar yang berbeda tersebut. Pada image dibawah terlihat bahwa 2 image yang dibandingkan sangat</p> |

Tabel 4.5 Hasil Deteksi perbedaan shot video animasi  
AKT\_ANM\_SC11\_SH07\_IB\_FU1 dengan AKT\_ANM\_SC14\_SH14\_FU2  
menggunakan algoritma SSIM (Lanjutan)

|                  |                                                                                                                                                                                                                                                                                                                         |
|------------------|-------------------------------------------------------------------------------------------------------------------------------------------------------------------------------------------------------------------------------------------------------------------------------------------------------------------------|
|                  | berbeda sehingga menghasilkan kontur yang sangat jelas antara image sebelum revisi dan sesudah revisi sehingga dapat dijadikan validasi ulang apakah shot video yang direvisi memang benar terjadi revisi secara keseluruhan pada video shot animasi ini ataukah ada kesalahan lain dalam memberikan file hasil revisi. |
| Perbedaan Gambar |                                                                                                                                                                                                                                      |

Tabel 4.5 Hasil Deteksi perbedaan shot video animasi  
 AKT\_ANM\_SC11\_SH07\_IB\_FU1 dengan AKT\_ANM\_SC14\_SH14\_FU2  
 menggunakan algoritma SSIM (Lanjutan)



Gambar 4.6 Perubahan nilai SSIM pada setiap frame

Pada Gambar 4.6 dilakukan pengujian dengan shot animasi antara AKT\_ANM\_SC11\_SH07\_IB\_FU1 dengan AKT\_ANM\_SC11\_SH07\_IB\_TK1 dengan kondisi 5 frame awal pada shot revisi dipindah ke frame terakhir dan mendapatkan hasil seperti terlihat pada kurva diatas bahwa nilai SSIM mulai frame 0 sampai frame 35 tetap ada perubahan pergerakan. Mulai frame 29 terlihat ada perubahan pergerakan yang signifikan dari nilai SSIM 0.997 pada frame selanjutnya menjadi 0.990, dapat dikatakan bahwa terdapat perubahan pergerakan

yang banyak mulai dari frame tersebut. Dari nilai SSIM itu kemudian dibuktikan dengan visual gambar agar dapat diketahui dimanakah letak perubahan pergerakan animasi tersebut berada.

Tabel 4.6 Hasil deteksi perbedaan shot video animasi

AKT\_ANM\_SC11\_SH07\_IB\_FU1 dengan AKT\_ANM\_SC11\_SH07\_IB\_TK1  
dengan memindah 5 frame di depan ke belakang menggunakan algoritma SSIM

|            | Video shot Animasi                                                                                                                                                                                                                                                                                                                                                                                                                                                                                        | Video shot Animasi Revisi                                                                                                                                                                                                                                                                                                                                                                                                                                                                                        |
|------------|-----------------------------------------------------------------------------------------------------------------------------------------------------------------------------------------------------------------------------------------------------------------------------------------------------------------------------------------------------------------------------------------------------------------------------------------------------------------------------------------------------------|------------------------------------------------------------------------------------------------------------------------------------------------------------------------------------------------------------------------------------------------------------------------------------------------------------------------------------------------------------------------------------------------------------------------------------------------------------------------------------------------------------------|
|            |                                                                                                                                                                                                                                                                                                                                                                                                                          |                                                                                                                                                                                                                                                                                                                                                                                                                                 |
| Konversi   | Creating.../content/...AKT_ANM_SC11_SH07_IB_FU1/frame_00000.jpg - frame_00035.jpg                                                                                                                                                                                                                                                                                                                                                                                                                         | Creating.../content/...AKT_ANM_SC11_SH07_IB_TK1/frame_00000.jpg - frame_00035.jpg                                                                                                                                                                                                                                                                                                                                                                                                                                |
| Compare    |                                                                                                                                                                                                                                                                                                                                                                                                                                                                                                           |                                                                                                                                                                                                                                                                                                                                                                                                                                                                                                                  |
| Nilai SSIM | F0 = 0.9914799409031609<br>F1 = 0.9911332243785045<br>F2 = 0.9914908839469257<br>F3 = 0.9909620199806247<br>F4 = 0.9913729831811041<br>F5 = 0.9910348737719517<br>F6 = 0.9915349640486962<br>F7 = 0.9911273333826627<br>F8 = 0.9916503495482717<br>F9 = 0.9912770488496987<br>F10 = 0.9920896687621613<br>F11 = 0.9913608132052877<br>F12 = 0.9919920904235763<br>F13 = 0.9917954606418775<br>F14 = 0.992837922618815<br>F15 = 0.9923521941524575<br>F16 = 0.9947055350457699<br>F17 = 0.9946021019946397 | F18 = 0.9955935556468002<br>F19 = 0.9955797812955435<br>F20 = 0.9972777461824<br>F21 = 0.9974716906285824<br>F22 = 0.9974652178189926<br>F23 = 0.997080540897656<br>F24 = 0.9970780540897656<br>F25 = 0.9970300553668227<br>F26 = 0.9970300553668227<br>F27 = 0.9971248799418967<br>F28 = 0.9971248799418967<br>F29 = 0.9971248799418967<br>F30 = 0.9971248799418967<br>F31 = 0.9907924455715819<br>F32 = 0.9907924455715819<br>F33 = 0.9906227332652611<br>F34 = 0.9906227332652611<br>F35 = 0.9905604504854993 |

Tabel 4.6 Hasil deteksi perbedaan shot video animasi

AKT\_ANM\_SC11\_SH07\_IB\_FU1 dengan AKT\_ANM\_SC11\_SH07\_IB\_TK1

dengan memindah 5 frame di depan ke belakang menggunakan algoritma SSIM

(Lanjutan)

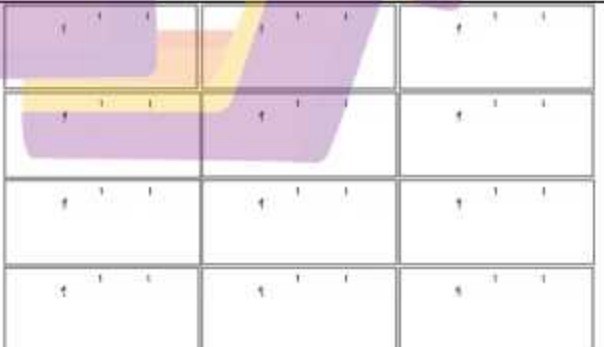
|  |                                                                                                                                                                                                                                                                                                        |
|--|--------------------------------------------------------------------------------------------------------------------------------------------------------------------------------------------------------------------------------------------------------------------------------------------------------|
|  | <p>Setelah dilakukan perubahan letak frame yaitu 5 frame awal dipindahkan ke frame terakhir, terlihat pada hasil pengujian bahwa algoritma SSIM masih tetap menganggap ada perubahan pergerakan animasi. Dari sini kemudian dianalisis lebih lanjut dengan mencari letak posisi perbedaan tersebut</p> |
|--|--------------------------------------------------------------------------------------------------------------------------------------------------------------------------------------------------------------------------------------------------------------------------------------------------------|

Tabel 4.6 Hasil deteksi perbedaan shot video animasi

AKT\_ANM\_SC11\_SH07\_IB\_FU1 dengan AKT\_ANM\_SC11\_SH07\_IB\_TK1

dengan memindah 5 frame di depan ke belakang menggunakan algoritma SSIM

(Lanjutan)

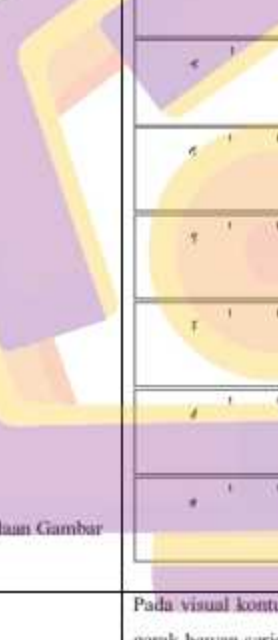
|  |                                                                                                                                                                                                                                                                                                                                                                                                                                                                                                                                                                                                                                                                                                                                                                     |
|--|---------------------------------------------------------------------------------------------------------------------------------------------------------------------------------------------------------------------------------------------------------------------------------------------------------------------------------------------------------------------------------------------------------------------------------------------------------------------------------------------------------------------------------------------------------------------------------------------------------------------------------------------------------------------------------------------------------------------------------------------------------------------|
|  |                                                                                                                                                                                                                                                                                                                                                                                                                                                                                                                                                                                                                                                                                   |
|  | <p>Setelah diproses untuk mendapatkan sebuah kotak batasan perbedaan gambar terdeteksi bahwa masih terdapat perbedaan gambar antara video shot animasi dengan video shot animasi revisi yang digambarkan dengan kotak batasan berwarna biru. Namun dari sini dapat kita lihat bahwa dari frame 29 ke 30 ada jumping pergerakan dari kaki serigala yang sudah diletakkan tiba-tiba kembali diangkat dan ini menyalahi prinsip animasi. Kemudian dari nilai SSIM diproses kembali untuk mengetahui secara visual secara lebih jelas lagi pada bagian mana pada image yang memiliki perbedaan kontur tersebut berada dengan memberikan kontur pada image yang berbeda yaitu melakukan perulangan pada kontur untuk mendapatkan visual gambar yang berbeda tersebut</p> |
|  |                                                                                                                                                                                                                                                                                                                                                                                                                                                                                                                                                                                                                                                                                 |

Tabel 4.6 Hasil deteksi perbedaan shot video animasi

AKT ANM SC11 SH07 JB FU1 dengan AKT ANM SC11 SH07 JB TK1

dengan memindah 5 frame di depan ke belakang menggunakan algoritma SSIM

(Lanjutan)

|                  |                                                                                                                                                                                                                                                                        |
|------------------|------------------------------------------------------------------------------------------------------------------------------------------------------------------------------------------------------------------------------------------------------------------------|
| Perbedaan Gambar |                                                                                                                                                                                      |
|                  | <p>Pada visual kontur terlihat bahwa terdapat perubahan pergerakan ekor, gerak hewan serigala dan penambahan tali pada shot ini sehingga dapat dijadikan validasi apakah sudah benar hasil revisi yang sudah dikerjakan dengan catatan director ataupun supervisor</p> |



Gambar 4.7 Perubahan nilai SSIM pada setiap frame

Pada Gambar 4.7 dilakukan pengujian dengan shot animasi antara AKT\_ANM\_SC14\_SH14\_FU2 dengan AKT\_ANM\_SC14\_SH14\_FU1 dengan pengujian meletakan 10 frame di awal ditempatkan di frame terakhir. Kemudian dari pengujian scenario tersebut terlihat terdapat jumping perubahan nilai SSIM pada frame 13, frame 23 dan frame 85. Dari nilai tersebut dapat dianalisis lebih lanjut tentang perubahan visual apa yang terjadi dan pada hasil visual image yang disajikan pada tabel 4.7 terdapat jumping pergerakan animasi. Dari tabel letak posisi perbedaan, karakter yang berlari menjadi mengalami perubahan pergerakan karena pergeseran frame yang dilakukan, dan pada frame 23 terlihat jumping karena perubahan pergerakan karakter anak kecil berlari pada frame tersebut lebih banyak.

Tabel 4.7 Hasil deteksi perbedaan shot video animasi  
 AKT\_ANM\_SC14\_SH14\_FU2 dengan AKT\_ANM\_SC14\_SH14\_FU1 dengan  
 menggeser 10 frame di awal ke akhir menggunakan algoritma SSIM

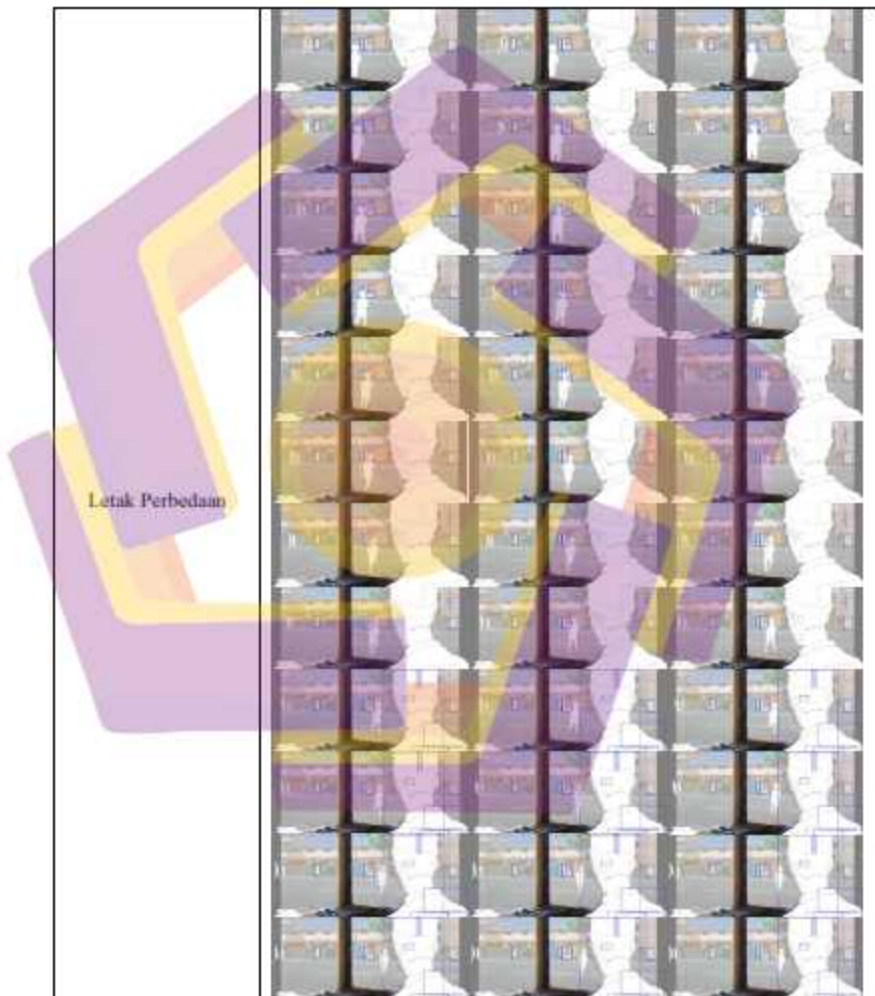
|            | Video shot Animasi Revisi                                                                                                                                                                                                                                                                                                                                                                                                                                                                                                                                                                                                                                                       | Video shot Animasi                                                                                                                                                                                                                                                                                                                                                                                                                                                                                                                                                                                                                                                                         |
|------------|---------------------------------------------------------------------------------------------------------------------------------------------------------------------------------------------------------------------------------------------------------------------------------------------------------------------------------------------------------------------------------------------------------------------------------------------------------------------------------------------------------------------------------------------------------------------------------------------------------------------------------------------------------------------------------|--------------------------------------------------------------------------------------------------------------------------------------------------------------------------------------------------------------------------------------------------------------------------------------------------------------------------------------------------------------------------------------------------------------------------------------------------------------------------------------------------------------------------------------------------------------------------------------------------------------------------------------------------------------------------------------------|
|            |                                                                                                                                                                                                                                                                                                                                                                                                                                                                                                                                                                                                                                                                                 |                                                                                                                                                                                                                                                                                                                                                                                                                                                                                                                                                                                                                                                                                            |
| Konversi   | Creating ../content/...ANM_S<br>OL_SC14_SH14_FU2/frame_00000.jpg - frame_00095.jpg                                                                                                                                                                                                                                                                                                                                                                                                                                                                                                                                                                                              | Creating ../content/...ANM_SOL_SC<br>14_SH14_FU1/frame_00000.jpg - frame_00095.jpg                                                                                                                                                                                                                                                                                                                                                                                                                                                                                                                                                                                                         |
| Compare    |                                                                                                                                                                                                                                                                                                                                                                                                                                                                                                                                                                                                                                                                                 |                                                                                                                                                                                                                                                                                                                                                                                                                                                                                                                                                                                                                                                                                            |
| Nilai SSIM | F0 = 0.9665360592752288<br>F1 = 0.9665370081352239<br>F2 = 0.9638369628294996<br>F3 = 0.9638287712806519<br>F4 = 0.9629863328840201<br>F5 = 0.9629883699019811<br>F6 = 0.9600752457374432<br>F7 = 0.9600708191229543<br>F8 = 0.9604065009026084<br>F9 = 0.9604078826790831<br>F10 = 0.9614697182313329<br>F11 = 0.9614731085097618<br>F12 = 0.9607479682237647<br>F13 = 0.9607315265061974<br>F14 = 0.919213776212608<br>F15 = 0.9192108112227836<br>F16 = 0.9182382843771943<br>F17 = 0.918218240494327<br>F18 = 0.9173309889894727<br>F19 = 0.917324471631749<br>F20 = 0.9165131427915482<br>F21 = 0.9165216725321381<br>F22 = 0.9180831127627416<br>F23 = 0.9180898406259905 | F48 = 0.9231104437889047<br>F49 = 0.9231104437889047<br>F50 = 0.9240937161533747<br>F51 = 0.9240937161533747<br>F52 = 0.9246149981100977<br>F53 = 0.9246149981100977<br>F54 = 0.9259354763163308<br>F55 = 0.9259354763163308<br>F56 = 0.9266507294574716<br>F57 = 0.9266507294574716<br>F58 = 0.9272198660066422<br>F59 = 0.9272198660066422<br>F60 = 0.9275950889867751<br>F61 = 0.9275950889867751<br>F62 = 0.9282687975203242<br>F63 = 0.9282687975203242<br>F64 = 0.9286605266753674<br>F65 = 0.9286605266753674<br>F66 = 0.928712741144823<br>F67 = 0.928712741144823<br>F68 = 0.9287432923082253<br>F69 = 0.9287432923082253<br>F70 = 0.9288064607244492<br>F71 = 0.9288064607244492 |

Tabel 4.7 Hasil deteksi perbedaan shot video animasi  
 AKT\_ANM\_SC14\_SH14\_FU2 dengan AKT\_ANM\_SC14\_SH14\_FU1 dengan  
 menggeser 10 frame di awal ke akhir menggunakan algoritma SSIM (Lanjutan)

|                                                                                                                                                                                                                                                                                                                                                                                                                                                                                                                                                                                                |                          |
|------------------------------------------------------------------------------------------------------------------------------------------------------------------------------------------------------------------------------------------------------------------------------------------------------------------------------------------------------------------------------------------------------------------------------------------------------------------------------------------------------------------------------------------------------------------------------------------------|--------------------------|
| F24 = 0.9036134288029778                                                                                                                                                                                                                                                                                                                                                                                                                                                                                                                                                                       | F72 = 0.9288167772876856 |
| F25 = 0.9036168311224174                                                                                                                                                                                                                                                                                                                                                                                                                                                                                                                                                                       | F73 = 0.9288167772876856 |
| F26 = 0.9054479672755328                                                                                                                                                                                                                                                                                                                                                                                                                                                                                                                                                                       | F74 = 0.9288167772876856 |
| F27 = 0.90542496709255                                                                                                                                                                                                                                                                                                                                                                                                                                                                                                                                                                         | F75 = 0.9288167772876856 |
| F28 = 0.9063968381605546                                                                                                                                                                                                                                                                                                                                                                                                                                                                                                                                                                       | F76 = 0.9288167772876856 |
| F29 = 0.9063828993743364                                                                                                                                                                                                                                                                                                                                                                                                                                                                                                                                                                       | F77 = 0.9288167772876856 |
| F30 = 0.9083067260534273                                                                                                                                                                                                                                                                                                                                                                                                                                                                                                                                                                       | F78 = 0.9288167772876856 |
| F31 = 0.9083039133447145                                                                                                                                                                                                                                                                                                                                                                                                                                                                                                                                                                       | F79 = 0.9288167772876856 |
| F32 = 0.9101822208382401                                                                                                                                                                                                                                                                                                                                                                                                                                                                                                                                                                       | F80 = 0.9288167772876856 |
| F33 = 0.9101761055209163                                                                                                                                                                                                                                                                                                                                                                                                                                                                                                                                                                       | F81 = 0.9288167772876856 |
| F34 = 0.9108559509138785                                                                                                                                                                                                                                                                                                                                                                                                                                                                                                                                                                       | F82 = 0.9288167772876856 |
| F35 = 0.910852116215365                                                                                                                                                                                                                                                                                                                                                                                                                                                                                                                                                                        | F83 = 0.9288167772876856 |
| F36 = 0.9121572623085442                                                                                                                                                                                                                                                                                                                                                                                                                                                                                                                                                                       | F84 = 0.9288167772876856 |
| F37 = 0.9121460711518904                                                                                                                                                                                                                                                                                                                                                                                                                                                                                                                                                                       | F85 = 0.9288167772876856 |
| F38 = 0.9143053875570335                                                                                                                                                                                                                                                                                                                                                                                                                                                                                                                                                                       | F86 = 0.9098095490841932 |
| F39 = 0.9142946054699648                                                                                                                                                                                                                                                                                                                                                                                                                                                                                                                                                                       | F87 = 0.9098205158821658 |
| F40 = 0.915694788600265                                                                                                                                                                                                                                                                                                                                                                                                                                                                                                                                                                        | F88 = 0.9082508446183428 |
| F41 = 0.9156919412967713                                                                                                                                                                                                                                                                                                                                                                                                                                                                                                                                                                       | F89 = 0.9082525609688377 |
| F42 = 0.9173024412994525                                                                                                                                                                                                                                                                                                                                                                                                                                                                                                                                                                       | F90 = 0.9073961526460232 |
| F43 = 0.9172945763318483                                                                                                                                                                                                                                                                                                                                                                                                                                                                                                                                                                       | F91 = 0.9073959217071144 |
| F44 = 0.9191834157856815                                                                                                                                                                                                                                                                                                                                                                                                                                                                                                                                                                       | F92 = 0.9058937788670597 |
| F45 = 0.9191778076458912                                                                                                                                                                                                                                                                                                                                                                                                                                                                                                                                                                       | F93 = 0.9058961780909647 |
| F46 = 0.9208776604218212                                                                                                                                                                                                                                                                                                                                                                                                                                                                                                                                                                       | F94 = 0.9070320653885093 |
| F47 = 0.9208763466644017                                                                                                                                                                                                                                                                                                                                                                                                                                                                                                                                                                       | F95 = 0.9070349870117032 |
| Pada nilai SSIM terlihat tidak ada nilai 1 pada frame 0 sampai dengan frame 95, terlihat nilai SSIM antara 0.90 dan 0.96 artinya dari nilai SSIM tersebut dapat dijadikan acuan sebagai parameter awal bahwa terdapat perbedaan pada 2 image yang dibandingkan, dari nilai SSIM terlihat jumping nilai SSIM pada frame 13, 23 dan 85. Dari nilai tersebut dapat dianalisis lebih lanjut pada frame yang dibandingkan sehingga perbedaan video shot animasi dengan video shot animasi revisi dapat dibuktikan pada proses selanjutnya untuk mendeteksi dimanakah letak atau posisi perbedaannya |                          |

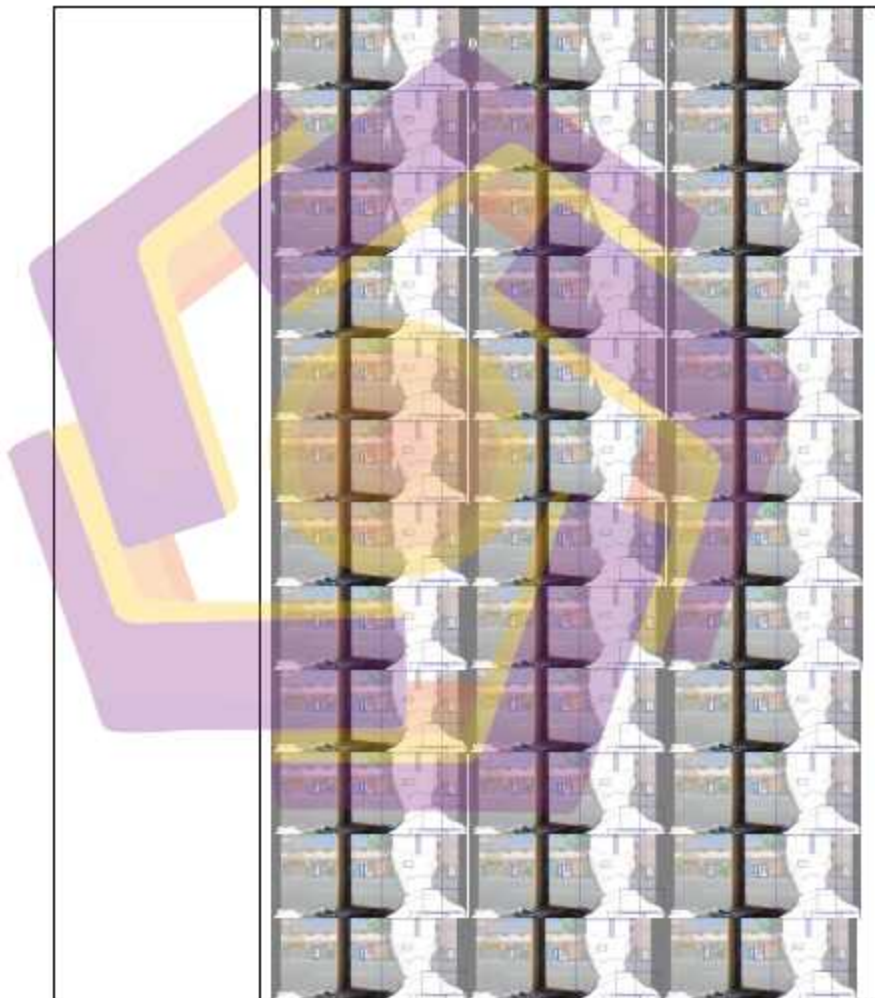
Tabel 4.7 Hasil deteksi perbedaan shot video animasi

AKT\_ANM\_SC14\_SH14\_FU2 dengan AKT\_ANM\_SC14\_SH14\_FU1 dengan  
menggeser 10 frame di awal ke akhir menggunakan algoritma SSIM (Lanjutan)

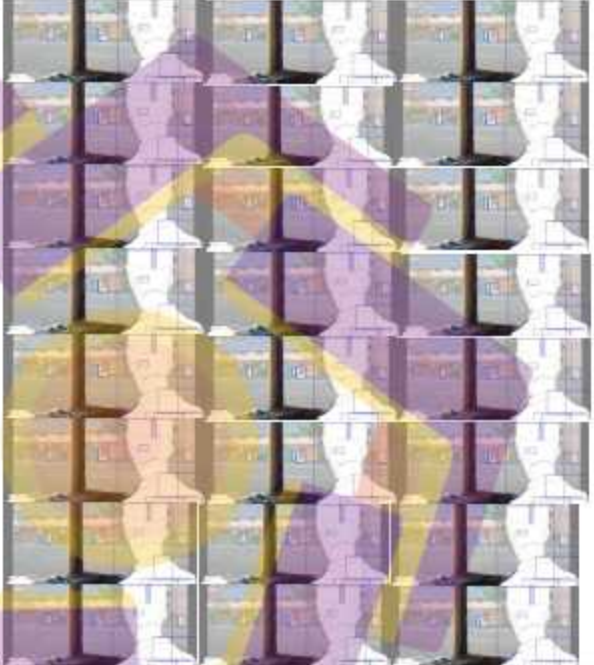


Tabel 4.7 Hasil deteksi perbedaan shot video animasi

AKT\_ANM\_SC14\_SH14\_FU2 dengan AKT\_ANM\_SC14\_SH14\_FU1 dengan  
menggeser 10 frame di awal ke akhir menggunakan algoritma SSIM (Lanjutan)



Tabel 4.7 Hasil deteksi perbedaan shot video animasi  
 AKT\_ANM\_SC14\_SH14\_FU2 dengan AKT\_ANM\_SC14\_SH14\_FU1 dengan  
 menggeser 10 frame di awal ke akhir menggunakan algoritma SSIM (Lanjutan)

|   |                                                                                                                                                                                                                                                                                                                  |   |   |   |   |   |   |   |   |   |   |   |   |   |   |   |   |   |   |
|---|------------------------------------------------------------------------------------------------------------------------------------------------------------------------------------------------------------------------------------------------------------------------------------------------------------------|---|---|---|---|---|---|---|---|---|---|---|---|---|---|---|---|---|---|
|   |                                                                                                                                                                                                                               |   |   |   |   |   |   |   |   |   |   |   |   |   |   |   |   |   |   |
|   | Dari nilai SSIM diproses kembali untuk mengetahui secara visual secara lebih jelas lagi pada bagian mana pada image yang memiliki perbedaan kontur tersebut berada dengan memberikan kontur pada image yang berbeda yaitu melakukan perulangan pada kontur untuk mendapatkan visual gambar yang berbeda tersebut |   |   |   |   |   |   |   |   |   |   |   |   |   |   |   |   |   |   |
|   | <table border="1" data-bbox="477 1227 1071 1386"> <tbody> <tr> <td>d</td><td>b</td><td>b</td><td>d</td><td>b</td><td>b</td><td>d</td><td>b</td><td>b</td> </tr> <tr> <td>d</td><td>b</td><td>b</td><td>d</td><td>b</td><td>b</td><td>d</td><td>b</td><td>b</td> </tr> </tbody> </table>                          | d | b | b | d | b | b | d | b | b | d | b | b | d | b | b | d | b | b |
| d | b                                                                                                                                                                                                                                                                                                                | b | d | b | b | d | b | b |   |   |   |   |   |   |   |   |   |   |   |
| d | b                                                                                                                                                                                                                                                                                                                | b | d | b | b | d | b | b |   |   |   |   |   |   |   |   |   |   |   |

Tabel 4.7 Hasil deteksi perbedaan shot video animasi  
 AKT\_ANM\_SC14\_SH14\_FU2 dengan AKT\_ANM\_SC14\_SH14\_FU1 dengan  
 menggeser 10 frame di awal ke akhir menggunakan algoritma SSIM (Lanjutan)

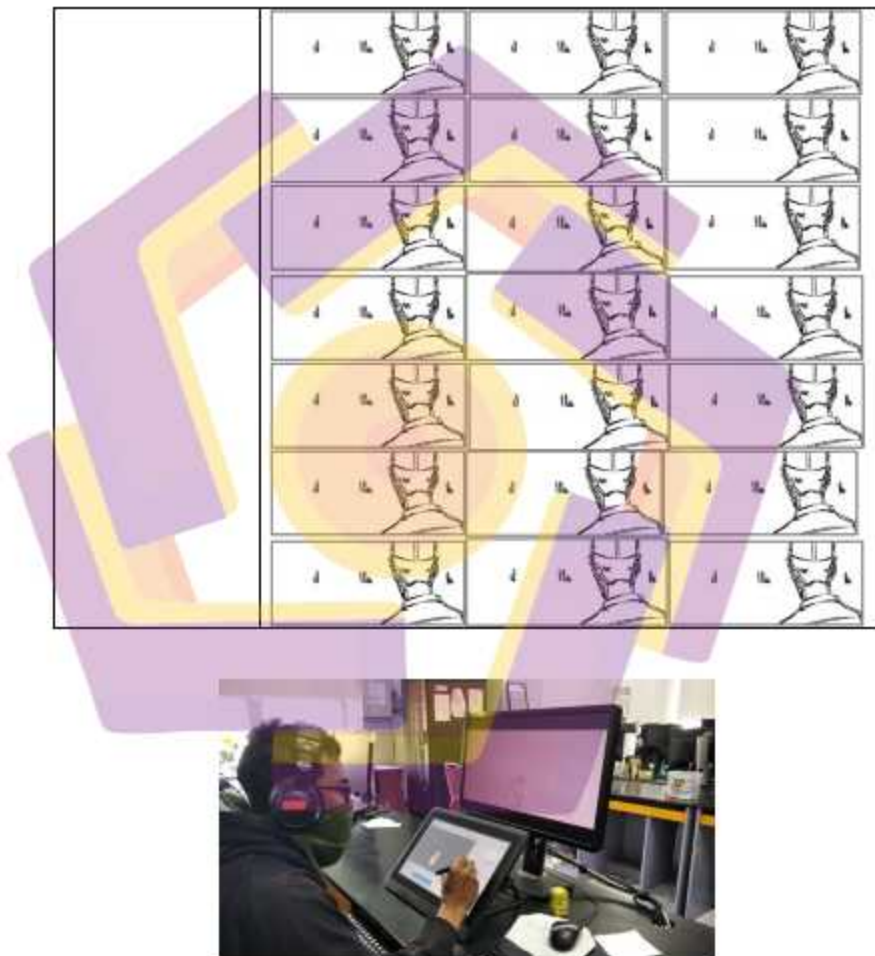
| Perbedaan Gambar | d | Th | b | d | Th | b | d | Th | b |
|------------------|---|----|---|---|----|---|---|----|---|
|                  |   |    |   |   |    |   |   |    |   |
|                  |   |    |   |   |    |   |   |    |   |
|                  |   |    |   |   |    |   |   |    |   |
|                  |   |    |   |   |    |   |   |    |   |
|                  |   |    |   |   |    |   |   |    |   |
|                  |   |    |   |   |    |   |   |    |   |
|                  |   |    |   |   |    |   |   |    |   |
|                  |   |    |   |   |    |   |   |    |   |
|                  |   |    |   |   |    |   |   |    |   |

Tabel 4.7 Hasil deteksi perbedaan shot video animasi

AKT\_ANM\_SC14\_SH14\_FU2 dengan AKT\_ANM\_SC14\_SH14\_FU1 dengan menggeser 10 frame di awal ke akhir menggunakan algoritma SSIM (Lanjutan)

|  |  |  |  |
|--|--|--|--|
|  |  |  |  |
|  |  |  |  |
|  |  |  |  |
|  |  |  |  |
|  |  |  |  |
|  |  |  |  |
|  |  |  |  |
|  |  |  |  |
|  |  |  |  |
|  |  |  |  |
|  |  |  |  |
|  |  |  |  |
|  |  |  |  |
|  |  |  |  |
|  |  |  |  |
|  |  |  |  |
|  |  |  |  |
|  |  |  |  |
|  |  |  |  |
|  |  |  |  |
|  |  |  |  |
|  |  |  |  |
|  |  |  |  |
|  |  |  |  |
|  |  |  |  |
|  |  |  |  |
|  |  |  |  |
|  |  |  |  |
|  |  |  |  |
|  |  |  |  |
|  |  |  |  |
|  |  |  |  |
|  |  |  |  |
|  |  |  |  |
|  |  |  |  |
|  |  |  |  |
|  |  |  |  |
|  |  |  |  |
|  |  |  |  |
|  |  |  |  |
|  |  |  |  |
|  |  |  |  |
|  |  |  |  |
|  |  |  |  |
|  |  |  |  |
|  |  |  |  |
|  |  |  |  |
|  |  |  |  |
|  |  |  |  |
|  |  |  |  |
|  |  |  |  |
|  |  |  |  |
|  |  |  |  |
|  |  |  |  |
|  |  |  |  |
|  |  |  |  |
|  |  |  |  |
|  |  |  |  |
|  |  |  |  |
|  |  |  |  |
|  |  |  |  |
|  |  |  |  |
|  |  |  |  |
|  |  |  |  |
|  |  |  |  |
|  |  |  |  |
|  |  |  |  |
|  |  |  |  |
|  |  |  |  |
|  |  |  |  |
|  |  |  |  |
|  |  |  |  |
|  |  |  |  |
|  |  |  |  |
|  |  |  |  |
|  |  |  |  |
|  |  |  |  |
|  |  |  |  |
|  |  |  |  |
|  |  |  |  |
|  |  |  |  |
|  |  |  |  |
|  |  |  |  |
|  |  |  |  |
|  |  |  |  |
|  |  |  |  |
|  |  |  |  |
|  |  |  |  |
|  |  |  |  |
|  |  |  |  |
|  |  |  |  |
|  |  |  |  |
|  |  |  |  |
|  |  |  |  |
|  |  |  |  |
|  |  |  |  |
|  |  |  |  |
|  |  |  |  |
|  |  |  |  |
|  |  |  |  |
|  |  |  |  |
|  |  |  |  |
|  |  |  |  |
|  |  |  |  |
|  |  |  |  |
|  |  |  |  |
|  |  |  |  |
|  |  |  |  |
|  |  |  |  |
|  |  |  |  |
|  |  |  |  |
|  |  |  |  |
|  |  |  |  |
|  |  |  |  |
|  |  |  |  |
|  |  |  |  |
|  |  |  |  |
|  |  |  |  |
|  |  |  |  |
|  |  |  |  |
|  |  |  |  |
|  |  |  |  |
|  |  |  |  |
|  |  |  |  |
|  |  |  |  |
|  |  |  |  |
|  |  |  |  |
|  |  |  |  |
|  |  |  |  |
|  |  |  |  |
|  |  |  |  |
|  |  |  |  |
|  |  |  |  |
|  |  |  |  |
|  |  |  |  |
|  |  |  |  |
|  |  |  |  |
|  |  |  |  |
|  |  |  |  |
|  |  |  |  |
|  |  |  |  |
|  |  |  |  |
|  |  |  |  |
|  |  |  |  |
|  |  |  |  |
|  |  |  |  |
|  |  |  |  |
|  |  |  |  |
|  |  |  |  |
|  |  |  |  |
|  |  |  |  |
|  |  |  |  |
|  |  |  |  |
|  |  |  |  |
|  |  |  |  |
|  |  |  |  |
|  |  |  |  |

Tabel 4.7 Hasil deteksi perbedaan shot video animasi  
AKT\_ANM\_SC14\_SH14\_FU2 dengan AKT\_ANM\_SC14\_SH14\_FU1 dengan  
menggeser 10 frame di awal ke akhir menggunakan algoritma SSIM (Lanjutan)



Gambar 4.8 Pengecekan uji akurasi yang dilakukan oleh animator senior  
MSV Studio

Pada Gambar 4.8 dilakukan pengujian dengan shot animasi antara WHALE\_ANM\_SC01\_SH01\_FU1 dengan WHALE\_ANM\_SC01\_SH01. Pada pengujian ini mendapatkan kesesuaian akurasi antara tools deteksi perbedaan shot animasi 2 dimensi menggunakan algoritma SSIM dengan perubahan revisi yang dilakukan oleh animator yakni perubahan gerakan kepala yang sebelum di revisi sedikit menunduk dan ketika sudah dilakukan revisi oleh animator gerakan kepala menjadi lebih menduduk. Begitu juga pertubahan baju pada shot animasi yang sebelumnya memakai jump suit yang dilakukan perubahan revisi menjadi terlihat memakai kaos juga mendapatkan kesesuaian antara hasil deteksi algoritma SSIM ini dengan perubahan animasi yang dilakukan animator.

Tabel 4.8 Hasil deteksi perbedaan shot video animasi

WHALE\_ANM\_SC01\_SH01\_FU1 dengan WHALE\_ANM\_SC01\_SH01

|            | Video shot Animasi Revisi                                                          | Video shot Animasi                                                                 |
|------------|------------------------------------------------------------------------------------|------------------------------------------------------------------------------------|
|            |                                                                                    |                                                                                    |
| Konversi   | Creating.../content/...ANM_S<br>OL_SC14_SH14_FU2/frame_00000.jpg - frame_00095.jpg | Creating.../content/...ANM_SOL_SC<br>14_SH14_FU1/frame_00000.jpg - frame_00095.jpg |
| Compare    |                                                                                    |                                                                                    |
| Nilai SSIM | F0 = 0.9932883609562811                                                            | F36 = 0.9932883056516201                                                           |
|            | F1 = 0.9932883609562811                                                            | F37 = 0.9934263457022255                                                           |
|            | F2 = 0.9932883609562811                                                            | F38 = 0.9934263457022255                                                           |
|            | F3 = 0.9932883609562811                                                            | F39 = 0.9934098074899252                                                           |
|            | F4 = 0.9932883609562811                                                            | F40 = 0.9934098074899252                                                           |
|            | F5 = 0.9932992459312233                                                            | F41 = 0.9933121048345437                                                           |
|            | F6 = 0.9932992459312233                                                            | F42 = 0.9933121048345437                                                           |
|            | F7 = 0.993321777716349                                                             | F43 = 0.9933292572383141                                                           |

Tabel 4.8 Hasil deteksi perbedaan shot video animasi WHALE\_ANM\_SC01\_SH01\_FU1 dengan WHALE\_ANM\_SC01\_SH01 (Lanjutan)

|  |                                                                                                                                                                                                                                                                                                                                                                                                                                                                                                                                             |                          |
|--|---------------------------------------------------------------------------------------------------------------------------------------------------------------------------------------------------------------------------------------------------------------------------------------------------------------------------------------------------------------------------------------------------------------------------------------------------------------------------------------------------------------------------------------------|--------------------------|
|  | F8 = 0.993321777716349                                                                                                                                                                                                                                                                                                                                                                                                                                                                                                                      | F44 = 0.9933292572383141 |
|  | F9 = 0.993321777716349                                                                                                                                                                                                                                                                                                                                                                                                                                                                                                                      | F45 = 0.9933292572383141 |
|  | F10 = 0.993321777716349                                                                                                                                                                                                                                                                                                                                                                                                                                                                                                                     | F46 = 0.9933770126169863 |
|  | F11 = 0.9933063510540814                                                                                                                                                                                                                                                                                                                                                                                                                                                                                                                    | F47 = 0.9933770126169863 |
|  | F12 = 0.9933063510540814                                                                                                                                                                                                                                                                                                                                                                                                                                                                                                                    | F48 = 0.9933770126169863 |
|  | F13 = 0.9932992684075931                                                                                                                                                                                                                                                                                                                                                                                                                                                                                                                    | F49 = 0.9933770126169863 |
|  | F14 = 0.9932992684075931                                                                                                                                                                                                                                                                                                                                                                                                                                                                                                                    | F50 = 0.9933768765001774 |
|  | F15 = 0.9932992684075931                                                                                                                                                                                                                                                                                                                                                                                                                                                                                                                    | F51 = 0.9933768765001774 |
|  | F16 = 0.9932992684075931                                                                                                                                                                                                                                                                                                                                                                                                                                                                                                                    | F52 = 0.9933768765001774 |
|  | F17 = 0.9932918280927915                                                                                                                                                                                                                                                                                                                                                                                                                                                                                                                    | F53 = 0.9933978089027505 |
|  | F18 = 0.9932918280927915                                                                                                                                                                                                                                                                                                                                                                                                                                                                                                                    | F54 = 0.9933978089027505 |
|  | F19 = 0.9932883056516201                                                                                                                                                                                                                                                                                                                                                                                                                                                                                                                    | F55 = 0.9934220540769859 |
|  | F20 = 0.9932883056516201                                                                                                                                                                                                                                                                                                                                                                                                                                                                                                                    | F56 = 0.9934220540769859 |
|  | F21 = 0.9932992262801386                                                                                                                                                                                                                                                                                                                                                                                                                                                                                                                    | F57 = 0.9934220540769859 |
|  | F22 = 0.9932992262801386                                                                                                                                                                                                                                                                                                                                                                                                                                                                                                                    | F58 = 0.9934220540769859 |
|  | F23 = 0.9933217778007847                                                                                                                                                                                                                                                                                                                                                                                                                                                                                                                    | F59 = 0.9934061889700939 |
|  | F24 = 0.9933217778007847                                                                                                                                                                                                                                                                                                                                                                                                                                                                                                                    | F60 = 0.9934061889700939 |
|  | F25 = 0.9933217778007847                                                                                                                                                                                                                                                                                                                                                                                                                                                                                                                    | F61 = 0.9933978796506645 |
|  | F26 = 0.9933217778007847                                                                                                                                                                                                                                                                                                                                                                                                                                                                                                                    | F62 = 0.9933978796506645 |
|  | F27 = 0.9933063510540814                                                                                                                                                                                                                                                                                                                                                                                                                                                                                                                    | F63 = 0.9933866448195341 |
|  | F28 = 0.9933063510540814                                                                                                                                                                                                                                                                                                                                                                                                                                                                                                                    | F64 = 0.9933866448195341 |
|  | F29 = 0.9932992684075931                                                                                                                                                                                                                                                                                                                                                                                                                                                                                                                    | F65 = 0.9933767509617815 |
|  | F30 = 0.9932992684075931                                                                                                                                                                                                                                                                                                                                                                                                                                                                                                                    | F66 = 0.9933767509617815 |
|  | F31 = 0.9932918280927915                                                                                                                                                                                                                                                                                                                                                                                                                                                                                                                    | F67 = 0.9933767509617815 |
|  | F32 = 0.9932918280927915                                                                                                                                                                                                                                                                                                                                                                                                                                                                                                                    | F68 = 0.9933767509617815 |
|  | F33 = 0.9932883056516201                                                                                                                                                                                                                                                                                                                                                                                                                                                                                                                    | F69 = 0.9933767509617815 |
|  | F34 = 0.9932883056516201                                                                                                                                                                                                                                                                                                                                                                                                                                                                                                                    | F70 = 0.9933767509617815 |
|  | F35 = 0.9932883056516201                                                                                                                                                                                                                                                                                                                                                                                                                                                                                                                    | F71 = 0.9933767509617815 |
|  | Pada nilai SSIM terlihat tidak ada nilai 1 pada frame 0 sampai dengan frame 71, terlihat nilai SSIM antara 0.9932 sampai 0.9934 artinya dari nilai SSIM tersebut dapat dijadikan acuan sebagai parameter awal bahwa terdapat perbedaan pada 2 image yang dibandingkan. Selanjutnya dari nilai tersebut dapat dianalisis lebih lanjut pada frame yang dibandingkan sehingga perbedaan video shot animasi dengan video shot animasi revisi dapat dibuktikan pada proses selanjutnya untuk mendeteksi dimanakah letak atau posisi perbedaannya |                          |

Tabel 4.8 Hasil deteksi perbedaan shot video animasi WHALE\_ANM\_SC01\_SH01 dengan WHALE\_ANM\_SC01\_SH01 (Lanjutan)

The diagram illustrates the effect of a phase shift between two waves on their interference pattern. It consists of a grid of 16 small squares arranged in a 4x4 pattern. Each square contains a yellow or purple shaded region representing an interference zone. The labels  $\psi_{E1}$  and  $\psi_{E2}$  are placed above the first two columns of squares. The labels  $\psi_{D1}$  and  $\psi_{D2}$  are placed above the last two columns of squares. The labels  $\psi_{T1}$  and  $\psi_{T2}$  are placed above the first two rows of squares. The labels  $\psi_{R1}$  and  $\psi_{R2}$  are placed above the last two rows of squares. The labels  $\psi_{B1}$  and  $\psi_{B2}$  are placed to the left of the first two columns of squares. The labels  $\psi_{A1}$  and  $\psi_{A2}$  are placed to the left of the last two columns of squares. The labels  $\psi_{C1}$  and  $\psi_{C2}$  are placed to the left of the first two rows of squares. The labels  $\psi_{S1}$  and  $\psi_{S2}$  are placed to the left of the last two rows of squares. The labels  $\psi_{L1}$  and  $\psi_{L2}$  are placed to the right of the first two columns of squares. The labels  $\psi_{M1}$  and  $\psi_{M2}$  are placed to the right of the last two columns of squares. The labels  $\psi_{N1}$  and  $\psi_{N2}$  are placed below the first two rows of squares. The labels  $\psi_{P1}$  and  $\psi_{P2}$  are placed below the last two rows of squares. The labels  $\psi_{Q1}$  and  $\psi_{Q2}$  are placed below the first two columns of squares. The labels  $\psi_{R1}$  and  $\psi_{R2}$  are placed below the last two columns of squares. The labels  $\psi_{S1}$  and  $\psi_{S2}$  are placed below the first two rows of squares. The labels  $\psi_{T1}$  and  $\psi_{T2}$  are placed below the last two rows of squares. The labels  $\psi_{U1}$  and  $\psi_{U2}$  are placed to the right of the first two columns of squares. The labels  $\psi_{V1}$  and  $\psi_{V2}$  are placed to the right of the last two columns of squares. The labels  $\psi_{W1}$  and  $\psi_{W2}$  are placed below the first two rows of squares. The labels  $\psi_{X1}$  and  $\psi_{X2}$  are placed below the last two rows of squares. The labels  $\psi_{Y1}$  and  $\psi_{Y2}$  are placed to the right of the first two columns of squares. The labels  $\psi_{Z1}$  and  $\psi_{Z2}$  are placed to the right of the last two columns of squares. The labels  $\psi_{A1}$  and  $\psi_{A2}$  are placed to the left of the first two rows of squares. The labels  $\psi_{B1}$  and  $\psi_{B2}$  are placed to the left of the last two rows of squares. The labels  $\psi_{C1}$  and  $\psi_{C2}$  are placed to the left of the first two columns of squares. The labels  $\psi_{D1}$  and  $\psi_{D2}$  are placed to the left of the last two columns of squares. The labels  $\psi_{E1}$  and  $\psi_{E2}$  are placed to the left of the first two rows of squares. The labels  $\psi_{F1}$  and  $\psi_{F2}$  are placed to the left of the last two rows of squares. The labels  $\psi_{G1}$  and  $\psi_{G2}$  are placed to the left of the first two columns of squares. The labels  $\psi_{H1}$  and  $\psi_{H2}$  are placed to the left of the last two columns of squares. The labels  $\psi_{I1}$  and  $\psi_{I2}$  are placed to the left of the first two rows of squares. The labels  $\psi_{J1}$  and  $\psi_{J2}$  are placed to the left of the last two rows of squares. The labels  $\psi_{K1}$  and  $\psi_{K2}$  are placed to the left of the first two columns of squares. The labels  $\psi_{L1}$  and  $\psi_{L2}$  are placed to the left of the last two columns of squares. The labels  $\psi_{M1}$  and  $\psi_{M2}$  are placed to the left of the first two rows of squares. The labels  $\psi_{N1}$  and  $\psi_{N2}$  are placed to the left of the last two rows of squares. The labels  $\psi_{O1}$  and  $\psi_{O2}$  are placed to the left of the first two columns of squares. The labels  $\psi_{P1}$  and  $\psi_{P2}$  are placed to the left of the last two columns of squares. The labels  $\psi_{Q1}$  and  $\psi_{Q2}$  are placed to the left of the first two rows of squares. The labels  $\psi_{R1}$  and  $\psi_{R2}$  are placed to the left of the last two rows of squares. The labels  $\psi_{S1}$  and  $\psi_{S2}$  are placed to the left of the first two columns of squares. The labels  $\psi_{T1}$  and  $\psi_{T2}$  are placed to the left of the last two columns of squares. The labels  $\psi_{U1}$  and  $\psi_{U2}$  are placed to the left of the first two rows of squares. The labels  $\psi_{V1}$  and  $\psi_{V2}$  are placed to the left of the last two rows of squares. The labels  $\psi_{W1}$  and  $\psi_{W2}$  are placed to the left of the first two columns of squares. The labels  $\psi_{X1}$  and  $\psi_{X2}$  are placed to the left of the last two columns of squares. The labels  $\psi_{Y1}$  and  $\psi_{Y2}$  are placed to the left of the first two rows of squares. The labels  $\psi_{Z1}$  and  $\psi_{Z2}$  are placed to the left of the last two rows of squares.

Tabel 4.8 Hasil deteksi perbedaan shot video animasi WHALE\_ANM\_SC01\_SH01\_FU1 dengan WHALE\_ANM\_SC01\_SH01 (Lanjutan)

|                | $\Delta_{1,1}$                                                                                                                                                                                                                                                                                                   | $\Delta_{1,2}$ | $\Delta_{1,3}$ |
|----------------|------------------------------------------------------------------------------------------------------------------------------------------------------------------------------------------------------------------------------------------------------------------------------------------------------------------|----------------|----------------|
| $\Delta_{2,1}$ |                                                                                                                                                                                                                                                                                                                  |                |                |
| $\Delta_{2,2}$ |                                                                                                                                                                                                                                                                                                                  |                |                |
| $\Delta_{2,3}$ |                                                                                                                                                                                                                                                                                                                  |                |                |
| $\Delta_{3,1}$ |                                                                                                                                                                                                                                                                                                                  |                |                |
| $\Delta_{3,2}$ |                                                                                                                                                                                                                                                                                                                  |                |                |
| $\Delta_{3,3}$ |                                                                                                                                                                                                                                                                                                                  |                |                |
| $\Delta_{4,1}$ |                                                                                                                                                                                                                                                                                                                  |                |                |
| $\Delta_{4,2}$ |                                                                                                                                                                                                                                                                                                                  |                |                |
| $\Delta_{4,3}$ |                                                                                                                                                                                                                                                                                                                  |                |                |
| $\Delta_{5,1}$ |                                                                                                                                                                                                                                                                                                                  |                |                |
| $\Delta_{5,2}$ |                                                                                                                                                                                                                                                                                                                  |                |                |
| $\Delta_{5,3}$ |                                                                                                                                                                                                                                                                                                                  |                |                |
| $\Delta_{6,1}$ |                                                                                                                                                                                                                                                                                                                  |                |                |
| $\Delta_{6,2}$ |                                                                                                                                                                                                                                                                                                                  |                |                |
| $\Delta_{6,3}$ |                                                                                                                                                                                                                                                                                                                  |                |                |
| $\Delta_{7,1}$ |                                                                                                                                                                                                                                                                                                                  |                |                |
| $\Delta_{7,2}$ |                                                                                                                                                                                                                                                                                                                  |                |                |
| $\Delta_{7,3}$ |                                                                                                                                                                                                                                                                                                                  |                |                |
| $\Delta_{8,1}$ |                                                                                                                                                                                                                                                                                                                  |                |                |
| $\Delta_{8,2}$ |                                                                                                                                                                                                                                                                                                                  |                |                |
| $\Delta_{8,3}$ |                                                                                                                                                                                                                                                                                                                  |                |                |
| $\Delta_{9,1}$ |                                                                                                                                                                                                                                                                                                                  |                |                |
| $\Delta_{9,2}$ |                                                                                                                                                                                                                                                                                                                  |                |                |
| $\Delta_{9,3}$ |                                                                                                                                                                                                                                                                                                                  |                |                |
|                | Dari nilai SSIM diproses kembali untuk mengetahui secara visual secara lebih jelas lagi pada bagian mana pada image yang memiliki perbedaan kontur tersebut berada dengan memberikan kontur pada image yang berbeda yaitu melakukan perulangan pada kontur untuk mendapatkan visual gambar yang berbeda tersebut |                |                |

Tabel 4.8 Hasil deteksi perbedaan shot video animasi WHALE\_ANM\_SC01\_SH01\_FU1 dengan WHALE\_ANM\_SC01\_SH01 (Lanjutan)

|                  |   |   |   |
|------------------|---|---|---|
|                  | e | e | e |
|                  | e | e | e |
|                  | e | e | e |
|                  | e | e | e |
|                  | e | e | e |
|                  | e | e | e |
|                  | e | e | e |
|                  | e | e | e |
|                  | e | e | e |
|                  | e | e | e |
|                  | e | e | e |
|                  | e | e | e |
|                  | e | e | e |
|                  | e | e | e |
| Perbedaan Gambar | e | e | e |

Tabel 4.8 Hasil deteksi perbedaan shot video animasi WHALE\_ANM\_SC01\_SH01\_FU1 dengan WHALE\_ANM\_SC01\_SH01 (Lanjutan)

|   |   |   |
|---|---|---|
| ε | ε | ε |
| ε | ε | ε |
| ε | ε | ε |
| ε | ε | ε |
| ε | ε | ε |
| ε | ε | ε |
| ε | ε | ε |
| ε | ε | ε |
| ε | ε | ε |
| ε | ε | ε |
| ε | ε | ε |
| ε | ε | ε |
| ε | ε | ε |
| ε | ε | ε |
| ε | ε | ε |
| ε | ε | ε |
| ε | ε | ε |

#### 4.6 Analisis Hasil Pengujian

Pada hasil pengujian deteksi perbedaan shot video animasi 2 dimensi menggunakan algoritma SSIM ini dilakukan pada 593 frame data image sebelum dilakukan revisi yang dibandingkan dengan 593 frame data image setelah

dilakukan revisi dengan menggunakan google colabulatory sebagai tempat melakukan eksperimen pengolahan data image. Data image diambil dari project milik MSV Studio berupa video format MOV codec Animation resolusi 2048 x 872 dengan frame rate 24 fps yang kemudian dikonversi ke format JPG agar dapat dilakukan analisis.

Penggunaan algoritma SSIM dipilih sebagai metode dalam mendeteksi perbedaan image karena mempunyai kelebihan algoritma ini sangat sensitive terhadap perubahan pixel pada image. Setiap perbedaan pixel akan dinilai oleh algoritma SSIM dan dari nilai SSIM ini dikembangkan menggunakan fungsi threshold dan kontur untuk membuktikan secara visual dimana perbedaan itu. Harapannya dengan menerapkan algoritma ini, dari nilai SSIM yang didapat pada image yang dibandingkan akan mendapatkan perbedaan image yang akurat. Tahap pertama dalam mendeteksi perbedaan video shot animasi 2 dimensi ini adalah melakukan konversi dari MOV ke JPG untuk mempermudah dalam menganalisis deteksi perbedaan image. Setelah dikonversi image akan dibandingkan dan dikomputasi menggunakan algoritma SSIM untuk mendapatkan nilai SSIM agar dapat diproses lebih lanjut menggunakan fungsi threshold dan kontur, sehingga secara visual dapat terlihat perbedaan shot.

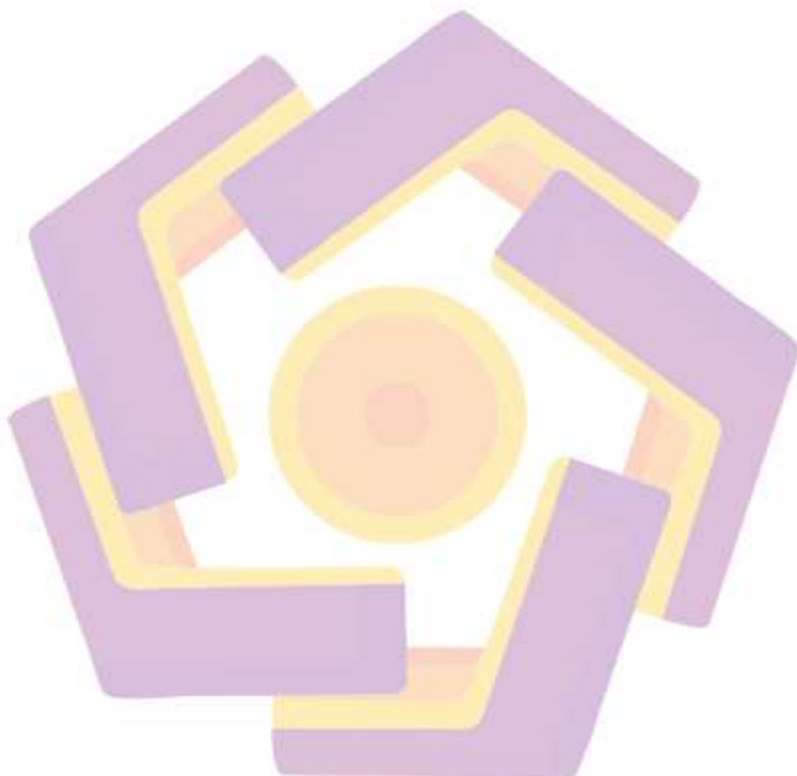
Hasil pengujian data training dengan beragam scenario uji, berikut dengan pengujian data uji didapatkan kelemahan bahwa algoritma SSIM ini belum dapat dijadikan metode utama dalam mengecek kebenaran deteksi perbedaan shot dengan catatan revisi yang diberikan oleh coordinator ataupun supervisor. Apapun revisi perubahan animasi yang dilakukan oleh animator akan terdeteksi dengan

menggunakan algoritma SSIM. Pada penelitian ini algoritma SSIM hanya dapat digunakan sebagai validasi atau pendukung analisis dalam mengecek antara catatan revisi dengan perubahan revisi yang dilakukan oleh animator.

Setiap piksel image yang sama antara dua image yang dibandingkan baik posisi, rotasi, dan skala tidak dapat divisualisasikan oleh fungsi threshold dan kontur sehingga dapat dikatakan image antara revisi dan sesudah revisi adalah sama. Pada penelitian ini, fitur berupa lokasi letak perbedaan telah didapatkan dan juga gambar visual perbedaannya terlihat jelas. Dari hasil pengujian data, modeling sistem ini dalam mendeteksi perbedaan ketika mengkomputasi nilai ssim untuk menghasilkan kotak batasan agar dapat mengetahui letak perbedaan terdapat 16 frame error karena ketika dilihat secara human visual system tidak terdapat perbedaan apapun, hal itu dibuktikan dengan menjalankan fungsi pencarian kontur yang hasilnya tidak terdapat visual gambar yang berbeda pada 12 frame yang error tersebut sehingga dapat disimpulkan bahwa algoritma SSIM mampu mendeteksi perbedaan video shot animasi 2 dimensi secara akurat.

Dalam mengukur kecepatan dalam mendeteksi perbedaan spesifikasi computer yang dipakai adalah Lenovo IdeaPad Z360 2.53Ghz Core i3-M380 dengan memory DDR2 6 Gigabyte. Menggunakan Google Chrome sebagai web browser untuk mengakses Google Colaboratory. Sebelum pengolahan data kecepatan internet wifi ditest terlebih dahulu menggunakan speedtest dan yang didapatkan adalah Download sebesar 8.46 Mbps dan Upload 7.34 Mbps. Device untuk memproses komputasi deteksi perbedaan video shot animasi 2 dimensi yang didapatkan dari google colaboratory adalah Tesla P100-PCIE-16GB. Kecepatan

yang didapatkan dari hasil pengujian adalah total keseluruhan waktu sebesar 5386.05 detik dibagi total keseluruhan frame yang diuji sebanyak 593 frame menghasilkan kecepatan rata-rata 9.08 detik per image yang dibandingkan.



## BAB V

### Kesimpulan dan Saran

#### 5.1 Kesimpulan

Dari hasil penelitian dan pengujian yang telah dilakukan, maka menghasilkan kesimpulan sebagai berikut :

1. Algoritma SSIM (Structural Similarity Index Measure) dapat digunakan untuk mendeteksi perbedaan shot animasi 2 Dimensi sebelum revisi dan sesudah revisi
2. Berdasarkan hasil pengujian didapatkan keakuratan dalam mengidentifikasi kontur image yang berbeda menggunakan algoritma SSIM (Structural Similarity Index Measure). Kecepatan deteksi algoritma SSIM dalam mendeteksi perbedaan shot video animasi 2 dimensi mulai dari konversi sampai menghasilkan visual gambar perbedaan dari 593 frame yang dibandingkan mendapatkan waktu rata-rata 9,08 detik

#### 5.2 Saran

Saran yang diberikan dari penelitian ini untuk penelitian selanjutnya sebagai berikut :

1. Akurasi dalam deteksi lokasi perbedaan shot animasi 2 dimensi perlu ditingkatkan lagi agar mendapatkan margin of error 0% dengan menambahkan variable peningkatan kualitas image

2. Untuk deteksi perbedaan shot animasi yang lebih baik dapat dikembangkan dalam mendeteksi perbedaan warna pada shot animasi 2 dimensi
3. Deteksi perbedaan shot animasi 2D ini dapat dikembangkan lagi dengan deteksi perbedaan shot yang mendapatkan deteksi yang sesuai dengan catatan yang diberikan oleh supervisor dengan menambahkan variable prediksi



## DAFTAR PUSTAKA

### PUSTAKA BUKU

- Adinda, & Adjie., 2011, B1 3d Studio Max 9 +Cd. Film Animasi 2d Berbasis 3d Menggunakan Teknik Cell Shading Berjudul The Postman Story.
- Hampton, M., 2010, *Figure Drawing: Design and Invention*, M, Hampton.
- Thomas, F., Johnston, O., 1981, *The Illusion of Life* : Disney Animation. Newyork.
- Vaughan, T., 2008, *Multimedia: Making It Work Seventh Edition*. United States of America.
- Vega, W., 2004, *The Making of Animation: Homeland*. Megindo Tunggal Sejahtera : Bandung.

### PUSTAKA JURNAL ILMIAH

- Amalia, S., 2019, Perancangan Animasi 2D Sebagai Media Edukasi Tentang Menumbuhkan Rasa Percaya Diri Untuk Remaja Tuna Rungu, *Jurnal Komunikasi Visual Wimba*, Vol. 10 No. 2, 107-120.
- Ambarwati, A., Passarella, R., Sutarno. (2016). Segmentasi Citra digital Menggunakan Thresholding Otsu untuk Analisa Perbandingan Deteksi Tepi. *Prosiding Annual Research Seminar 2016(2)*. Retrieved from <http://seminar.ilkom.unisri.ac.id/index.php/ars/article/viewFile/855/764>
- A, V., Singh, A., Anand, N., Raj, M., Bharati, A., Murthy, K. N. B., & Natarajan, S., 2018, *Surveillance Robots based on Pose Invariant Face Recognition Using SSIM and Spectral Clustering*, Procedia Computer Science, 133, 940–951. doi:10.1016/j.procs.2018.07.088.
- C. Bregler., 2007, "Motion Capture Technology for Entertainment [In the Spotlight]," in IEEE Signal Processing Magazine, vol. 24, no. 6, pp. 160-158, doi: 10.1109/MSP.2007.906023.
- Daly, S. J., 1992, *Visible differences predictor: an algorithm for the assessment*, Proceedings Volume 1666, Human Vision, Visual Processing, and Digital Display III, doi.org/10.11117.12.135952.

Guofeng Chen, Yinglong Shen, Fushi Yao, Peipei Liu, & Yunyi Liu., 2015, *Region-based moving object detection Using SSIM*, 2015 4th

*International Conference on Computer Science and Network Technology (ICCSNT)*, doi:10.1109/iccsnt.2015.7490981.

Jahan, M., Rushu, F.R., Tabassum,S., Ferdous,J., 2018, *Detecting Anomalies in Human Eyes using Structural Similarity Index Measurement*, Department of Computer Science and Engineering, Brac University, <http://hdl.handle.net/10361/11722>.

L. Zhang, L. Zhang, X. Mou and D. Zhang, "FSIM: A Feature Similarity Index for Image Quality Assessment," in *IEEE Transactions on Image Processing*, vol. 20, no. 8, pp. 2378-2386, Aug. 2011, doi: 10.1109/TIP.2011.2109730.

Liu, H., Tan, T.-H., & Kuo, T.-Y., 2019, *A Novel Shot Detection Approach Based on ORB Fused with Structural Similarity*, *IEEE Access*, I-I, doi:10.1109/access.2019.2962328.

Mauludy, A.T., Khrisne,D.C.,Saputra,K.O., 2020, Rancang bangun aplikasi pencarian slot parkir kosong untuk kendaraan roda empat dengan pendekatan computer vision, *Jurnal SPEKTRUM*, [S.I.], v. 7, n. 1, p. 36-40, mar. 2020. ISSN 2684-9186. Available at: <<https://ojs.unud.ac.id/index.php/spektrum/article/view/58094>>. Date accessed: 30 mar. 2020. doi: <https://doi.org/10.24843/SPEKTRUM.2020.v07.i01.p5>

Nidiansyah, R., Sulistiyyono, A., Purwacandra, P., 2019, Penciptaan Karya Film Animasi 2D "Miliv" Dengan Teknik Hybrid, *Journal of Animation and Games Studies*, 5(1), 057-076.

Patiil, A. B.,& Shaikh, J. A. (2016). OTSU Thresholding Method for Flower Image Segmentation. *International Journal of Computational Engineering Research (IJCER)*, 6(5). Retrieved from [http://www.ijceronline.com/papers/Vol6\\_issue5/A0650106.pdf](http://www.ijceronline.com/papers/Vol6_issue5/A0650106.pdf).

Peng, J., Shi, C., Langeman, E., Hu, W., Zhang, Z., Mutic, S., & Cai, B., 2020, *Implementation of the Structural SIMilarity (SSIM) Index as a Quantitative Evaluation Tool for Dose Distribution Error Detection*, *Medical Physics*, doi:10.1002/mp.14010.

Rahman, F., 2018, "Burnout" Animasi Dua Dimensi Dengan Teknik Rotoscope, *Journal of Animation and Games Studies*, 3(2), 221-248.

Rizal, M., 2017. Animasi Sebagai Media Pembelajaran Tentang Pemanasan "Global warming" Untuk Anak Usia Dini. *Inspirasi: Jurnal Teknologi Informasi Dan Komunikasi*, 7(1), 79-85. doi:10.35585/inspir.v7i1.2439.

Sugiarti, S., 2018. PENINGKATAN KUALITAS CITRA DENGAN METODE FUZZY POSSIBILITY DISTRIBUTION. *ILKOM Jurnal Ilmiah*, 10(1), 100-104, doi:<https://doi.org/10.33096/ilkom.v10i1.226.100-104>.

Wang, Z., & Bovik, A. C., 2006, *Modern Image Quality Assessment. Synthesis Lectures on Image, Video, and Multimedia Processing*, 2(I), 1-156. doi:[10.2200/s00010ed1v01y200508ivm003](https://doi.org/10.2200/s00010ed1v01y200508ivm003).

Wang, Z., Bovik, A. C., Sheikh, H. R., & Simoncelli, E. P., 2004. Image Quality Assessment: From Error Visibility to Structural Similarity. *IEEE Transactions on Image Processing*, 13(4), 600-612. doi:[10.1109/tip.2003.819861](https://doi.org/10.1109/tip.2003.819861).

Wang, Z., Simoncelli, E. P., & Bovik, A. C. (n.d.), 2003, Multiscale structural similarity for image quality assessment. *The Thirly-Seventh Asilomar Conference on Signals, Systems & Computers*. doi:[10.1109/acscc.2003.1292216](https://doi.org/10.1109/acscc.2003.1292216)

Yuliati, T., 2019, Metode Digital Animation Dalam Pembuatan Film Animasi 2D Vector Dengan Tema Harapan dan Doa, *Jurnal Informatika, Manajemen dan Komputer*, Vol.11 No.1.

Zhou, M., Wang, G., Wang, J., Hui, C., & Yang, W., 2017. *Defect detection of printing images on cans based on SSIM and chromatism*, 2017 3rd IEEE International Conference on Computer and Communications (ICCC). doi:[10.1109/compcomm.2017.8322912](https://doi.org/10.1109/compcomm.2017.8322912).

#### PUSTAKA LAPORAN PENELITIAN

Anhar, F., 2019, Pembuatan Film Pendek Animasi 2D Dengan Teknik Rotoscope Tentang Bullying Berjudul Live a Life, Undergraduate Thesis, Institut Bisnis dan Informatika STIKOM Surabaya.

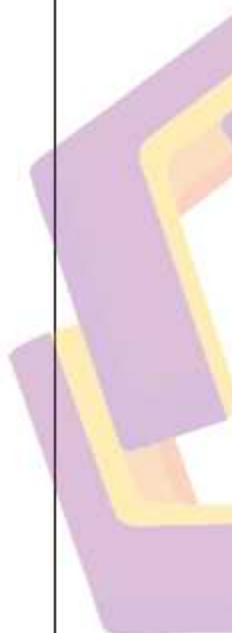
**LAMPIRAN 1**  
**HASIL PENGUJIAN DETEKSI PERBEDAAN SHOT ANIMASI 2**  
**DIMENSI MENGGUNAKAN ALGORITMA STRUCTURAL**  
**SIMILARITY INDEX**

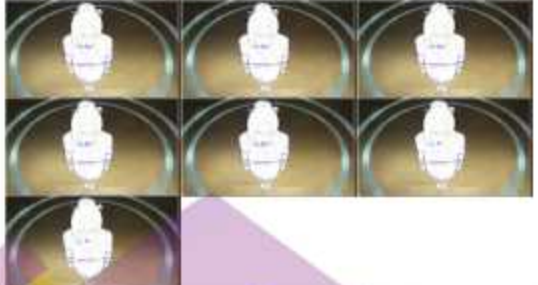
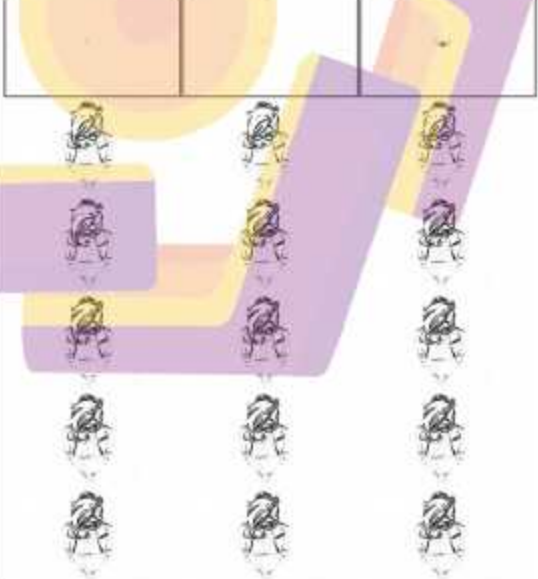
Tabel Hasil Deteksi perbedaan shot video animasi

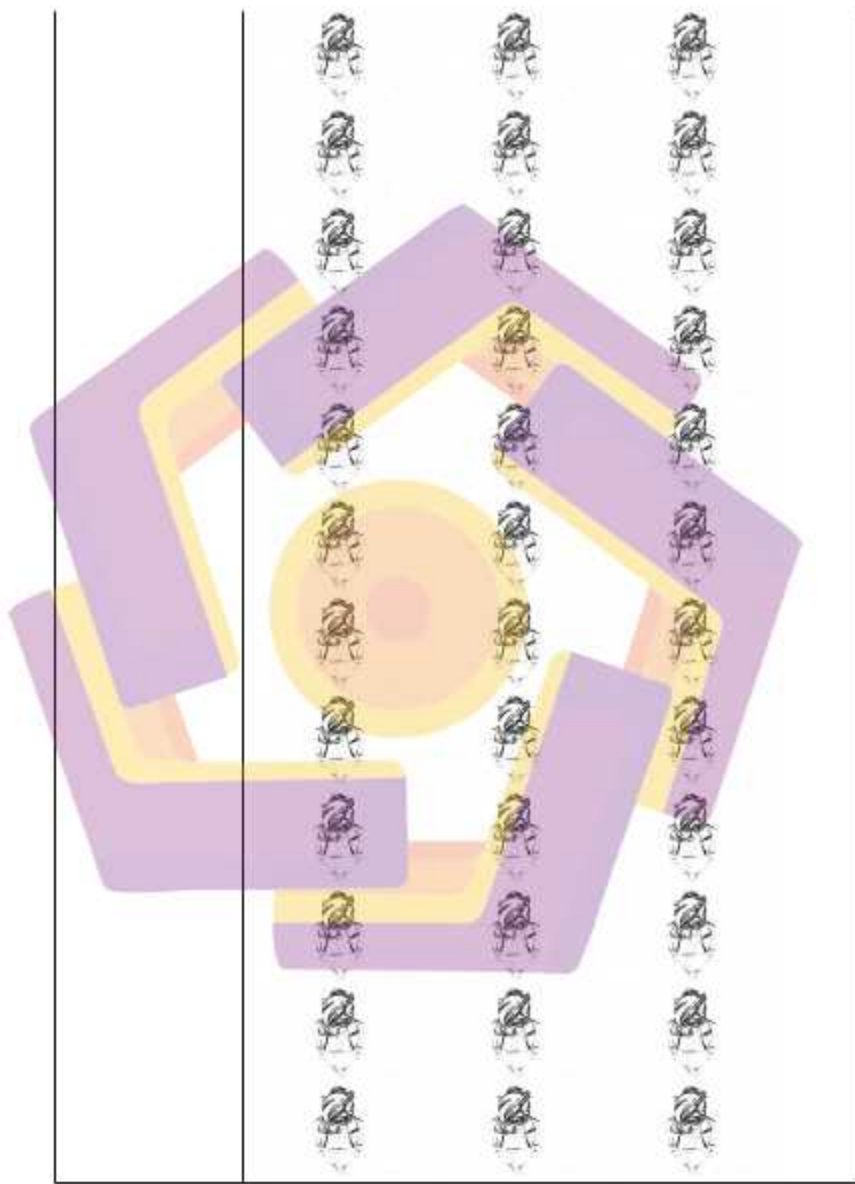
SBN\_ANM\_SC03\_SH05\_FU01 dengan SBN\_ANM\_SC03\_SH05 menggunakan  
algoritma SSIM

|            | Video shot Animasi Revisi                                                                                                                                                                                                                                                                                                                                                                                                                                                                                                                                                                                                  | Video shot Animasi                                                                                                                                                                                                                                                                                                                                                                                                                                                                                                                                                                                                                |
|------------|----------------------------------------------------------------------------------------------------------------------------------------------------------------------------------------------------------------------------------------------------------------------------------------------------------------------------------------------------------------------------------------------------------------------------------------------------------------------------------------------------------------------------------------------------------------------------------------------------------------------------|-----------------------------------------------------------------------------------------------------------------------------------------------------------------------------------------------------------------------------------------------------------------------------------------------------------------------------------------------------------------------------------------------------------------------------------------------------------------------------------------------------------------------------------------------------------------------------------------------------------------------------------|
|            |                                                                                                                                                                                                                                                                                                                                                                                                                                                                                                                                                                                                                            |                                                                                                                                                                                                                                                                                                                                                                                                                                                                                                                                                                                                                                   |
| Konversi   | Creating_content/...SBN_ANM_SC03_SH05_FU01/frame_0000.jpg - frame_00060.jpg                                                                                                                                                                                                                                                                                                                                                                                                                                                                                                                                                | Creating_content/...SBN_ANM_SC03_SH05/frame_00000.jpg-frame_00060.jpg                                                                                                                                                                                                                                                                                                                                                                                                                                                                                                                                                             |
| Compare    |                                                                                                                                                                                                                                                                                                                                                                                                                                                                                                                                                                                                                            |                                                                                                                                                                                                                                                                                                                                                                                                                                                                                                                                                                                                                                   |
| Nilai SSIM | F0 = 0.9998368646199371<br>F1 = 0.9998368646199371<br>F2 = 0.9981519227093058<br>F3 = 0.9565374357735495<br>F4 = 0.9565374357735495<br>F5 = 0.9570495946745036<br>F6 = 0.9570495946745036<br>F7 = 0.9520982216364632<br>F8 = 0.9520982216364632<br>F9 = 0.9520982216364632<br>F10 = 0.9520982216364632<br>F11 = 0.9521418822659766<br>F12 = 0.9521418822659766<br>F13 = 0.9521418822659766<br>F14 = 0.9521418822659766<br>F15 = 0.9521418822659766<br>F16 = 0.9521418822659766<br>F17 = 0.9521418822659766<br>F18 = 0.9527260285981555<br>F19 = 0.9527260285981555<br>F20 = 0.9527260285981555<br>F21 = 0.9524236409429712 | F30 = 0.9521172343743666<br>F31 = 0.9521622195390895<br>F32 = 0.9521622195390895<br>F33 = 0.9524301198990577<br>F34 = 0.9524301198990577<br>F35 = 0.9521168958207624<br>F36 = 0.9521168958207624<br>F37 = 0.9521168958207624<br>F38 = 0.9524301152218193<br>F39 = 0.9524301152218193<br>F40 = 0.9521168958207624<br>F41 = 0.9521168958207624<br>F42 = 0.9521168958207624<br>F43 = 0.9521168958207624<br>F44 = 0.9524301152218193<br>F45 = 0.9524301152218193<br>F46 = 0.9527318761055755<br>F47 = 0.9527318761055755<br>F48 = 0.9527323843578032<br>F49 = 0.952162563537715<br>F50 = 0.952162563537715<br>F51 = 0.952162563537715 |

|                                                                                                                                                                                                                                                                                                                                                                                                                                                                                                                                           |                                                                                    |                          |
|-------------------------------------------------------------------------------------------------------------------------------------------------------------------------------------------------------------------------------------------------------------------------------------------------------------------------------------------------------------------------------------------------------------------------------------------------------------------------------------------------------------------------------------------|------------------------------------------------------------------------------------|--------------------------|
|                                                                                                                                                                                                                                                                                                                                                                                                                                                                                                                                           | F22 = 0.9524236409429712                                                           | F52 = 0.952162563537715  |
|                                                                                                                                                                                                                                                                                                                                                                                                                                                                                                                                           | F23 = 0.9527258008552029                                                           | F53 = 0.9521172343743666 |
|                                                                                                                                                                                                                                                                                                                                                                                                                                                                                                                                           | F24 = 0.9527323843578032                                                           | F54 = 0.9521172343743666 |
|                                                                                                                                                                                                                                                                                                                                                                                                                                                                                                                                           | F25 = 0.9527323843578032                                                           | F55 = 0.9521172343743666 |
|                                                                                                                                                                                                                                                                                                                                                                                                                                                                                                                                           | F26 = 0.952162563537715                                                            | F56 = 0.9521172343743666 |
|                                                                                                                                                                                                                                                                                                                                                                                                                                                                                                                                           | F27 = 0.952162563537715                                                            | F57 = 0.9521172343743666 |
|                                                                                                                                                                                                                                                                                                                                                                                                                                                                                                                                           | F28 = 0.952162563537715                                                            | F58 = 0.9521172343743666 |
|                                                                                                                                                                                                                                                                                                                                                                                                                                                                                                                                           | F29 = 0.9521172343743666                                                           | F59 = 0.9521478590584337 |
|                                                                                                                                                                                                                                                                                                                                                                                                                                                                                                                                           |                                                                                    | F60 = 0.9521478590584337 |
| Pada nilai SSIM terlihat tidak ada nilai 1 pada frame 0 sampai dengan frame 60, terlihat nilai SSIM antara 0.952-0.999 artinya dari nilai SSIM tersebut dapat dijadikan acuan sebagai parameter awal bahwa terdapat perbedaan yang sangat kecil pada 2 image yang dibandingkan, dari nilai tersebut dapat dianalisis lebih lanjut pada frame yang dibandingkan sehingga perbedaan video shot animasi dengan video shot animasi revisi dapat dibuktikan pada proses selanjutnya untuk mendeteksi dimanakah letak atau posisi perbedaannya. |                                                                                    |                          |
| Letak Perbedaan                                                                                                                                                                                                                                                                                                                                                                                                                                                                                                                           |  |                          |



|                  |                                                                                                                                                                                                                                                                                                                                                                                                                                                                                                                                   |
|------------------|-----------------------------------------------------------------------------------------------------------------------------------------------------------------------------------------------------------------------------------------------------------------------------------------------------------------------------------------------------------------------------------------------------------------------------------------------------------------------------------------------------------------------------------|
|                  |                                                                                                                                                                                                                                                                                                                                                                                                                                                  |
|                  | <p>Setelah diproses untuk mendapatkan sebuah kotak berupa area batasan perbedaan gambar terdeteksi bahwa terdapat perbedaan gambar antara video shot animasi dengan video shot animasi revisi yang digambarkan dengan kotak batasan berwarna biru. Terdapat perubahan pergerakan mulut dari frame 0 – frame 2, kemudian frame selanjutnya terlihat separo badan pada character animasi terdepas perbedaan, selanjutnya akan dilakukan komputasi dari nilai SSIM untuk visual perbedaan image berupa contur perbedaan animasi.</p> |
| Perbedaan Gambar |                                                                                                                                                                                                                                                                                                                                                                                                                                                 |

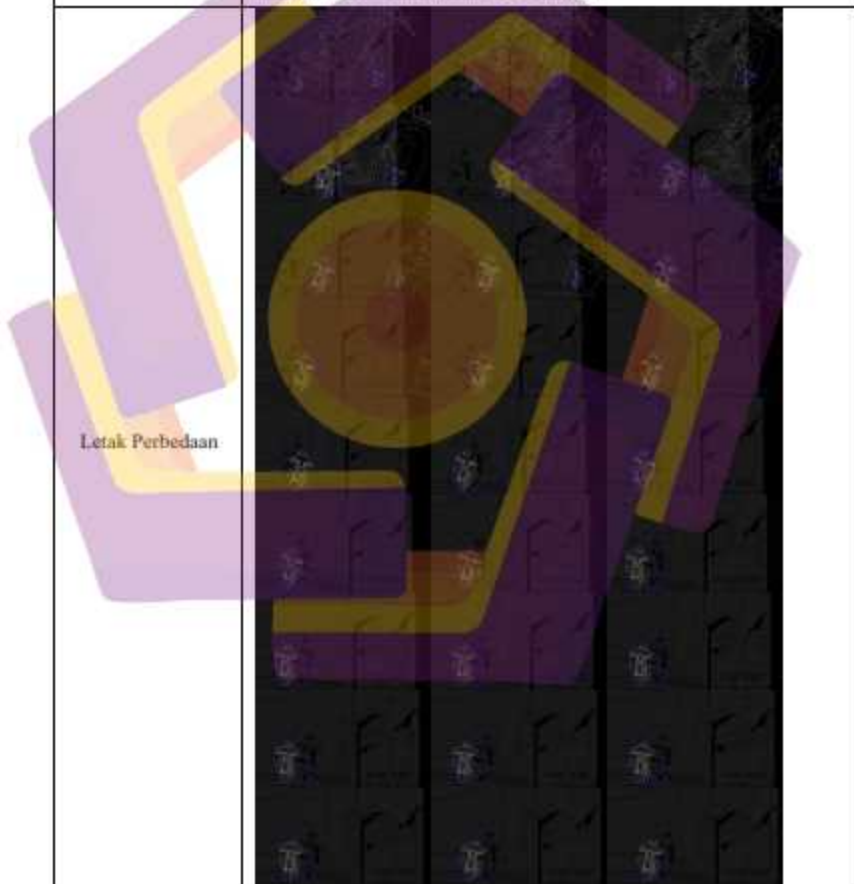




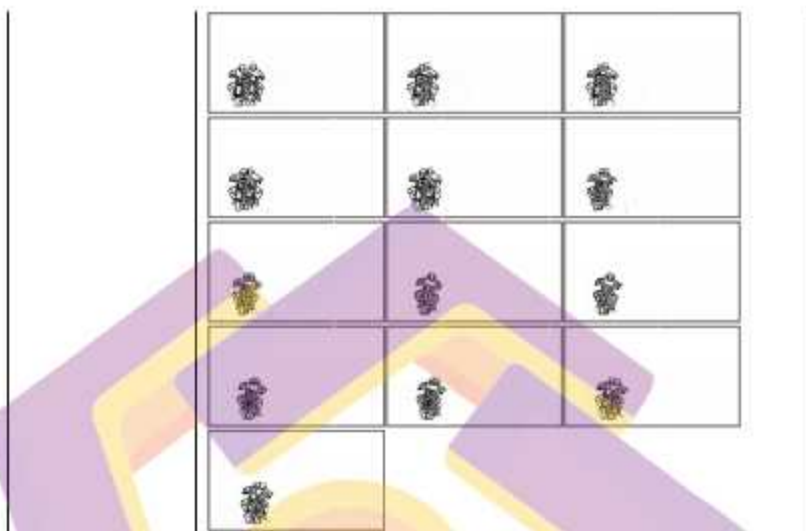
Tabel Hasil Deteksi perbedaan shot video animasi  
SBN\_ANM\_SC04\_SH02\_FU01 dengan SBN\_ANM\_SC04\_SH02 menggunakan  
algoritma SSIM

|            | Video shot Animasi Revisi                                                                                                                                                                                                                                                                                                                                                                                                                                                                                                         | Video shot Animasi                                                                                                                                                                                                                                                                                                                                                                                                                                                                                           |
|------------|-----------------------------------------------------------------------------------------------------------------------------------------------------------------------------------------------------------------------------------------------------------------------------------------------------------------------------------------------------------------------------------------------------------------------------------------------------------------------------------------------------------------------------------|--------------------------------------------------------------------------------------------------------------------------------------------------------------------------------------------------------------------------------------------------------------------------------------------------------------------------------------------------------------------------------------------------------------------------------------------------------------------------------------------------------------|
| Konversi   |                                                                                                                                                                                                                                                                                                                                                                                                                                                                                                                                   |                                                                                                                                                                                                                                                                                                                                                                                                                                                                                                              |
| Nilai SSIM | Creating.../content/...SBN_ANM_SC04_SH02_FU01/frame_0000.jpg - frame_00030.jpg<br>F0 = 0.9901944573705361<br>F1 = 0.9901324280080437<br>F2 = 0.99102180245624<br>F3 = 0.9708492230751534<br>F4 = 0.9702733272165102<br>F5 = 0.9704166214829902<br>F6 = 0.9725659955942282<br>F7 = 0.9722974493051579<br>F8 = 0.975933474489081<br>F9 = 0.9541393943550417<br>F10 = 0.9543722440809084<br>F11 = 0.9539627921641529<br>F12 = 0.9549993962881669<br>F13 = 0.9541158697614075<br>F14 = 0.9541185803992912<br>F15 = 0.9574045796333354 | Creating.../content/...SBN_ANM_S04_SH02/frame_00000.jpg - frame_00030.jpg<br>F16 = 0.9573941948476171<br>F17 = 0.9574019232594375<br>F18 = 0.9574438083451561<br>F19 = 0.961553276823914<br>F20 = 0.9616095428843515<br>F21 = 0.9591321549270407<br>F22 = 0.9591119772766874<br>F23 = 0.9646749080781449<br>F24 = 0.9646916007530759<br>F25 = 0.9656030278316178<br>F26 = 0.9656075129699695<br>F27 = 0.9641246584470987<br>F28 = 0.9641156278818438<br>F29 = 0.9623022141426208<br>F30 = 0.9623030090517831 |

Pada nilai SSIM terlihat tidak ada nilai 1 pada frame 0 sampai dengan frame 30, terlihat nilai SSIM antara 0.953-0.990 artinya dari nilai SSIM tersebut dapat dijadikan acuan sebagai parameter awal bahwa terdapat perbedaan yang sangat kecil pada 2 image yang dibandingkan, dari nilai tersebut dapat dianalisis lebih lanjut pada frame yang dibandingkan sehingga perbedaan video shot animasi dengan video shot animasi revisi dapat dibuktikan pada proses selanjutnya untuk mendeteksi dimanakah letak atau posisi perbedaannya



|                  |                                                                                                                                                                                                                                                                                                                                                                                                                                                                                                                                        |
|------------------|----------------------------------------------------------------------------------------------------------------------------------------------------------------------------------------------------------------------------------------------------------------------------------------------------------------------------------------------------------------------------------------------------------------------------------------------------------------------------------------------------------------------------------------|
|                  |                                                                                                                                                                                                                                                                                                                                                                                                                                                                                                                                        |
|                  | <p>Setelah diproses untuk mendapatkan sebuah kotak berupa area batasan perbedaan gambar terdeteksi bahwa terdapat perbedaan gambar antara video shot animasi dengan video shot animasi revisi yang digambarkan dengan kotak batasan berwarna biru. Terdapat perubahan pergerakan motor pengejar, kemudian pada motor yang dikejar terlihat penambahan seperti debu pada roda dan penambahan speedline pada roda, selanjutnya akan dilakukan komputasi dari nilai SSIM untuk visual perbedaan image berupa contur perbedaan animasi</p> |
| Perbedaan Gambar |                                                                                                                                                                                                                                                                                                                                                                                                                                                                                                                                        |



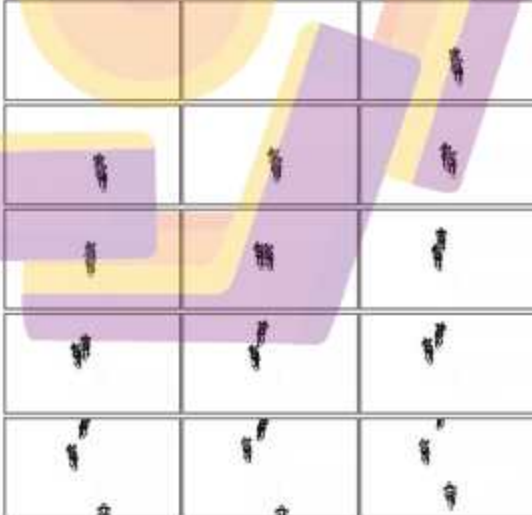
Tabel Hasil Deteksi perbedaan shot video animasi

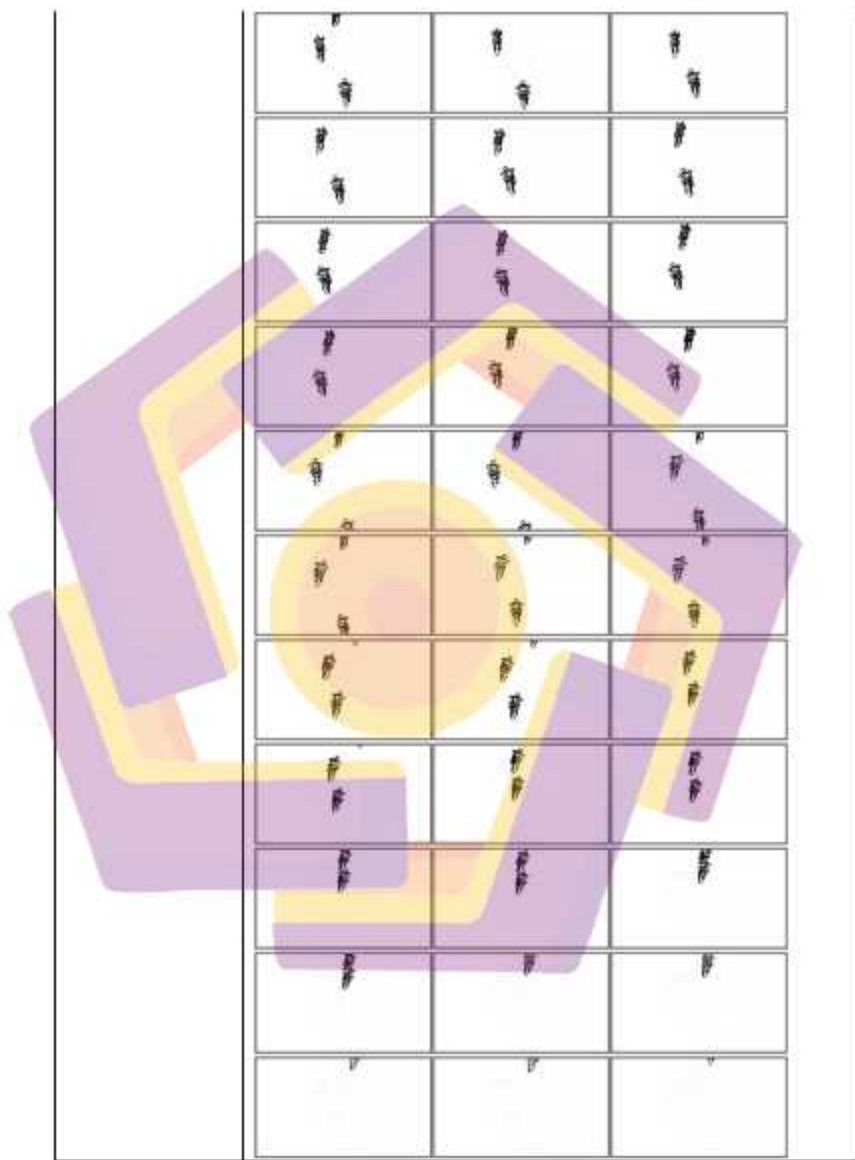
SBN\_ANM\_SC04\_SH03\_FU01 dengan SBN\_ANM\_SC04\_SH03 menggunakan algoritma SSIM

|            | Video shot Animasi Revisi                                                                                                                                                             | Video shot Animasi                                                                                                                                                                                                           |
|------------|---------------------------------------------------------------------------------------------------------------------------------------------------------------------------------------|------------------------------------------------------------------------------------------------------------------------------------------------------------------------------------------------------------------------------|
|            |                                                                                                                                                                                       |                                                                                                                                                                                                                              |
| Konversi   | Creating.../content/...SBN_ANM_SC04_SH03_FU01/frame_0000.jpg ~ frame_00052.jpg                                                                                                        | Creating.../content/...SBN_ANM_SC04_SH03/frame_00000.jpg~frame_00052.jpg                                                                                                                                                     |
| Compare    |                                                                                                                                                                                       |                                                                                                                                                                                                                              |
| Nilai SSIM | F0 = 1.0<br>F1 = 1.0<br>F2 = 0.9828302751328082<br>F3 = 0.982819297270917<br>F4 = 0.9839853833273718<br>F5 = 0.9822277884392602<br>F6 = 0.9850489236713204<br>F7 = 0.9805368701974895 | F27 = 0.9805954197540665<br>F28 = 0.9805477724324628<br>F29 = 0.9785099832657104<br>F30 = 0.9781697995728352<br>F31 = 0.9786478962090474<br>F32 = 0.9781109702765102<br>F33 = 0.9796801058040361<br>F34 = 0.9790675563551299 |

|                 |                                                                                                                                                                                                                                                                                                                                                                                                                                                                                                                                                                                                                                            |                                                                                     |                                                                                      |
|-----------------|--------------------------------------------------------------------------------------------------------------------------------------------------------------------------------------------------------------------------------------------------------------------------------------------------------------------------------------------------------------------------------------------------------------------------------------------------------------------------------------------------------------------------------------------------------------------------------------------------------------------------------------------|-------------------------------------------------------------------------------------|--------------------------------------------------------------------------------------|
|                 | F8 = 0.9815172528799971                                                                                                                                                                                                                                                                                                                                                                                                                                                                                                                                                                                                                    | F35 = 0.9813230600830241                                                            |                                                                                      |
|                 | F9 = 0.9804661447402017                                                                                                                                                                                                                                                                                                                                                                                                                                                                                                                                                                                                                    | F36 = 0.9811129151855253                                                            |                                                                                      |
|                 | F10 = 0.9802146161116022                                                                                                                                                                                                                                                                                                                                                                                                                                                                                                                                                                                                                   | F37 = 0.9813521354564363                                                            |                                                                                      |
|                 | F11 = 0.9802051575286574                                                                                                                                                                                                                                                                                                                                                                                                                                                                                                                                                                                                                   | F38 = 0.9813431306570316                                                            |                                                                                      |
|                 | F12 = 0.9772541981686563                                                                                                                                                                                                                                                                                                                                                                                                                                                                                                                                                                                                                   | F39 = 0.9826531874278364                                                            |                                                                                      |
|                 | F13 = 0.9778318101612425                                                                                                                                                                                                                                                                                                                                                                                                                                                                                                                                                                                                                   | F40 = 0.9823233588581788                                                            |                                                                                      |
|                 | F14 = 0.9777727124857959                                                                                                                                                                                                                                                                                                                                                                                                                                                                                                                                                                                                                   | F41 = 0.9852873062300824                                                            |                                                                                      |
|                 | F15 = 0.9768157196734114                                                                                                                                                                                                                                                                                                                                                                                                                                                                                                                                                                                                                   | F42 = 0.9843164473996399                                                            |                                                                                      |
|                 | F16 = 0.9806068634058231                                                                                                                                                                                                                                                                                                                                                                                                                                                                                                                                                                                                                   | F43 = 0.990509767889449                                                             |                                                                                      |
|                 | F17 = 0.980022838142012                                                                                                                                                                                                                                                                                                                                                                                                                                                                                                                                                                                                                    | F44 = 0.9895916994558447                                                            |                                                                                      |
|                 | F18 = 0.979726853172088                                                                                                                                                                                                                                                                                                                                                                                                                                                                                                                                                                                                                    | F45 = 0.9958583423132186                                                            |                                                                                      |
|                 | F19 = 0.9788745731219165                                                                                                                                                                                                                                                                                                                                                                                                                                                                                                                                                                                                                   | F46 = 0.9946813637231211                                                            |                                                                                      |
|                 | F20 = 0.9787586389789479                                                                                                                                                                                                                                                                                                                                                                                                                                                                                                                                                                                                                   | F47 = 0.9982404695764978                                                            |                                                                                      |
|                 | F21 = 0.978791256059885                                                                                                                                                                                                                                                                                                                                                                                                                                                                                                                                                                                                                    | F48 = 0.9983491492021909                                                            |                                                                                      |
|                 | F22 = 0.9788041688941956                                                                                                                                                                                                                                                                                                                                                                                                                                                                                                                                                                                                                   | F49 = 0.9998138217604026                                                            |                                                                                      |
|                 | F23 = 0.9794474930915131                                                                                                                                                                                                                                                                                                                                                                                                                                                                                                                                                                                                                   | F50 = 0.9996302922175355                                                            |                                                                                      |
|                 | F24 = 0.9794529147823332                                                                                                                                                                                                                                                                                                                                                                                                                                                                                                                                                                                                                   | F51 = 0.9999872502350406                                                            |                                                                                      |
|                 | F25 = 0.980975098287313                                                                                                                                                                                                                                                                                                                                                                                                                                                                                                                                                                                                                    | F52 = 0.9999936145471904                                                            |                                                                                      |
|                 | F26 = 0.9802644754500272                                                                                                                                                                                                                                                                                                                                                                                                                                                                                                                                                                                                                   |                                                                                     |                                                                                      |
|                 | Pada nilai SSIM terlihat ada nilai 1 pada F0 dan F1 artinya tidak ada perubahan pada animasi, kemudian pada frame selanjutnya tidak ada nilai 1 pada frame 2 sampai dengan frame 52, terlihat nilai SSIM antara 0.976-0.999 artinya dari nilai SSIM tersebut dapat dijadikan acuan sebagai parameter awal bahwa terdapat perbedaan yang sangat kecil pada 2 image yang dibandingkan, dari nilai tersebut dapat dianalisis lebih lanjut pada frame yang dibandingkan sehingga perbedaan video shot animasi dengan video shot animasi revisi dapat dibuktikan pada proses selanjutnya untuk mendeteksi dimana letak atau posisi perbedaannya |                                                                                     |                                                                                      |
| Letak Perbedaan |                                                                                                                                                                                                                                                                                                                                                                                                                                                                                                                                                         |  |  |



|                  |                                                                                                                                                                                                                                                                                                                                                                                                                                                                                                                                                                                                      |
|------------------|------------------------------------------------------------------------------------------------------------------------------------------------------------------------------------------------------------------------------------------------------------------------------------------------------------------------------------------------------------------------------------------------------------------------------------------------------------------------------------------------------------------------------------------------------------------------------------------------------|
|                  |                                                                                                                                                                                                                                                                                                                                                                                                                                                                                                                     |
|                  | <p>Setelah diproses untuk mendapatkan sebuah kotak berupa area batasan perbedaan gambar terdeteksi bahwa terdapat perbedaan gambar antara video shot animasi dengan video shot animasi revisi yang digambarkan dengan kotak batasan berwarna biru. Terdapat perubahan pergerakan motor pengejar dan juga yang dikejar, kedua motor terlihat lebih lurus dalam pola pergerakannya dan jarak antara pengejar dan dikejar terlihat perubahan agak jauh daripada sebelum direvisi, selanjutnya akan dilakukan komputasi dari nilai SSIM untuk visual perbedaan image berupa contur perbedaan animasi</p> |
| Perbedaan Gambar |                                                                                                                                                                                                                                                                                                                                                                                                                                                                                                                    |



|  |  |  |
|--|--|--|
|  |  |  |
|  |  |  |

Tabel Hasil Deteksi perbedaan shot video animasi

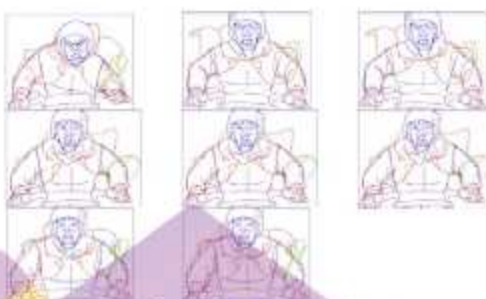
SBN\_ANM\_SC04\_SH06\_08\_FU01 dengan SBN\_ANM\_SC04\_SH06\_08  
menggunakan algoritma SSIM

|            | Video shot Animasi Revisi                                                                                                                                                                                                                                                                                                                                                                                                                                                                                                                    | Video shot Animasi                                                                                                                                                                                                                                                                                                                                                                                                                                                                                                 |
|------------|----------------------------------------------------------------------------------------------------------------------------------------------------------------------------------------------------------------------------------------------------------------------------------------------------------------------------------------------------------------------------------------------------------------------------------------------------------------------------------------------------------------------------------------------|--------------------------------------------------------------------------------------------------------------------------------------------------------------------------------------------------------------------------------------------------------------------------------------------------------------------------------------------------------------------------------------------------------------------------------------------------------------------------------------------------------------------|
|            |                                                                                                                                                                                                                                                                                                                                                                                                                                                                                                                                              |                                                                                                                                                                                                                                                                                                                                                                                                                                                                                                                    |
| Konversi   | Creating.../content/...SBN_ANM_SC04_SH06_08_FU01/frame_00000.jpg - frame_00034.jpg                                                                                                                                                                                                                                                                                                                                                                                                                                                           | Creating.../content/...SBN_ANM_SC04_SH06_08/frame_00000.jpg - frame_00034.jpg                                                                                                                                                                                                                                                                                                                                                                                                                                      |
| Compare    |                                                                                                                                                                                                                                                                                                                                                                                                                                                                                                                                              |                                                                                                                                                                                                                                                                                                                                                                                                                                                                                                                    |
| Nilai SSIM | $F0 = 0.7933842618934392$<br>$F1 = 0.7933842618934392$<br>$F2 = 0.7875814227326247$<br>$F3 = 0.7875814227326247$<br>$F4 = 0.805769390396264$<br>$F5 = 0.805769390396264$<br>$F6 = 0.8009898670147848$<br>$F7 = 0.8009898670147848$<br>$F8 = 0.7946093464270394$<br>$F9 = 0.7946093464270394$<br>$F10 = 0.7891109342148842$<br>$F11 = 0.7891109342148842$<br>$F12 = 0.7993464271131838$<br>$F13 = 0.7993464271131838$<br>$F14 = 0.7921333417372717$<br>$F15 = 0.7921333417372717$<br>$F16 = 0.8159871201476016$<br>$F17 = 0.8159871201476016$ | $F18 = 0.7872653544011547$<br>$F19 = 0.7872653544011547$<br>$F20 = 0.8168499647328362$<br>$F21 = 0.8168499647328362$<br>$F22 = 0.788392052552$<br>$F23 = 0.788392052552$<br>$F24 = 0.7858293274506255$<br>$F25 = 0.7858293274506255$<br>$F26 = 0.7849662013401545$<br>$F27 = 0.7849662013401545$<br>$F28 = 0.7762947483359229$<br>$F29 = 0.7762947483359229$<br>$F30 = 0.7845311223399012$<br>$F31 = 0.7845311223399012$<br>$F32 = 0.7845311223399012$<br>$F33 = 0.7872012039915145$<br>$F34 = 0.7872012039915145$ |

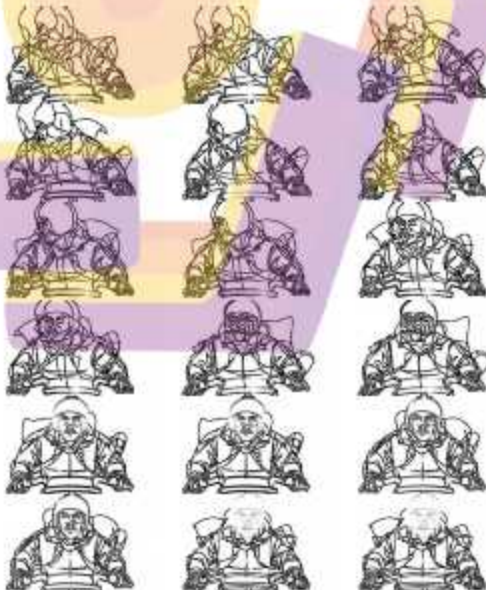
Pada nilai SSIM terlihat tidak ada nilai 1 pada frame 0 sampai dengan frame 34, terlihat nilai SSIM antara 0.776-0.816 artinya dari nilai SSIM tersebut dapat dijadikan acuan sebagai parameter awal bahwa terdapat perbedaan yang agak besar pada 2 image yang dibandingkan, dari nilai tersebut dapat dianalisis lebih lanjut pada frame yang dibandingkan sehingga perbedaan video shot animasi dengan video shot animasi revisi dapat dibuktikan pada proses selanjutnya untuk mendeteksi dimanakah letak atau posisi perbedaannya

Letak Perbedaan





Setelah diproses untuk mendapatkan sebuah kotak berupa area batasan perbedaan gambar terdeteksi bahwa terdapat perbedaan gambar antara video shot animasi dengan video shot animasi revisi yang digambarkan dengan kotak batasan berwarna biru. Pada image terlihat kotak batasan mengcover seluruh area pada character sehingga dapat dikatakan semua gerakan character berubah. selanjutnya akan dilakukan komputasi dari nilai SSIM untuk visual perbedaan image berupa contur perbedaan animasi. Terdapat perubahan gerakan character menengok dan perubahan gerakan jaket dan penambahan properti gambar tas.



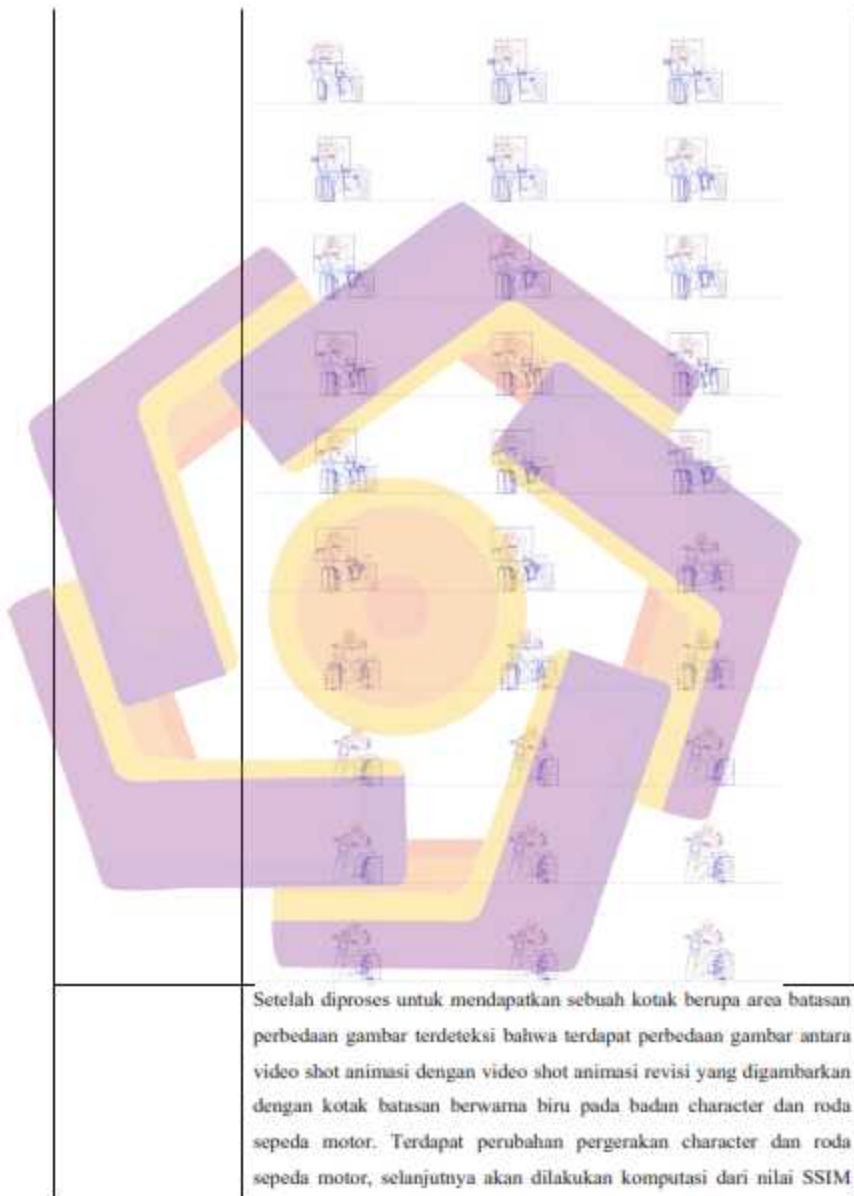
Perbedaan Gambar



Tabel Hasil Deteksi perbedaan shot video animasi  
SBN\_ANM\_SC04\_SH07\_FU01 dengan SBN\_ANM\_SC04\_SH07 menggunakan  
algoritma SSIM

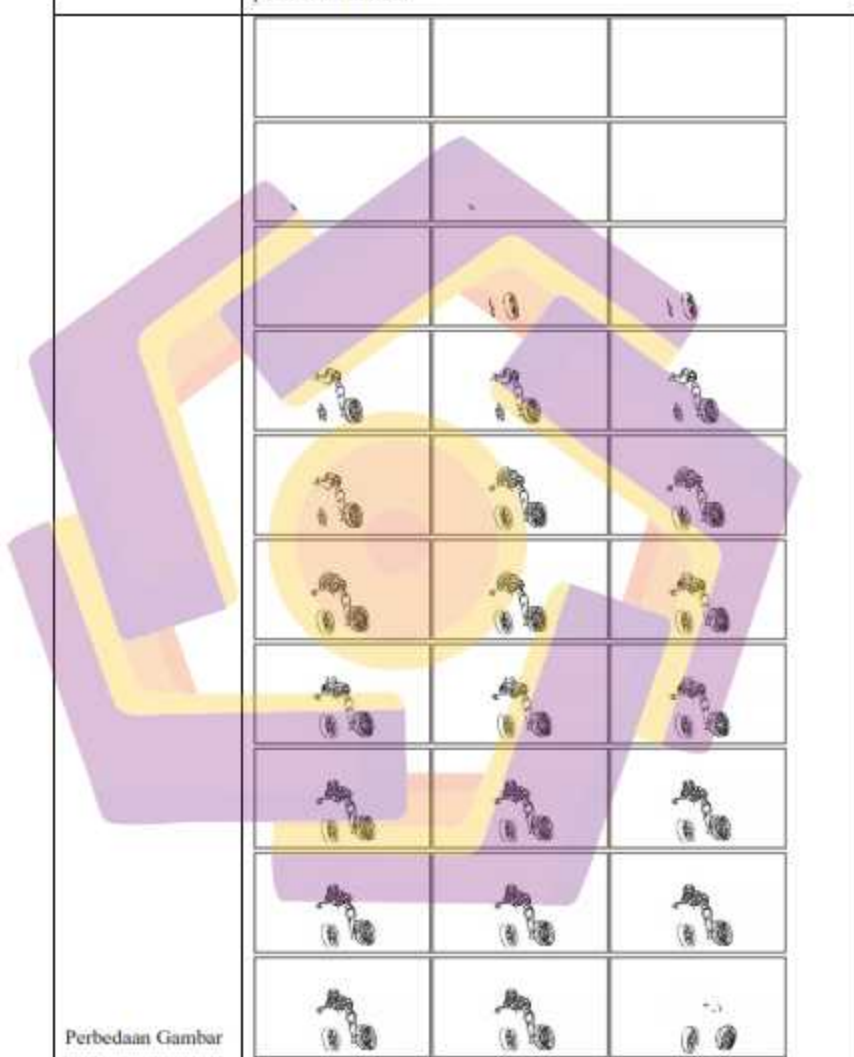
|            | Video shot Animasi Revisi                                                                                        | Video shot Animasi                                                                                                                                                   |
|------------|------------------------------------------------------------------------------------------------------------------|----------------------------------------------------------------------------------------------------------------------------------------------------------------------|
|            |                                                                                                                  |                                                                                                                                                                      |
| Konversi   | Creating.../content/...SBN_ANM_SC04_SH07_FU01/frame_0000.jpg - frame_00041.jpg                                   | Creating.../content/...SBN_ANM_SC04_SH07/frame_00000.jpg-frame_00041.jpg                                                                                             |
| Compare    |                                                                                                                  |                                                                                                                                                                      |
| Nilai SSIM | F0 = 1.0<br>F1 = 1.0<br>F2 = 1.0<br>F3 = 0.9993685825066971<br>F4 = 0.9993685825066971<br>F5 = 0.999997558642996 | F21 = 0.9495404146072636<br>F22 = 0.9495404146072636<br>F23 = 0.9495404146072636<br>F24 = 0.9495404146072636<br>F25 = 0.9492667738418135<br>F26 = 0.9492667738418135 |

|                 |                                                                                                                                                                                                                                                                                                                                                                                                                                                                                                                                                                                                        |                          |
|-----------------|--------------------------------------------------------------------------------------------------------------------------------------------------------------------------------------------------------------------------------------------------------------------------------------------------------------------------------------------------------------------------------------------------------------------------------------------------------------------------------------------------------------------------------------------------------------------------------------------------------|--------------------------|
|                 | F6 = 0.999997558642996                                                                                                                                                                                                                                                                                                                                                                                                                                                                                                                                                                                 | F27 = 0.9492667738418135 |
|                 | F7 = 0.9911648115671743                                                                                                                                                                                                                                                                                                                                                                                                                                                                                                                                                                                | F28 = 0.9492667738418135 |
|                 | F8 = 0.9911648115671743                                                                                                                                                                                                                                                                                                                                                                                                                                                                                                                                                                                | F29 = 0.9733078058145749 |
|                 | F9 = 0.9664674725758354                                                                                                                                                                                                                                                                                                                                                                                                                                                                                                                                                                                | F30 = 0.9733078058145749 |
|                 | F10 = 0.9664674725758354                                                                                                                                                                                                                                                                                                                                                                                                                                                                                                                                                                               | F31 = 0.9733078058145749 |
|                 | F11 = 0.9664674725758354                                                                                                                                                                                                                                                                                                                                                                                                                                                                                                                                                                               | F32 = 0.9733078058145749 |
|                 | F12 = 0.9664674725758354                                                                                                                                                                                                                                                                                                                                                                                                                                                                                                                                                                               | F33 = 0.9851447894303496 |
|                 | F13 = 0.946341085499634                                                                                                                                                                                                                                                                                                                                                                                                                                                                                                                                                                                | F34 = 0.9851447894303496 |
|                 | F14 = 0.946341085499634                                                                                                                                                                                                                                                                                                                                                                                                                                                                                                                                                                                | F35 = 0.9851447894303496 |
|                 | F15 = 0.946341085499634                                                                                                                                                                                                                                                                                                                                                                                                                                                                                                                                                                                | F36 = 0.9851447894303496 |
|                 | F16 = 0.946341085499634                                                                                                                                                                                                                                                                                                                                                                                                                                                                                                                                                                                | F37 = 0.9849127387181084 |
|                 | F17 = 0.950403019576439                                                                                                                                                                                                                                                                                                                                                                                                                                                                                                                                                                                | F38 = 0.9849127387181084 |
|                 | F18 = 0.950403019576439                                                                                                                                                                                                                                                                                                                                                                                                                                                                                                                                                                                | F39 = 0.9849127387181084 |
|                 | F19 = 0.950403019576439                                                                                                                                                                                                                                                                                                                                                                                                                                                                                                                                                                                | F40 = 0.9849127387181084 |
|                 | F20 = 0.950403019576439                                                                                                                                                                                                                                                                                                                                                                                                                                                                                                                                                                                | F41 = 0.9849127387181084 |
|                 | Pada nilai SSIM terlihat ada nilai 1 pada F0, F1, dan F2 artinya tidak ada perubahan pada animasi. Pada frame selanjutnya tidak ada nilai 1, terlihat nilai SSIM antara 0.946-0.999 artinya dari nilai SSIM tersebut dapat dijadikan acuan sebagai parameter awal bahwa terdapat perbedaan yang sangat kecil pada 2 image yang dibandingkan, dari nilai tersebut dapat dianalisis lebih lanjut pada frame yang dibandingkan sehingga perbedaan video shot animasi dengan video shot animasi revisi dapat dibuktikan pada proses selanjutnya untuk mendeteksi dimanakah letak atau posisi perbedaannya. |                          |
| Letak Perbedaan |                                                                                                                                                                                                                                                                                                                                                                                                                                                                                                                                                                                                        |                          |



Setelah diproses untuk mendapatkan sebuah kotak berupa area batasan perbedaan gambar terdeteksi bahwa terdapat perbedaan gambar antara video shot animasi dengan video shot animasi revisi yang digambarkan dengan kotak batasan berwarna biru pada badan character dan roda sepeda motor. Terdapat perubahan pergerakan character dan roda sepeda motor, selanjutnya akan dilakukan komputasi dari nilai SSIM

untuk memberikan visual perbedaan image berupa contur perbedaan perubahan animasi

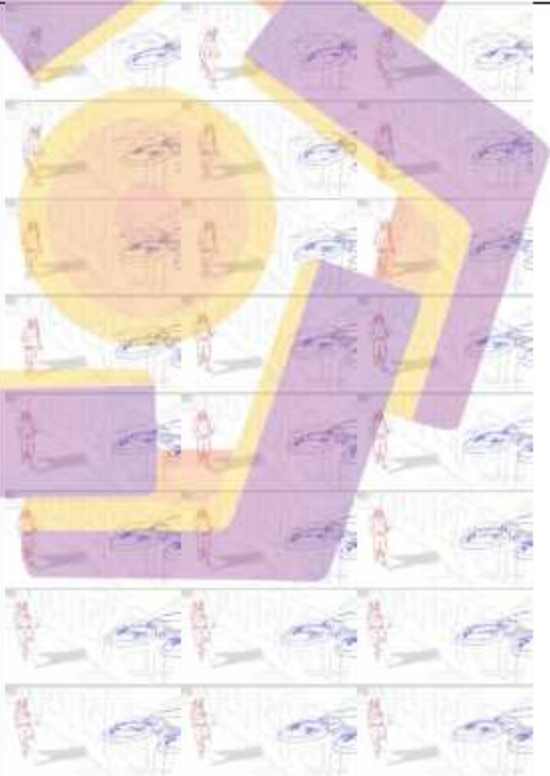


|  |                                                                                   |                                                                                   |                                                                                   |
|--|-----------------------------------------------------------------------------------|-----------------------------------------------------------------------------------|-----------------------------------------------------------------------------------|
|  |  |  |  |
|  |  |  |  |
|  |  |  |  |
|  |  |  |  |

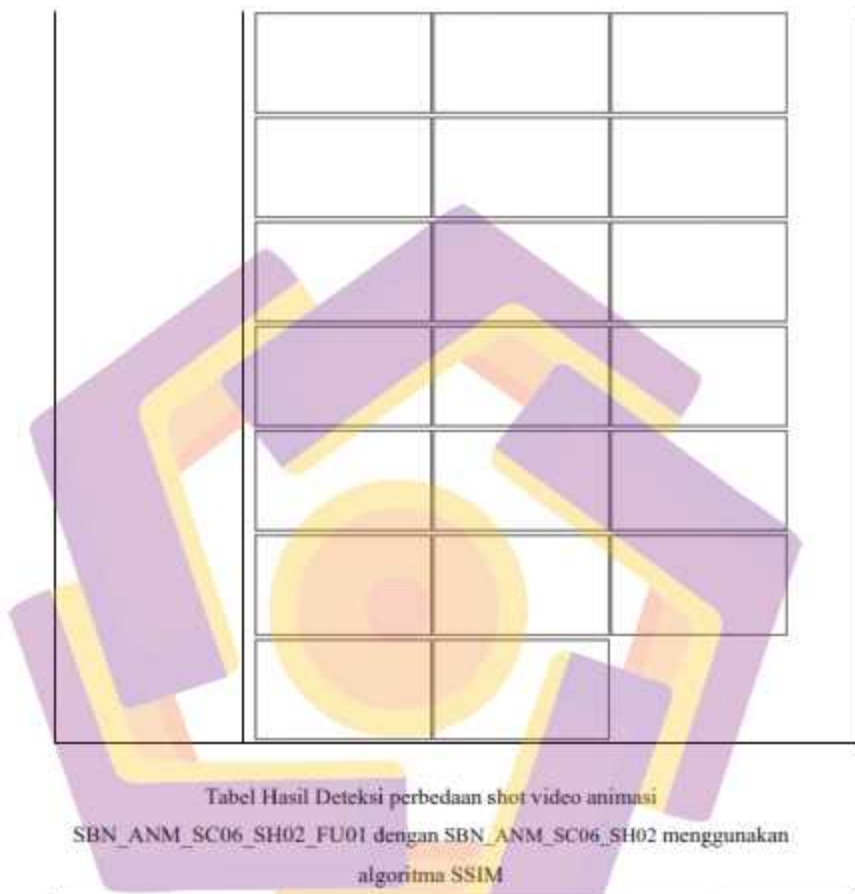
Tabel Hasil Deteksi perbedaan shot video animasi

SBN\_ANM\_SC05\_SH06\_FU01 dengan SBN\_ANM\_SC05\_SH06 menggunakan algoritma SSIM

|            | Video shot Animasi Revisi                                                                                                                      | Video shot Animasi                                                                                                                                       |
|------------|------------------------------------------------------------------------------------------------------------------------------------------------|----------------------------------------------------------------------------------------------------------------------------------------------------------|
|            |                                                               |                                                                         |
| Konversi   | Creating.../content/...SBN_ANM_SC05_SH06_FU01/frame_0000.jpg - frame_00037.jpg                                                                 | Creating.../content/...SBN_ANM_SC05_SH06/frame_00000.jpg-frame_00037.jpg                                                                                 |
| Compare    |                                                                                                                                                |                                                                                                                                                          |
| Nilai SSIM | F0 = 1.0<br>F1 = 1.0<br>F2 = 1.0<br>F3 = 1.0<br>F4 = 1.0<br>F5 = 1.0<br>F6 = 1.0<br>F7 = 1.0<br>F8 = 1.0<br>F9 = 1.0<br>F10 = 1.0<br>F11 = 1.0 | F19 = 1.0<br>F20 = 1.0<br>F21 = 1.0<br>F22 = 1.0<br>F23 = 1.0<br>F24 = 1.0<br>F25 = 1.0<br>F26 = 1.0<br>F27 = 1.0<br>F28 = 1.0<br>F29 = 1.0<br>F30 = 1.0 |

|                                                                                                                                                                                                                                                                                                                           |                                                                                     |           |
|---------------------------------------------------------------------------------------------------------------------------------------------------------------------------------------------------------------------------------------------------------------------------------------------------------------------------|-------------------------------------------------------------------------------------|-----------|
|                                                                                                                                                                                                                                                                                                                           | F12 = 1.0                                                                           | F31 = 1.0 |
|                                                                                                                                                                                                                                                                                                                           | F13 = 1.0                                                                           | F32 = 1.0 |
|                                                                                                                                                                                                                                                                                                                           | F14 = 1.0                                                                           | F33 = 1.0 |
|                                                                                                                                                                                                                                                                                                                           | F15 = 1.0                                                                           | F34 = 1.0 |
|                                                                                                                                                                                                                                                                                                                           | F16 = 1.0                                                                           | F35 = 1.0 |
|                                                                                                                                                                                                                                                                                                                           | F17 = 1.0                                                                           | F36 = 1.0 |
|                                                                                                                                                                                                                                                                                                                           | F18 = 1.0                                                                           | F37 = 1.0 |
| Pada nilai SSIM menunjukkan nilai 1 pada frame 0 sampai dengan frame 37, artinya tidak ada perubahan image antara shot sebelum revisi dan sesudah revisi. Karena image sama antara sebelum dan sesudah revisi maka letak perbedaan tidak dapat dibuktikan, terlihat pada hasil visual yang ditunjukkan pada tabel dibawah |                                                                                     |           |
| Letak Perbedaan                                                                                                                                                                                                                                                                                                           |  |           |

|                  |                                                                                                                            |
|------------------|----------------------------------------------------------------------------------------------------------------------------|
|                  |                                                                                                                            |
|                  | Karena shot sebelum dan sesudah direvisi mempunyai nilai SSIM = 1 maka kontur perbedaan tidak akan terlihat secara visual. |
| Perbedaan Gambar |                                                                                                                            |



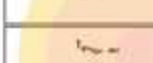
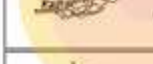
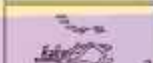
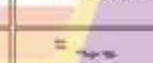
Tabel Hasil Deteksi perbedaan shot video animasi  
**SBN\_ANM\_SC06\_SH02\_FU01** dengan **SBN\_ANM\_SC06\_SH02** menggunakan  
algoritma SSIM

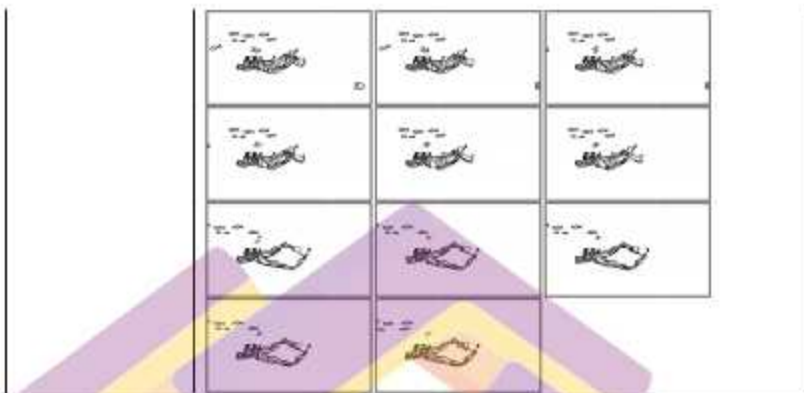
|            | Video shot Animasi Revisi                                                      | Video shot Animasi                                                          |
|------------|--------------------------------------------------------------------------------|-----------------------------------------------------------------------------|
|            |                                                                                |                                                                             |
| Konversi   | Creating ../content/...SBN_ANM_SC06_SH02_FU01/frame_0000.jpg - frame_00040.jpg | Creating ../content/...SBN_ANM_S C06_SH02/frame_00000.jpg - frame_00040.jpg |
| Compare    |                                                                                |                                                                             |
| Nilai SSIM | F0 = 0.9582246772921056                                                        | F20 = 0.9528223814383424                                                    |

|                 |                                                                                                                                                                                                                                                                                                                                                                                                                                                                                                      |                          |
|-----------------|------------------------------------------------------------------------------------------------------------------------------------------------------------------------------------------------------------------------------------------------------------------------------------------------------------------------------------------------------------------------------------------------------------------------------------------------------------------------------------------------------|--------------------------|
|                 | F1 = 0.9583181394886019                                                                                                                                                                                                                                                                                                                                                                                                                                                                              | F21 = 0.952743594142551  |
|                 | F2 = 0.9583556983787644                                                                                                                                                                                                                                                                                                                                                                                                                                                                              | F22 = 0.9526660516016324 |
|                 | F3 = 0.9587983943670826                                                                                                                                                                                                                                                                                                                                                                                                                                                                              | F23 = 0.9524999787658529 |
|                 | F4 = 0.9589535924962974                                                                                                                                                                                                                                                                                                                                                                                                                                                                              | F24 = 0.9568146751846996 |
|                 | F5 = 0.9589067854925645                                                                                                                                                                                                                                                                                                                                                                                                                                                                              | F25 = 0.956783010888633  |
|                 | F6 = 0.9560784554966821                                                                                                                                                                                                                                                                                                                                                                                                                                                                              | F26 = 0.9576387955252339 |
|                 | F7 = 0.9552964160830154                                                                                                                                                                                                                                                                                                                                                                                                                                                                              | F27 = 0.958128994073943  |
|                 | F8 = 0.9547413412884957                                                                                                                                                                                                                                                                                                                                                                                                                                                                              | F28 = 0.9576294187705509 |
|                 | F9 = 0.9545977397181843                                                                                                                                                                                                                                                                                                                                                                                                                                                                              | F29 = 0.9580119246471844 |
|                 | F10 = 0.9548558897785336                                                                                                                                                                                                                                                                                                                                                                                                                                                                             | F30 = 0.9571029095734588 |
|                 | F11 = 0.9541543681116221                                                                                                                                                                                                                                                                                                                                                                                                                                                                             | F31 = 0.9583019212384706 |
|                 | F12 = 0.9548355698260913                                                                                                                                                                                                                                                                                                                                                                                                                                                                             | F32 = 0.9593434350858364 |
|                 | F13 = 0.9547496011967976                                                                                                                                                                                                                                                                                                                                                                                                                                                                             | F33 = 0.96094708600443   |
|                 | F14 = 0.9559023696399509                                                                                                                                                                                                                                                                                                                                                                                                                                                                             | F34 = 0.9619976800122536 |
|                 | F15 = 0.9561384514699909                                                                                                                                                                                                                                                                                                                                                                                                                                                                             | F35 = 0.9613694281920103 |
|                 | F16 = 0.956249604139569                                                                                                                                                                                                                                                                                                                                                                                                                                                                              | F36 = 0.9601238502874687 |
|                 | F17 = 0.9561488898256707                                                                                                                                                                                                                                                                                                                                                                                                                                                                             | F37 = 0.9594533253303752 |
|                 | F18 = 0.9527086211314992                                                                                                                                                                                                                                                                                                                                                                                                                                                                             | F38 = 0.9594041544888079 |
|                 | F19 = 0.952670046151044                                                                                                                                                                                                                                                                                                                                                                                                                                                                              | F39 = 0.9590335343038049 |
|                 |                                                                                                                                                                                                                                                                                                                                                                                                                                                                                                      | F40 = 0.9600163040046888 |
|                 | Pada nilai SSIM menunjukkan tidak ada nilai !, terlihat nilai SSIM antara 0.952-0.960 artinya dari nilai SSIM tersebut dapat dijadikan acuan sebagai parameter awal bahwa terdapat perbedaan yang sangat kecil pada 2 image yang dibandingkan, dari nilai tersebut dapat dianalisis lebih lanjut pada frame yang dibandingkan sehingga perbedaan video shot animasi dengan video shot animasi revisi dapat dibuktikan pada proses selanjutnya untuk mendeteksi dimana letak atau posisi perbedaannya |                          |
| Letak Perbedaan |                                                                                                                                                                                                                                                                                                                                                                                                                   |                          |

|  |                                                                                                                                               |
|--|-----------------------------------------------------------------------------------------------------------------------------------------------|
|  |                                                             |
|  | <p>Setelah diproses untuk mendapatkan sebuah kotak berupa area batasan perbedaan gambar terdeteksi bahwa terdapat perbedaan gambar antara</p> |

video shot animasi dengan video shot animasi revisi yang digambarkan dengan kotak batasan berwarna biru pada character dan ikan. Terdapat perubahan pergerakan character dan pergerakan ikan, selanjutnya akan dilakukan komputasi dari nilai SSIM untuk memberikan visual perbedaan image berupa contur perbedaan animasi

|                  |                                                                                     |                                                                                     |                                                                                     |
|------------------|-------------------------------------------------------------------------------------|-------------------------------------------------------------------------------------|-------------------------------------------------------------------------------------|
| Perbedaan Gambar |    |    |    |
|                  |    |    |    |
|                  |    |    |    |
|                  |    |    |    |
|                  |    |    |    |
|                  |    |    |    |
|                  |    |    |    |
|                  |    |    |    |
|                  |   |   |   |
|                  |  |  |  |



Tabel Hasil Deteksi perbedaan shot video animasi  
SBN\_ANM\_SC06\_SH06\_FU01 dengan SBN\_ANM\_SC06\_SH06 menggunakan  
algoritma SSIM

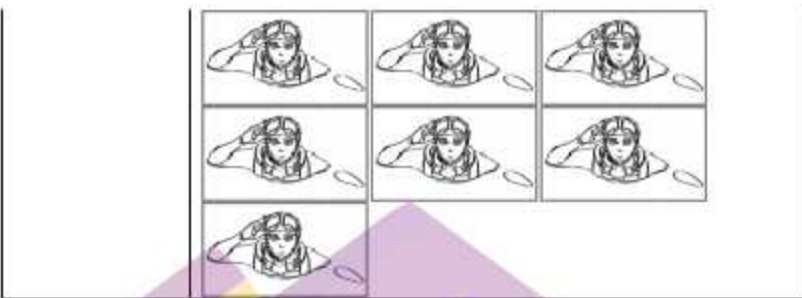
|            | Video shot Animasi Revisi                                                                                                                                                                                                                                                                                                                                   | Video shot Animasi                                                                                                                                                                                                                                                                                                                                                  |
|------------|-------------------------------------------------------------------------------------------------------------------------------------------------------------------------------------------------------------------------------------------------------------------------------------------------------------------------------------------------------------|---------------------------------------------------------------------------------------------------------------------------------------------------------------------------------------------------------------------------------------------------------------------------------------------------------------------------------------------------------------------|
| Konversi   |                                                                                                                                                                                                                                                                                                                                                             |                                                                                                                                                                                                                                                                                                                                                                     |
| Compare    |                                                                                                                                                                                                                                                                                                                                                             |                                                                                                                                                                                                                                                                                                                                                                     |
| Nilai SSIM | F0 = 0.9756614510577301<br>F1 = 0.9137335673571542<br>F2 = 0.8810289530987633<br>F3 = 0.8715857693968109<br>F4 = 0.8636916252603554<br>F5 = 0.8583605747984336<br>F6 = 0.8557881583992112<br>F7 = 0.8535676788436781<br>F8 = 0.852268630469895<br>F9 = 0.8503080998158856<br>F10 = 0.849563546871428<br>F11 = 0.8493292593325964<br>F12 = 0.850115122676173 | F21 = 0.8702813682884654<br>F22 = 0.8691548168179767<br>F23 = 0.8718073449499275<br>F24 = 0.8737852682079393<br>F25 = 0.8729465692836501<br>F26 = 0.8693443238746982<br>F27 = 0.86361472053948<br>F28 = 0.8609196309132638<br>F29 = 0.85957304047465<br>F30 = 0.860441964158381<br>F31 = 0.8623117138756522<br>F32 = 0.8653173654020118<br>F33 = 0.8683701959324972 |

|                 |                                                                                                                                                                                                                                                                                                                                                                                                                                                                                                                |                          |
|-----------------|----------------------------------------------------------------------------------------------------------------------------------------------------------------------------------------------------------------------------------------------------------------------------------------------------------------------------------------------------------------------------------------------------------------------------------------------------------------------------------------------------------------|--------------------------|
|                 | F13 = 0.8509364736752445                                                                                                                                                                                                                                                                                                                                                                                                                                                                                       | F34 = 0.8706421803964697 |
|                 | F14 = 0.852212096355315                                                                                                                                                                                                                                                                                                                                                                                                                                                                                        | F35 = 0.8704049921065928 |
|                 | F15 = 0.8555797107658879                                                                                                                                                                                                                                                                                                                                                                                                                                                                                       | F36 = 0.8681854884330262 |
|                 | F16 = 0.8574400870163237                                                                                                                                                                                                                                                                                                                                                                                                                                                                                       | F37 = 0.867197899138042  |
|                 | F17 = 0.8594193500799928                                                                                                                                                                                                                                                                                                                                                                                                                                                                                       | F38 = 0.867197899138042  |
|                 | F18 = 0.8624453434917065                                                                                                                                                                                                                                                                                                                                                                                                                                                                                       | F39 = 0.867197899138042  |
|                 | F19 = 0.8666924697356189                                                                                                                                                                                                                                                                                                                                                                                                                                                                                       | F40 = 0.867197899138042  |
|                 | F20 = 0.8702408744874492                                                                                                                                                                                                                                                                                                                                                                                                                                                                                       | F41 = 0.867197899138042  |
|                 |                                                                                                                                                                                                                                                                                                                                                                                                                                                                                                                | F42 = 0.867197899138042  |
| Letak Perbedaan | <p>Pada nilai SSIM menunjukkan tidak ada nilai 1, terlihat nilai SSIM antara 0.849-0.975 artinya dari nilai SSIM tersebut dapat dijadikan acuan sebagai parameter awal bahwa terdapat perbedaan yang sangat kecil pada 2 image yang dibandingkan, dari nilai tersebut dapat dianalisis lebih lanjut pada frame yang dibandingkan sehingga perbedaan video shot animasi dengan video shot animasi revisi dapat dibuktikan pada proses selanjutnya untuk mendeteksi dimanakah letak atau posisi perbedaannya</p> |                          |
|                 |                                                                                                                                                                                                                                                                                                                                                                                                                                                                                                                |                          |

|  |                                                                                                                                                                                                                                                                                                                                                                                                                                                                               |
|--|-------------------------------------------------------------------------------------------------------------------------------------------------------------------------------------------------------------------------------------------------------------------------------------------------------------------------------------------------------------------------------------------------------------------------------------------------------------------------------|
|  |                                                                                                                                                                                                                                                                                                                                                                                             |
|  | <p>Setelah diproses untuk mendapatkan sebuah kotak berupa area batasan perbedaan gambar terdeteksi bahwa terdapat perbedaan gambar antara video shot animasi dengan video shot animasi revisi yang digambarkan dengan kotak batasan berwarna biru pada character, selanjutnya akan dilakukan komputasi dari nilai SSIM untuk memberikan visual perbedaan image berupa contur perbedaan perubahan animasi dan terlihat terdapat perubahan pergerakan character naik turun.</p> |



Perbedaan Gambar

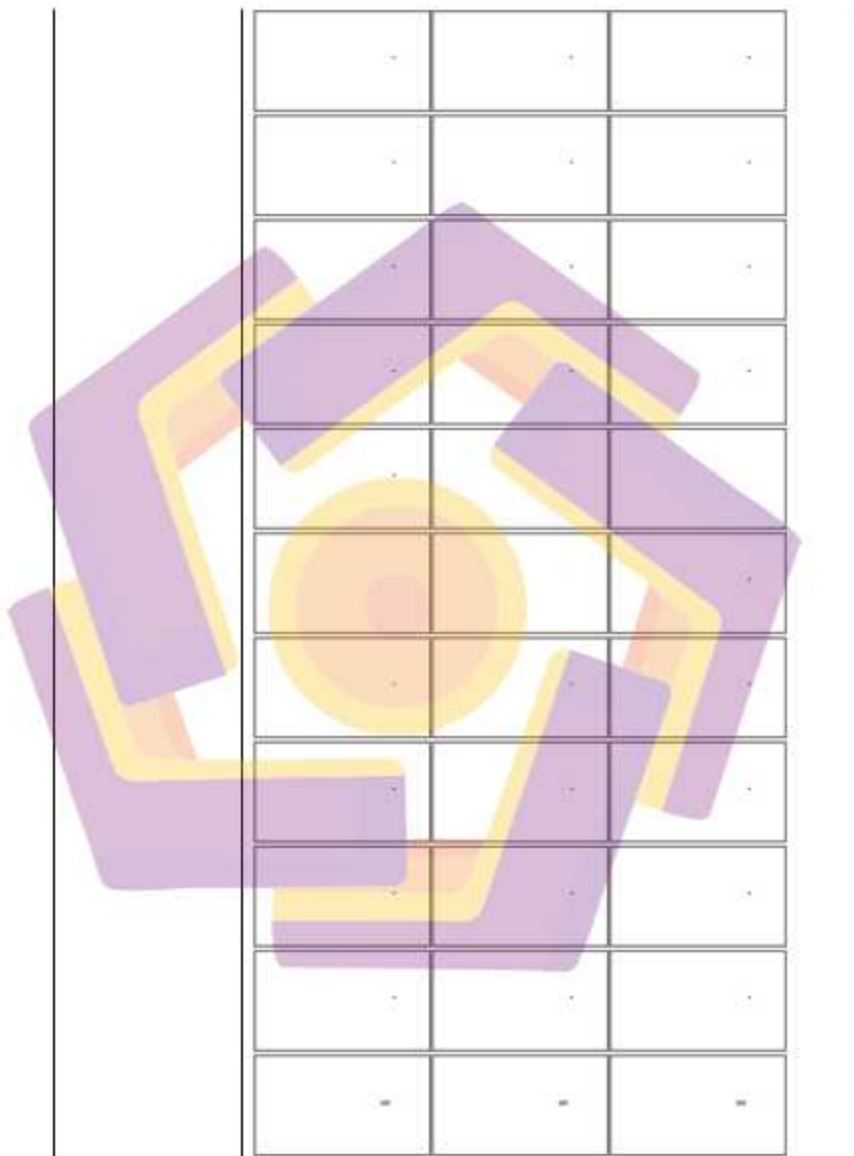


Tabel Hasil Deteksi perbedaan shot video animasi  
SBN\_ANM\_SC08\_SH01\_FU01 dengan SBN\_ANM\_SC08\_SH01 menggunakan  
algoritma SSIM

|            | Video shot Animasi Revisi                                                                                                                                                                                                                                                                                                                                                                                                                                                          | Video shot Animasi                                                                                                                                                                                                                                                                                                                                                                                                                                                                           |
|------------|------------------------------------------------------------------------------------------------------------------------------------------------------------------------------------------------------------------------------------------------------------------------------------------------------------------------------------------------------------------------------------------------------------------------------------------------------------------------------------|----------------------------------------------------------------------------------------------------------------------------------------------------------------------------------------------------------------------------------------------------------------------------------------------------------------------------------------------------------------------------------------------------------------------------------------------------------------------------------------------|
| Konversi   |                                                                                                                                                                                                                                                                                                                                                                                                                                                                                    |                                                                                                                                                                                                                                                                                                                                                                                                                                                                                              |
| Compare    |                                                                                                                                                                                                                                                                                                                                                                                                                                                                                    |                                                                                                                                                                                                                                                                                                                                                                                                                                                                                              |
| Nilai SSIM | $F0 = 0.9997486108495682$<br>$F1 = 0.9997486108495682$<br>$F2 = 0.9997486108495682$<br>$F3 = 0.9997486108495682$<br>$F4 = 0.9997486108495682$<br>$F5 = 0.9997486108495682$<br>$F6 = 0.9997486108495682$<br>$F7 = 0.9997486108495682$<br>$F8 = 0.9997486108495682$<br>$F9 = 0.9997486108495682$<br>$F10 = 0.9997486108495682$<br>$F11 = 0.9997486108495682$<br>$F12 = 0.9997510654419913$<br>$F13 = 0.9997510654419913$<br>$F14 = 0.9997510654419913$<br>$F15 = 0.9997510654419913$ | $F22 = 0.9997520705427296$<br>$F23 = 0.9997520705427296$<br>$F24 = 0.9997516889853876$<br>$F25 = 0.9997516889853876$<br>$F26 = 0.9997516889853876$<br>$F27 = 0.9997516889853876$<br>$F28 = 0.9997516889853876$<br>$F29 = 0.9997516889853876$<br>$F30 = 0.9997516889853876$<br>$F31 = 0.9997516889853876$<br>$F32 = 0.9997516889853876$<br>$F33 = 0.9985568428582615$<br>$F34 = 0.9985568428582615$<br>$F35 = 0.9985568428582615$<br>$F36 = 0.9985568428582615$<br>$F37 = 0.9999934607959156$ |

|                                                                                                                                                                                                                                                                                                                                                                                                                                                                                                         |                                                                                                                                                              |                                                                                                                                                                                                  |
|---------------------------------------------------------------------------------------------------------------------------------------------------------------------------------------------------------------------------------------------------------------------------------------------------------------------------------------------------------------------------------------------------------------------------------------------------------------------------------------------------------|--------------------------------------------------------------------------------------------------------------------------------------------------------------|--------------------------------------------------------------------------------------------------------------------------------------------------------------------------------------------------|
|                                                                                                                                                                                                                                                                                                                                                                                                                                                                                                         | F16 = 0.99999939759753<br>F17 = 0.99999939759753<br>F18 = 0.99999939759753<br>F19 = 0.99999939759753<br>F20 = 0.9997520705427296<br>F21 = 0.9997520705427296 | F38 = 0.9999934607959156<br>F39 = 0.9999934607959156<br>F40 = 0.9999934607959156<br>F41 = 0.9999968428709205<br>F42 = 0.9999968428709205<br>F43 = 0.9999968428709205<br>F44 = 0.9999968428709205 |
| Pada nilai SSIM menunjukkan tidak ada nilai 1, terlihat nilai SSIM antara 0.998-0.999 artinya dari nilai SSIM tersebut dapat dijadikan acuan sebagai parameter awal bahwa terdapat perbedaan yang sangat kecil pada 2 image yang dibandingkan, dari nilai tersebut dapat dianalisis lebih lanjut pada frame yang dibandingkan sehingga perbedaan video shot animasi dengan video shot animasi revisi dapat dibuktikan pada proses selanjutnya untuk mendeteksi dimanakah letak atau posisi perbedaannya |                                                                                                                                                              |                                                                                                                                                                                                  |
|  <p>Letak Perbedaan.</p>                                                                                                                                                                                                                                                                                                                                                                                              |                                                                                                                                                              |                                                                                                                                                                                                  |

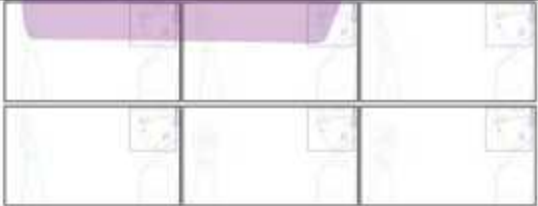
|                                                                                                                                                                                                                                                                                                                                                                                                                                                                                                                                        |  |  |
|----------------------------------------------------------------------------------------------------------------------------------------------------------------------------------------------------------------------------------------------------------------------------------------------------------------------------------------------------------------------------------------------------------------------------------------------------------------------------------------------------------------------------------------|--|--|
|                                                                                                                                                                                                                                                                                                                                                                                                                                                                                                                                        |  |  |
| Setelah diptoses untuk mendapatkan sebuah kotak berupa area batasan perbedaan gambar terdeteksi bahwa terdapat perbedaan gambar antara video shot animasi dengan video shot animasi revisi yang digambarkan dengan kotak batasan berwarna biru pada mata character, selanjutnya akan dilakukan komputasi dari nilai SSIM untuk memberikan visual perbedaan image berupa contur perbedaan perubahan animasi dan terlihat terdapat perubahan pada kornea mata character dan sedikit perubahan pada frame kacamata character di frame 33. |  |  |
| Perbedaan Gambar                                                                                                                                                                                                                                                                                                                                                                                                                                                                                                                       |  |  |

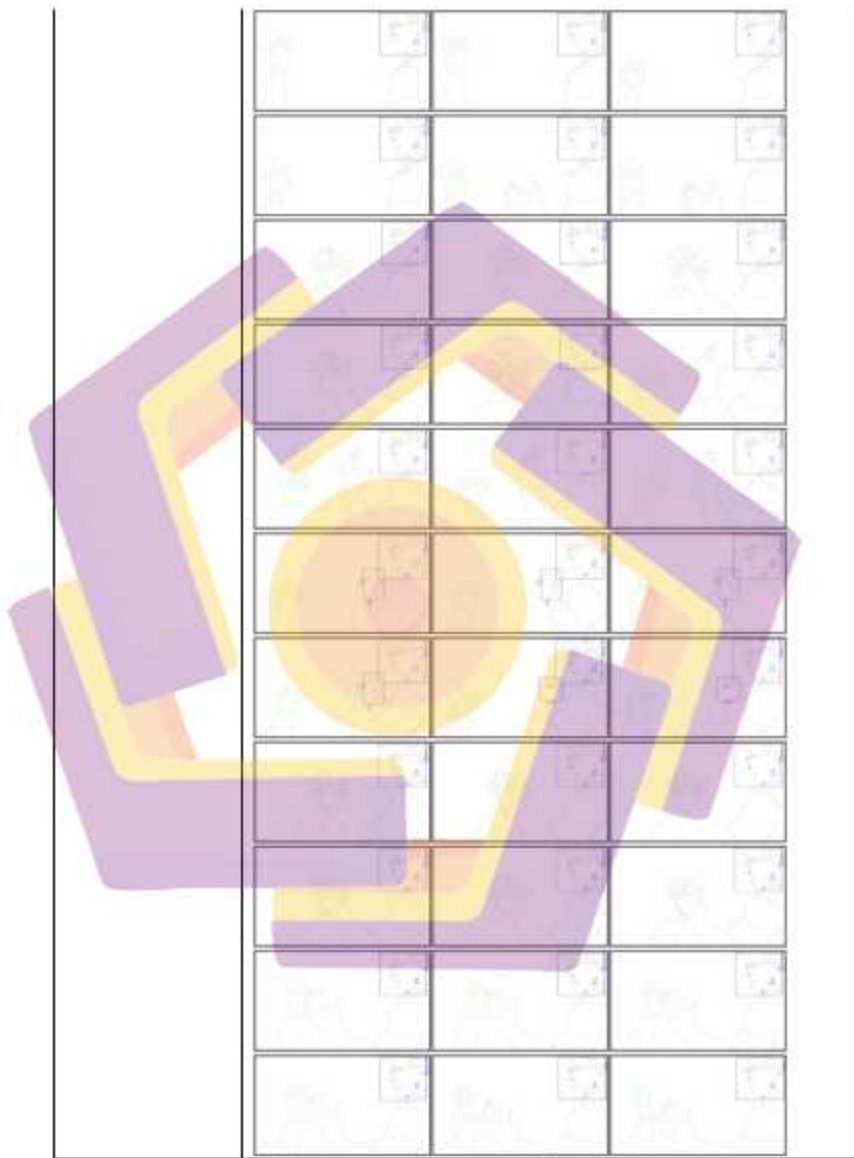


|  |   |  |  |
|--|---|--|--|
|  | - |  |  |
|  |   |  |  |
|  |   |  |  |

Tabel Hasil Deteksi perbedaan shot video animasi  
SBN\_ANM\_SC08\_SH04\_FU01 dengan SBN\_ANM\_SC08\_SH04 menggunakan  
algoritma SSIM

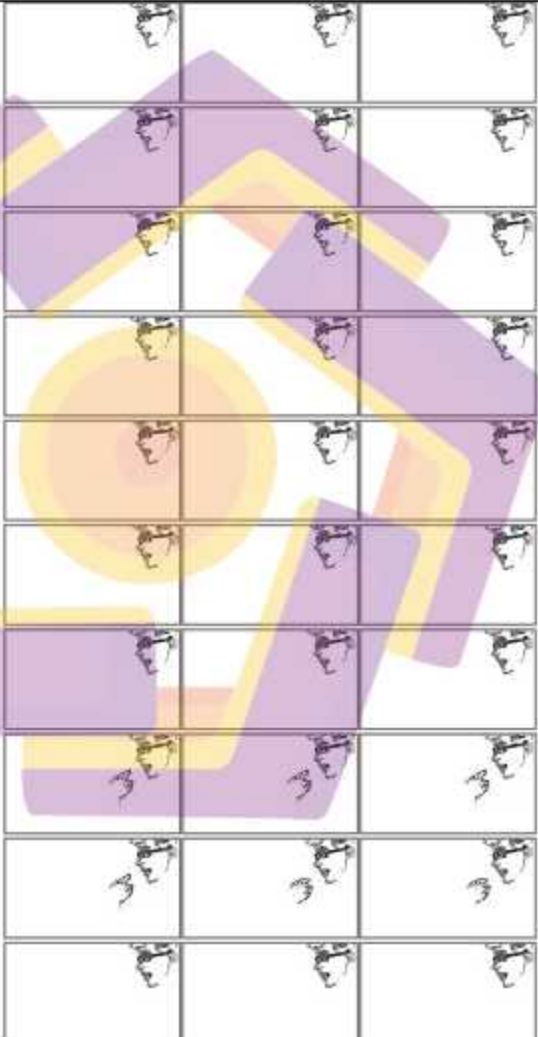
|            | Video shot Animasi Revisi                                                                                                                                                                                                                                                                                                                                                                                          | Video shot Animasi                                                                                                                                                                                                                                                                                                                                                                                                               |
|------------|--------------------------------------------------------------------------------------------------------------------------------------------------------------------------------------------------------------------------------------------------------------------------------------------------------------------------------------------------------------------------------------------------------------------|----------------------------------------------------------------------------------------------------------------------------------------------------------------------------------------------------------------------------------------------------------------------------------------------------------------------------------------------------------------------------------------------------------------------------------|
|            |                                                                                                                                                                                                                                                                                                                                                                                                                    |                                                                                                                                                                                                                                                                                                                                                                                                                                  |
| Konversi   | Creating.../content/...SBN_ANM_SC08_SH04_FU01/frame_0000.jpg - frame_00066.jpg                                                                                                                                                                                                                                                                                                                                     | Creating.../content/...SBN_ANM_SC08_SH04/frame_00000.jpg-frame_00066.jpg                                                                                                                                                                                                                                                                                                                                                         |
| Compare    |                                                                                                                                                                                                                                                                                                                                                                                                                    |                                                                                                                                                                                                                                                                                                                                                                                                                                  |
| Nilai SSIM | F0 = 0.975500739068118<br>F1 = 0.975500739068118<br>F2 = 0.975500739068118<br>F3 = 0.975500739068118<br>F4 = 0.9755007390681186<br>F5 = 0.9755007390681186<br>F6 = 0.9755725633541688<br>F7 = 0.9755725633541688<br>F8 = 0.9755725633541688<br>F9 = 0.9755725633541688<br>F10 = 0.9755833059166473<br>F11 = 0.9755833059166473<br>F12 = 0.9755792700595495<br>F13 = 0.9755792700595495<br>F14 = 0.9755792700595495 | F33 = 0.9750746782638722<br>F34 = 0.9750746782638722<br>F35 = 0.9750746782638722<br>F36 = 0.9750746782638722<br>F37 = 0.9752785778501283<br>F38 = 0.9752785778501283<br>F39 = 0.9752785778501283<br>F40 = 0.9752785778501283<br>F41 = 0.9755375024623818<br>F42 = 0.9755375024623818<br>F43 = 0.9755375024623818<br>F44 = 0.9755375024623818<br>F45 = 0.9762107750903332<br>F46 = 0.9762107750903332<br>F47 = 0.9762107750903332 |

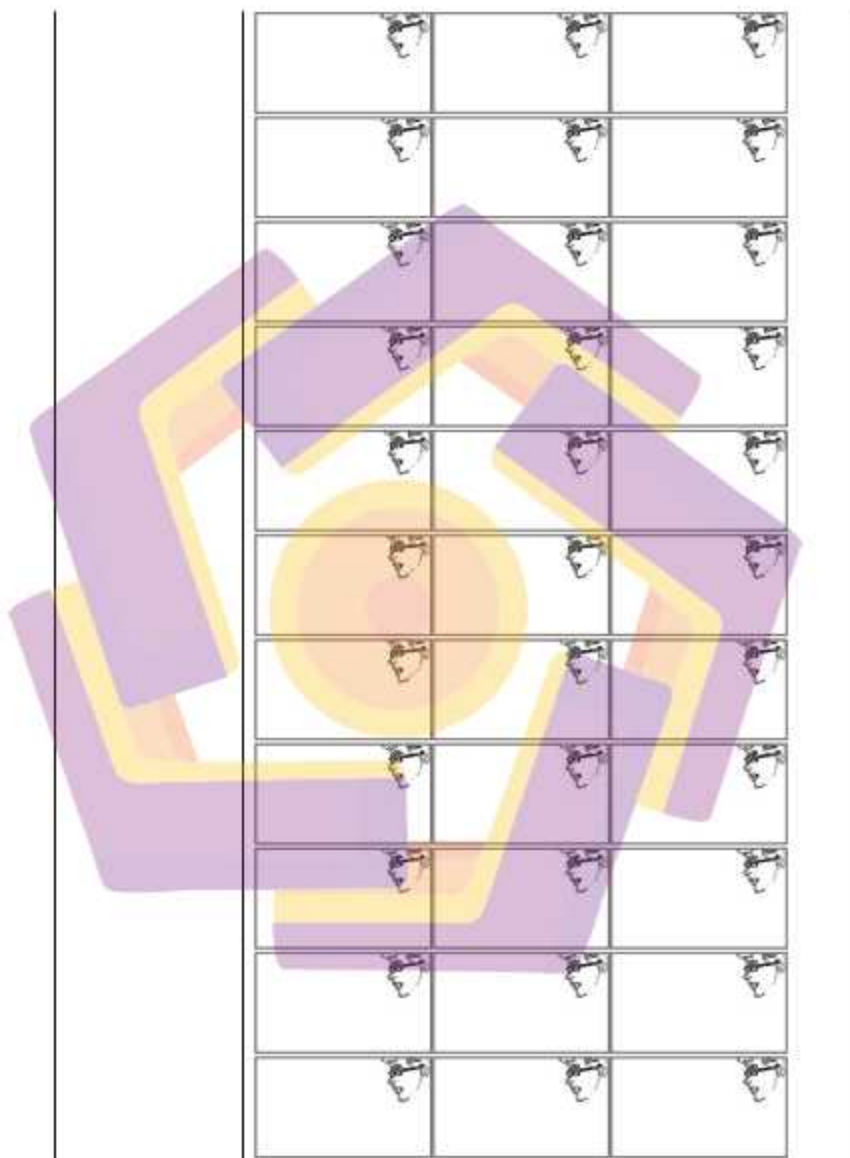
|                 |                                                                                                                                                                                                                                                                                                                                                                                                                                                                                                         |                          |
|-----------------|---------------------------------------------------------------------------------------------------------------------------------------------------------------------------------------------------------------------------------------------------------------------------------------------------------------------------------------------------------------------------------------------------------------------------------------------------------------------------------------------------------|--------------------------|
|                 | F15 = 0.9755792700595495                                                                                                                                                                                                                                                                                                                                                                                                                                                                                | F48 = 0.9762279030410089 |
|                 | F16 = 0.9755792700595495                                                                                                                                                                                                                                                                                                                                                                                                                                                                                | F49 = 0.9750799980116096 |
|                 | F17 = 0.9750742496026504                                                                                                                                                                                                                                                                                                                                                                                                                                                                                | F50 = 0.9750799980116096 |
|                 | F18 = 0.9750742496026504                                                                                                                                                                                                                                                                                                                                                                                                                                                                                | F51 = 0.9750799980116096 |
|                 | F19 = 0.9750742496026504                                                                                                                                                                                                                                                                                                                                                                                                                                                                                | F52 = 0.9750799980116096 |
|                 | F20 = 0.9750742496026504                                                                                                                                                                                                                                                                                                                                                                                                                                                                                | F53 = 0.9750892891563383 |
|                 | F21 = 0.9676802683913945                                                                                                                                                                                                                                                                                                                                                                                                                                                                                | F54 = 0.9750892891563383 |
|                 | F22 = 0.9676802683913945                                                                                                                                                                                                                                                                                                                                                                                                                                                                                | F55 = 0.9750892891563383 |
|                 | F23 = 0.9676802683913945                                                                                                                                                                                                                                                                                                                                                                                                                                                                                | F56 = 0.9752804283384151 |
|                 | F24 = 0.9676802683913945                                                                                                                                                                                                                                                                                                                                                                                                                                                                                | F57 = 0.9752804283384151 |
|                 | F25 = 0.9677965609639468                                                                                                                                                                                                                                                                                                                                                                                                                                                                                | F58 = 0.9752804283384151 |
|                 | F26 = 0.9677965609639468                                                                                                                                                                                                                                                                                                                                                                                                                                                                                | F59 = 0.9752804283384151 |
|                 | F27 = 0.9748311229518258                                                                                                                                                                                                                                                                                                                                                                                                                                                                                | F60 = 0.9752804283384151 |
|                 | F28 = 0.9748311229518258                                                                                                                                                                                                                                                                                                                                                                                                                                                                                | F61 = 0.9752804283384151 |
|                 | F29 = 0.9748311229518258                                                                                                                                                                                                                                                                                                                                                                                                                                                                                | F62 = 0.9752804283384151 |
|                 | F30 = 0.9748311229518258                                                                                                                                                                                                                                                                                                                                                                                                                                                                                | F63 = 0.9752804283384151 |
|                 | F31 = 0.9748311229518258                                                                                                                                                                                                                                                                                                                                                                                                                                                                                | F64 = 0.9752804283384151 |
|                 | F32 = 0.9748311229518258                                                                                                                                                                                                                                                                                                                                                                                                                                                                                | F65 = 0.9752804283384151 |
|                 |                                                                                                                                                                                                                                                                                                                                                                                                                                                                                                         | F66 = 0.9752804283384151 |
|                 | Pada nilai SSIM menunjukkan tidak ada nilai 1, terlihat nilai SSIM antara 0.967-0.976 artinya dari nilai SSIM tersebut dapat dijadikan acuan sebagai parameter awal bahwa terdapat perbedaan yang sangat kecil pada 2 image yang dibandingkan, dari nilai tersebut dapat dianalisis lebih lanjut pada frame yang dibandingkan sehingga perbedaan video shot animasi dengan video shot animasi revisi dapat dibuktikan pada proses selanjutnya untuk mendeteksi dimanakah letak atau posisi perbedaannya |                          |
| Letak Perbedaan |                                                                                                                                                                                                                                                                                                                                                                                                                      |                          |



|  |                                                                                                                                                                                                                                                                                        |
|--|----------------------------------------------------------------------------------------------------------------------------------------------------------------------------------------------------------------------------------------------------------------------------------------|
|  |                                                                                                                                                                                                      |
|  | <p>Setelah diproses untuk mendapatkan sebuah kotak berupa area batasan perbedaan gambar terdeteksi bahwa terdapat perbedaan gambar antara video shot animasi dengan video shot animasi revisi yang digambarkan dengan kotak batasan berwarna biru pada kepala character dan tangan</p> |

character pada F21-F26, selanjutnya akan dilakukan komputasi dari nilai SSIM untuk memberikan visual perbedaan image berupa contur perbedaan perubahan animasi dan terlihat terdapat perubahan pada size kepala character dan perubahan anatomi tangan character di F21-26.

|                  |                                                                                    |  |  |
|------------------|------------------------------------------------------------------------------------|--|--|
| Perbedaan Gambar |  |  |  |
|                  |                                                                                    |  |  |
|                  |                                                                                    |  |  |
|                  |                                                                                    |  |  |
|                  |                                                                                    |  |  |
|                  |                                                                                    |  |  |
|                  |                                                                                    |  |  |
|                  |                                                                                    |  |  |
|                  |                                                                                    |  |  |
|                  |                                                                                    |  |  |

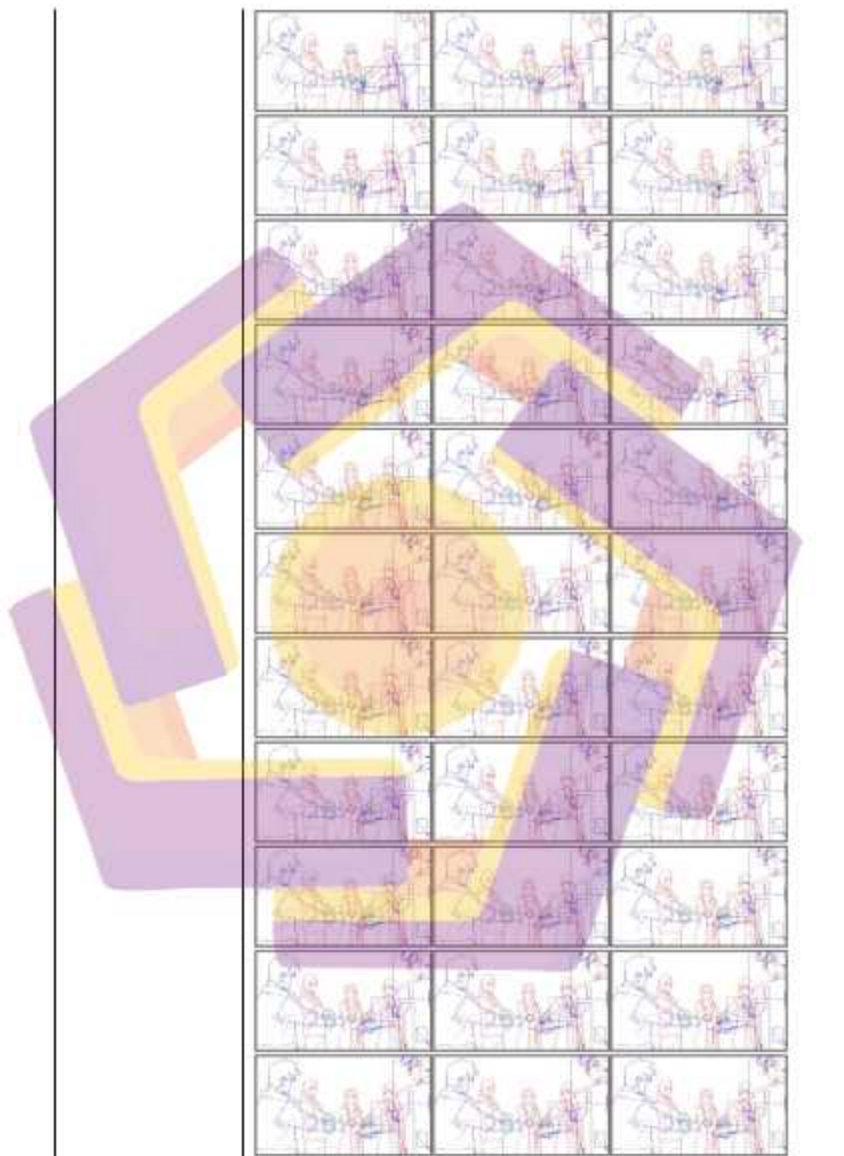


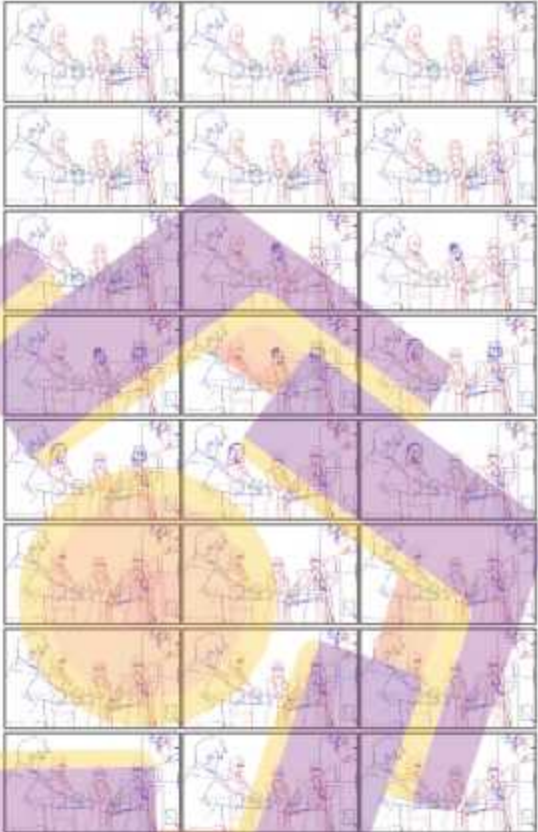


Tabel Hasil Deteksi perbedaan shot video animasi  
SBN\_ANM\_SC10\_SH04\_FU01 dengan SBN\_ANM\_SC10\_SH04 menggunakan  
algoritma SSIM

|            | Video shot Animasi Revisi                                                                                                                                                                                                                                                                                                                                                                                                                                                                                                                                   | Video shot Animasi                                                                                                                                                                                                                                                                                                                                                                                                                                                                                                                                                                                                                                                           |
|------------|-------------------------------------------------------------------------------------------------------------------------------------------------------------------------------------------------------------------------------------------------------------------------------------------------------------------------------------------------------------------------------------------------------------------------------------------------------------------------------------------------------------------------------------------------------------|------------------------------------------------------------------------------------------------------------------------------------------------------------------------------------------------------------------------------------------------------------------------------------------------------------------------------------------------------------------------------------------------------------------------------------------------------------------------------------------------------------------------------------------------------------------------------------------------------------------------------------------------------------------------------|
| Konversi   |                                                                                                                                                                                                                                                                                                                                                                                                                                                                                                                                                             |                                                                                                                                                                                                                                                                                                                                                                                                                                                                                                                                                                                                                                                                              |
| Compare    |                                                                                                                                                                                                                                                                                                                                                                                                                                                                                                                                                             |                                                                                                                                                                                                                                                                                                                                                                                                                                                                                                                                                                                                                                                                              |
| Nilai SSIM | F0 = 0.9284728828769316<br>F1 = 0.9284728828769316<br>F2 = 0.9284728828769316<br>F3 = 0.9284728828769316<br><b>F4 = 0.9284832662213932</b><br>F5 = 0.9284832662213932<br>F6 = 0.9341188787566611<br>F7 = 0.9341188787566611<br>F8 = 0.9341321095142435<br><b>F9 = 0.9341321095142435</b><br><b>F10 = 0.9590327519619491</b><br>F11 = 0.9590327519619491<br>F12 = 0.9582434493915928<br>F13 = 0.9628824182032406<br>F14 = 0.9628736717003342<br>F15 = 0.9628553533125068<br>F16 = 0.9636302005809675<br>F17 = 0.9680588209507633<br>F18 = 0.9680123072665584 | F34 = 0.967666400215993<br><b>F35 = 0.967671341777974</b><br><b>F36 = 0.9680221939601344</b><br><b>F37 = 0.9680221939601344</b><br><b>F38 = 0.9680221939601344</b><br><b>F39 = 0.9680221939601344</b><br><b>F40 = 0.9680832880274594</b><br><b>F41 = 0.9680832880274594</b><br><b>F42 = 0.9680243712064285</b><br><b>F43 = 0.9680243712064285</b><br><b>F44 = 0.9680243712064285</b><br><b>F45 = 0.9680243712064285</b><br><b>F46 = 0.9681744605716129</b><br><b>F47 = 0.9681744605716129</b><br><b>F48 = 0.9682672480921573</b><br><b>F49 = 0.9682672480921573</b><br><b>F50 = 0.9682672480921573</b><br><b>F51 = 0.9682672480921573</b><br><b>F52 = 0.9634258038722769</b> |

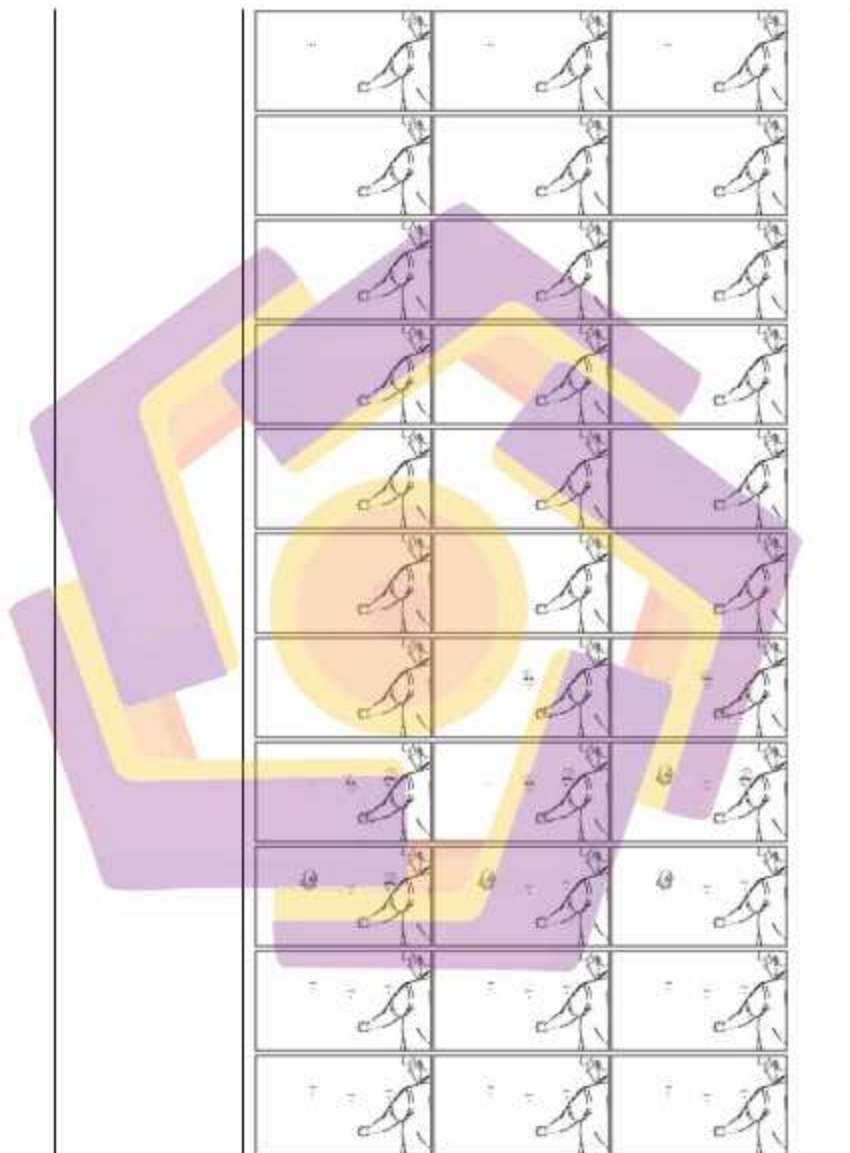
|                 |                                                                                                                                                                                                                                                                                                                                                                                                                                                                                                         |                                                                                                                                                                                                                                                                                                                                                                                                                                                              |
|-----------------|---------------------------------------------------------------------------------------------------------------------------------------------------------------------------------------------------------------------------------------------------------------------------------------------------------------------------------------------------------------------------------------------------------------------------------------------------------------------------------------------------------|--------------------------------------------------------------------------------------------------------------------------------------------------------------------------------------------------------------------------------------------------------------------------------------------------------------------------------------------------------------------------------------------------------------------------------------------------------------|
|                 | F19 = 0.9681413099101684<br>F20 = 0.9680833268026711<br>F21 = 0.9681787372770202<br>F22 = 0.9681547680879538<br>F23 = 0.9681739741013822<br>F24 = 0.9681385512308388<br>F25 = 0.9680637364367154<br>F26 = 0.9679790697390952<br>F27 = 0.9679565164649091<br>F28 = 0.9679760731044564<br>F29 = 0.9680033313986423<br>F30 = 0.9680125650446783<br>F31 = 0.9680229221723294<br>F32 = 0.9676779896897998<br>F33 = 0.9676629429688527                                                                        | F53 = 0.9634258038722769<br>F54 = 0.9610327531409831<br>F55 = 0.9610327531409831<br>F56 = 0.9591019103423906<br>F57 = 0.9591019103423906<br>F58 = 0.9612227105555043<br>F59 = 0.9612227105555043<br>F60 = 0.9664196136362675<br>F61 = 0.9664196136362675<br>F62 = 0.9664196136362675<br>F63 = 0.9664196136362675<br>F64 = 0.9664196136362675<br>F65 = 0.9664196136362675<br>F66 = 0.9664196136362675<br>F67 = 0.9664196136362675<br>F68 = 0.9664196136362675 |
| Letak Perbedaan | Pada nilai SSIM menunjukkan tidak ada nilai 1, terlihat nilai SSIM antara 0.928-0.968 artinya dari nilai SSIM tersebut dapat dijadikan acuan sebagai parameter awal bahwa terdapat perbedaan yang sangat kecil pada 2 image yang dibandingkan, dari nilai tersebut dapat dianalisis lebih lanjut pada frame yang dibandingkan sehingga perbedaan video shot animasi dengan video shot animasi revisi dapat dibuktikan pada proses selanjutnya untuk mendeteksi dimanakah letak atau posisi perbedaannya |                                                                                                                                                                                                                                                                                                                                                                                                                                                              |



|  |                                                                                                                                                                                                                                                                                                                                                                                                                                                                                                                                                                                                                                                                        |
|--|------------------------------------------------------------------------------------------------------------------------------------------------------------------------------------------------------------------------------------------------------------------------------------------------------------------------------------------------------------------------------------------------------------------------------------------------------------------------------------------------------------------------------------------------------------------------------------------------------------------------------------------------------------------------|
|  |                                                                                                                                                                                                                                                                                                                                                                                                                                                                                                                                                                                      |
|  | <p>Setelah diproses untuk mendapatkan sebuah kotak berupa area batasan perbedaan gambar terdeteksi bahwa terdapat perbedaan gambar antara video shot animasi dengan video shot animasi revisi yang digambarkan dengan kotak batasan berwarna biru pada tangan character depan kiri pada F0-9, kemudian character sebelah kiri F0-68. Kemudian kepala, alis, mulut dan mata pada 3 character lainnya, selanjutnya akan dilakukan komputasi dari nilai SSIM untuk memberikan visual perbedaan image berupa contur perbedaan perubahan animasi dan terlihat terdapat perubahan pada gerak tangan, gerak character, perubahan gerak mata, alis, mulut dan gerak kepala</p> |

Perbedaan Gambar







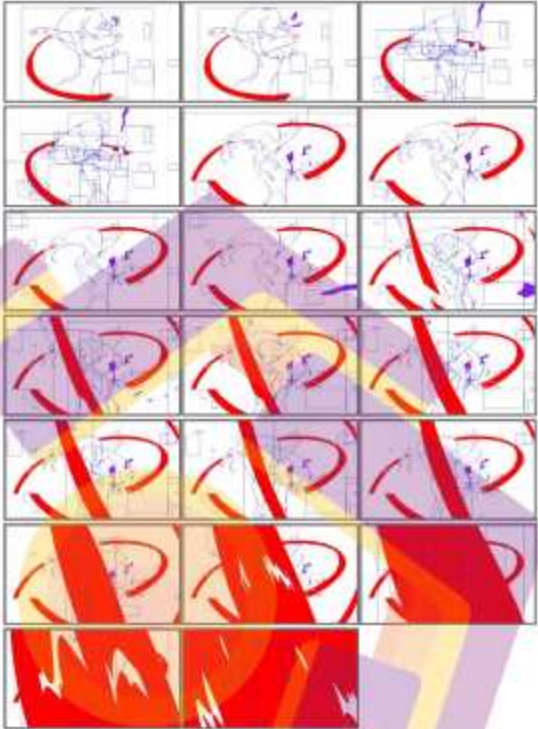
Tabel Hasil Deteksi perbedaan shot video animasi

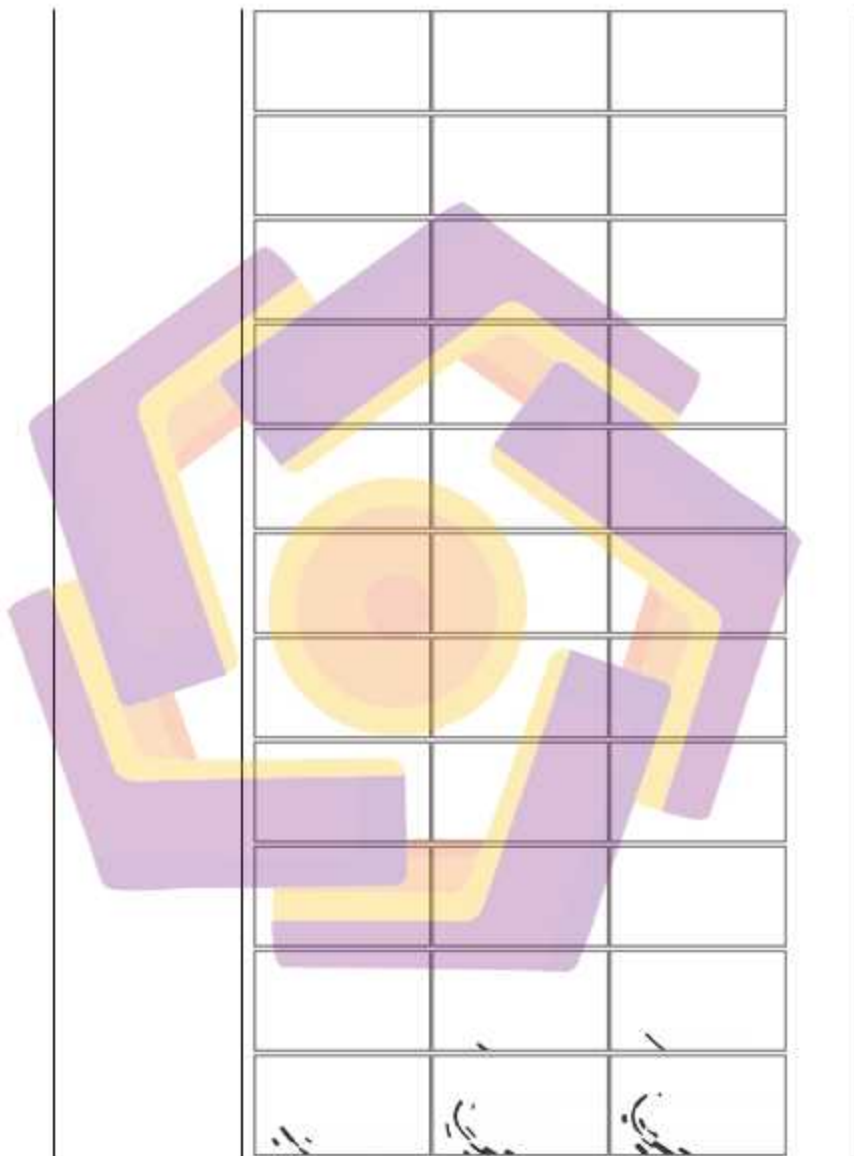
SBN\_ANM\_SC11\_SH11\_FU01 dengan SBN\_ANM\_SC11\_SH11 menggunakan algoritma SSIM

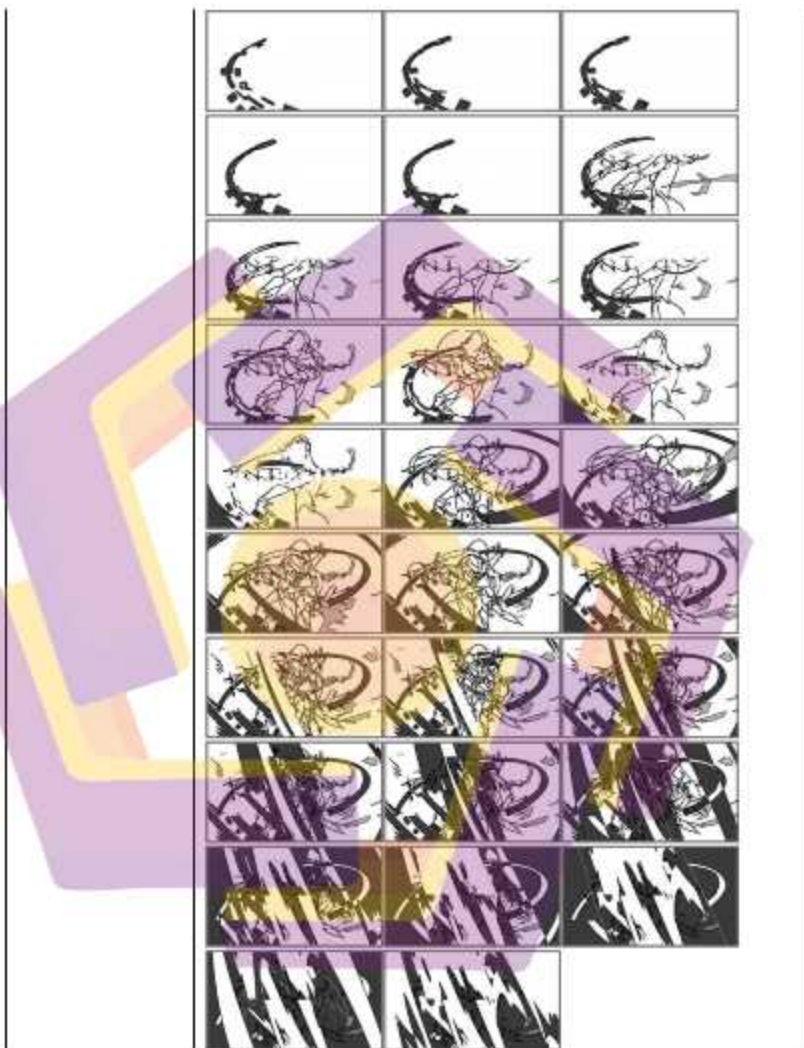
|            | Video shot Animasi Revisi                                                                                                                                                                                                                                                                     | Video shot Animasi                                                                                                                                                                                                                                                                                                                                                                                                                                                                                                                                                                                                                                             |
|------------|-----------------------------------------------------------------------------------------------------------------------------------------------------------------------------------------------------------------------------------------------------------------------------------------------|----------------------------------------------------------------------------------------------------------------------------------------------------------------------------------------------------------------------------------------------------------------------------------------------------------------------------------------------------------------------------------------------------------------------------------------------------------------------------------------------------------------------------------------------------------------------------------------------------------------------------------------------------------------|
|            |                                                                                                                                                                                                                                                                                               |                                                                                                                                                                                                                                                                                                                                                                                                                                                                                                                                                                                                                                                                |
| Konversi   | Creating...content/...SBN_ANM_SC11_SH11_FU01/frame_0000.jpg - frame_00067.jpg                                                                                                                                                                                                                 | Creating...content/...SBN_ANM_SC11_SH11/frame_00000.jpg-frame_00067.jpg                                                                                                                                                                                                                                                                                                                                                                                                                                                                                                                                                                                        |
| Compare    |                                                                                                                                                                                                                                                                                               |                                                                                                                                                                                                                                                                                                                                                                                                                                                                                                                                                                                                                                                                |
| Nilai SSIM | F0 = 1.0<br>F1 = 1.0<br>F2 = 1.0<br>F3 = 1.0<br>F4 = 1.0<br>F5 = 1.0<br>F6 = 1.0<br>F7 = 1.0<br>F8 = 1.0<br>F9 = 1.0<br>F10 = 1.0<br>F11 = 1.0<br>F12 = 1.0<br>F13 = 1.0<br>F14 = 1.0<br>F15 = 1.0<br>F16 = 1.0<br>F17 = 1.0<br>F18 = 1.0<br>F19 = 1.0<br>F20 = 1.0<br>F21 = 1.0<br>F22 = 1.0 | F34 = 0.9983349165316283<br>F35 = 0.9969137028752142<br>F36 = 0.9913186066554672<br>F37 = 0.981436835657928<br>F38 = 0.9733652349719105<br>F39 = 0.9581012640696505<br>F40 = 0.9419473072789243<br>F41 = 0.9418761337621896<br>F42 = 0.940677413093183<br>F43 = 0.9406774457666868<br>F44 = 0.8672202463914611<br>F45 = 0.8747660693755115<br>F46 = 0.8786281001850305<br>F47 = 0.8786281001850305<br>F48 = 0.8467556919979892<br>F49 = 0.8477684064285429<br>F50 = 0.8785098112045082<br>F51 = 0.8785098112045082<br>F52 = 0.6998844148202747<br>F53 = 0.6851237333449335<br>F54 = 0.7164168794065121<br>F55 = 0.7225330473265008<br>F56 = 0.6677336315283808 |

|                                                                                                                                                                                                                                                                                                                                                                                                                                                                                                                                                                                                                   |                                                                                    |                           |
|-------------------------------------------------------------------------------------------------------------------------------------------------------------------------------------------------------------------------------------------------------------------------------------------------------------------------------------------------------------------------------------------------------------------------------------------------------------------------------------------------------------------------------------------------------------------------------------------------------------------|------------------------------------------------------------------------------------|---------------------------|
|                                                                                                                                                                                                                                                                                                                                                                                                                                                                                                                                                                                                                   | F23 = 1.0                                                                          | F57 = 0.7283125541928336  |
|                                                                                                                                                                                                                                                                                                                                                                                                                                                                                                                                                                                                                   | F24 = 1.0                                                                          | F58 = 0.7011985142429622  |
|                                                                                                                                                                                                                                                                                                                                                                                                                                                                                                                                                                                                                   | F25 = 1.0                                                                          | F59 = 0.6374657346188978  |
|                                                                                                                                                                                                                                                                                                                                                                                                                                                                                                                                                                                                                   | F26 = 1.0                                                                          | F60 = 0.6042822814401551  |
|                                                                                                                                                                                                                                                                                                                                                                                                                                                                                                                                                                                                                   | F27 = 1.0                                                                          | F61 = 0.5866042129032654  |
|                                                                                                                                                                                                                                                                                                                                                                                                                                                                                                                                                                                                                   | F28 = 1.0                                                                          | F62 = 0.4587174272170053  |
|                                                                                                                                                                                                                                                                                                                                                                                                                                                                                                                                                                                                                   | F29 = 1.0                                                                          | F63 = 0.5019244851422552  |
|                                                                                                                                                                                                                                                                                                                                                                                                                                                                                                                                                                                                                   | F30 = 1.0                                                                          | F64 = 0.5271162444094848  |
|                                                                                                                                                                                                                                                                                                                                                                                                                                                                                                                                                                                                                   | F31 = 1.0                                                                          | F65 = 0.47984319098865386 |
|                                                                                                                                                                                                                                                                                                                                                                                                                                                                                                                                                                                                                   | F32 = 1.0                                                                          | F66 = 0.5469058649372617  |
|                                                                                                                                                                                                                                                                                                                                                                                                                                                                                                                                                                                                                   | F33 = 1.0                                                                          | F67 = 0.6816861554918064  |
| Pada nilai SSIM terlihat ada nilai 1 pada F0-33 artinya tidak ada perubahan pada animasi. Pada F34-43 terlihat nilai SSIM antara 0.940-0.998 artinya dari nilai SSIM terdapat perbedaan yang sangat kecil pada 2 image yang dibandingkan, kemudian pada frame selanjutnya perbedaan nilai semakin besar yang menandakan perbedaan animasi semakin besar. dari nilai tersebut dapat dianalisis lebih lanjut pada frame yang dibandingkan sehingga perbedaan video shot animasi dengan video shot animasi revisi dapat dibuktikan pada proses selanjutnya untuk mendeteksi dimanakah letak atau posisi perbedaannya |                                                                                    |                           |
| Letak Perbedaan                                                                                                                                                                                                                                                                                                                                                                                                                                                                                                                                                                                                   |  |                           |



|                  |                                                                                                                                                                                                                                                                                                                                                                                                                                                                                                                                        |
|------------------|----------------------------------------------------------------------------------------------------------------------------------------------------------------------------------------------------------------------------------------------------------------------------------------------------------------------------------------------------------------------------------------------------------------------------------------------------------------------------------------------------------------------------------------|
|                  |                                                                                                                                                                                                                                                                                                                                                                                                                                                       |
|                  | <p>Setelah diproses untuk mendapatkan sebuah kotak berupa area batasan perbedaan gambar terdeteksi bahwa terdapat perbedaan gambar antara video shot animasi dengan video shot animasi revisi yang digambarkan dengan kotak batasan berwarna biru cambuk pada F33-67 kemudian F44-F67 terdeteksi perubahan gerak character, selanjutnya akan dilakukan komputasi dari nilai SSIM untuk memberikan visual perbedaan image berupa contur perbedaan perubahan animasi dan terlihat terdapat perubahan pergerakan cambuk dan character</p> |
| Perbedaan Gambar |                                                                                                                                                                                                                                                                                                                                                                                                                                                                                                                                        |





LAMPIRAN 2 SOURCE CODE PADA CODING ENVIRONMENT  
GOOGLE COLABORATORY

ff1

```

## menghubungkan ke google drive
!apt-get install -y -qq software-properties-common python-software-
properties module-init-tools
!add-apt-repository -y ppa:alessandro-strada/ppa 2>&1 > /dev/null
!apt-get update -qq 2>&1 > /dev/null
!apt-get -y install -qq google-drive-ocamlfuse fuse
from google.colab import auth
auth.authenticate_user()
from oauth2client.client import GoogleCredentials
creds = GoogleCredentials.get_application_default()
import getpass
!google-drive-ocamlfuse -headless -id={creds.client_id} -
secret={creds.client_secret} < /dev/null 2>&1 | grep URL
vcode = getpass.getpass()
!echo {vcode} | google-drive-ocamlfuse -headless -id={creds.client_id} +
secret={creds.client_secret}

#2
##mounting folder di google drive
import os
!mkdir -p drive
!google-drive-ocamlfuse drive
os.chdir("/content/drive/THESIS")

#3
# import library yang diperlukan
# skimage.metrics.structural_similarity
from matplotlib import pyplot as plt
from skimage.metrics import structural_similarity
import imutils
import cv2
import os
import time

#4
# convert mov to jpg
def create_path(loc):
    try:
        # creating a folder named data
        if not os.path.exists(loc):
            os.makedirs(loc)

        # if not created then raise error
    except OSError:
        print('Error: Creating directory of data')

def video_to_frames(src_mov, name_template):
    # Read the video from specified path
    cam = cv2.VideoCapture(src_mov, )
    # frame
    currentframe = 0
    while True:
        # reading from frame
        ret, frame = cam.read()

        if ret:
            # if video is still left continue creating images
            name = name_template.format(currentframe)
            print('Creating...' + name)

```

```

        # writing the extracted images
        cv2.imwrite(name, frame)

        # increasing counter so that it will
        # show how many frames are created
        currentframe += 1
    else:
        break
# Release all space and windows once done
cam.release()
cv2.destroyAllWindows()

#5 input shot animasi sebelum revisi dan sesudah revisi
testVideoPath = ".....mov"
testVideo2Path = ".....mov"

def get_image_folder(videoPath):
    image_folder_name = os.path.splitext(os.path.basename(videoPath))[0]
    dir_name = os.path.dirname(videoPath)
    return os.path.join(dir_name, image_folder_name)

print(get_image_folder(testVideoPath))

#6 detection system image different
start_time = time.time()

def convert_video_to_frames(videoPath):
    image_folder = get_image_folder(videoPath)
    image_name_template = os.path.join(image_folder, "frame_{:05}.jpg")
    video_to_frames(videoPath, image_name_template)

#7 load input file
testImagePath = get_image_folder(testVideoPath)
testImage2Path = get_image_folder(testVideo2Path)

def compare_videos(video1Path, video2Path):
    #halus belum ada frame2 Video, convert dulu.
    video1FramesPath = get_image_folder(video1Path)
    if not os.path.isdir(video1FramesPath):
        image_folder1 = get_image_folder(video1Path)
        os.makedirs(image_folder1)
    directory1= os.listdir(video1FramesPath)
    if len(directory1) == 0:
        convert_video_to_frames(video1Path)

    video2FramesPath = get_image_folder(video2Path)
    if not os.path.isdir(video2FramesPath):
        image_folder2 = get_image_folder(video2Path)
        os.makedirs(image_folder2)
    directory2= os.listdir(video2FramesPath)
    if len(directory2) == 0:
        convert_video_to_frames(video2Path)

    print(video1FramesPath)
    jml_gambar = 0
    for f1BaseName, f2BaseName in zip(sorted(os.listdir(video1FramesPath)), sorted(os.listdir(video2FramesPath))):
        f1 = os.path.join(video1FramesPath, f1BaseName)
        f2 = os.path.join(video2FramesPath, f2BaseName)

```

```

if not os.path.isdir(f1) and not os.path.isdir(f2):
    jml_gambar += 1
    imageA = cv2.imread(f1)
    imageB = cv2.imread(f2)
    grayA = cv2.cvtColor(imageA, cv2.COLOR_BGR2GRAY)
    grayB = cv2.cvtColor(imageB, cv2.COLOR_BGR2GRAY)
    score, diff = structural_similarity(grayA, grayB, full=True)
    diff = (diff * 255).astype("uint8")
    print("SSIM: {} nilai 1 berarti tidak ada perbedaan gambar".format(score))

# threshold perbedaan citra, diikuti dengan pencarian kontur
# memperoleh area yang berbeda dari dua input image
thresh = cv2.threshold(diff, 0, 255,
cv2.THRESH_BINARY_INV | cv2.THRESHOTSU)[1]
cnts = cv2.findContours(thresh.copy(), cv2.RETR_EXTERNAL,
cv2.CHAIN_APPROX_SIMPLE)
nts = imutils.grab_contours(cnts)
# perlengkapan pada kontur
for c in cnts:
# menghitung batas kotak dari kontur dan menggambar
# batas kotak pada citra input untuk menampilkan dua citra yang berbeda
(x, y, w, h) = cv2.boundingRect(c)
cv2.rectangle(imageA, (x, y), (x + w, y + h), (0, 0, 255), 2)
cv2.rectangle(imageB, (x, y), (x + w, y + h), (0, 0, 255), 2)

# save image
pathHasill = videoFramesPath + "/hasil"
if not os.path.isdir(pathHasill):
    os.makedirs(pathHasill)

namal = 'hasil' + f1BaseName
f1 = os.path.join(pathHasill, namal)
directoryl= os.listdir(pathHasill)
#print(jml_gambar)
if len(directoryl) < jml_gambar:
    simpanl = cv2.imwrite(f1, cv2.cvtColor(imageA, cv2.COLOR_BGR2RGB))
    if simpanl==True:
        print("Letak perbedaan berhasil terdeteksi")
    else:
        print("Letak perbedaan gagal terdeteksi")

# save image diff
pathHasill = videoFramesPath + "/thresh"
if not os.path.isdir(pathHasill):
    os.makedirs(pathHasill)

gambarl = 'hasilthresh' + f1BaseName
f1 = os.path.join(pathHasill, gambarl)
directoryl= os.listdir(pathHasill)
#print(jml_gambar)
if len(directoryl) < jml_gambar:
    savel = cv2.imwrite(f1, diff)
    if savel==True:
        print("Berhasil menemukan perbedaan gambar")
    else:
        print("Gagal menemukan perbedaan gambar")

compare_videos(testVideoPath, testVideo2Path)
print("-- ls --" + (time.time() - start_time))

```

```
#mengetahui GPU apa yang digunakan pada proses komputasi di google
#colaboratory
import tensorflow as tf
tf.test.gpu_device_name()

from tensorflow.python.client import device_lib
device_lib.list_local_devices()
```

